

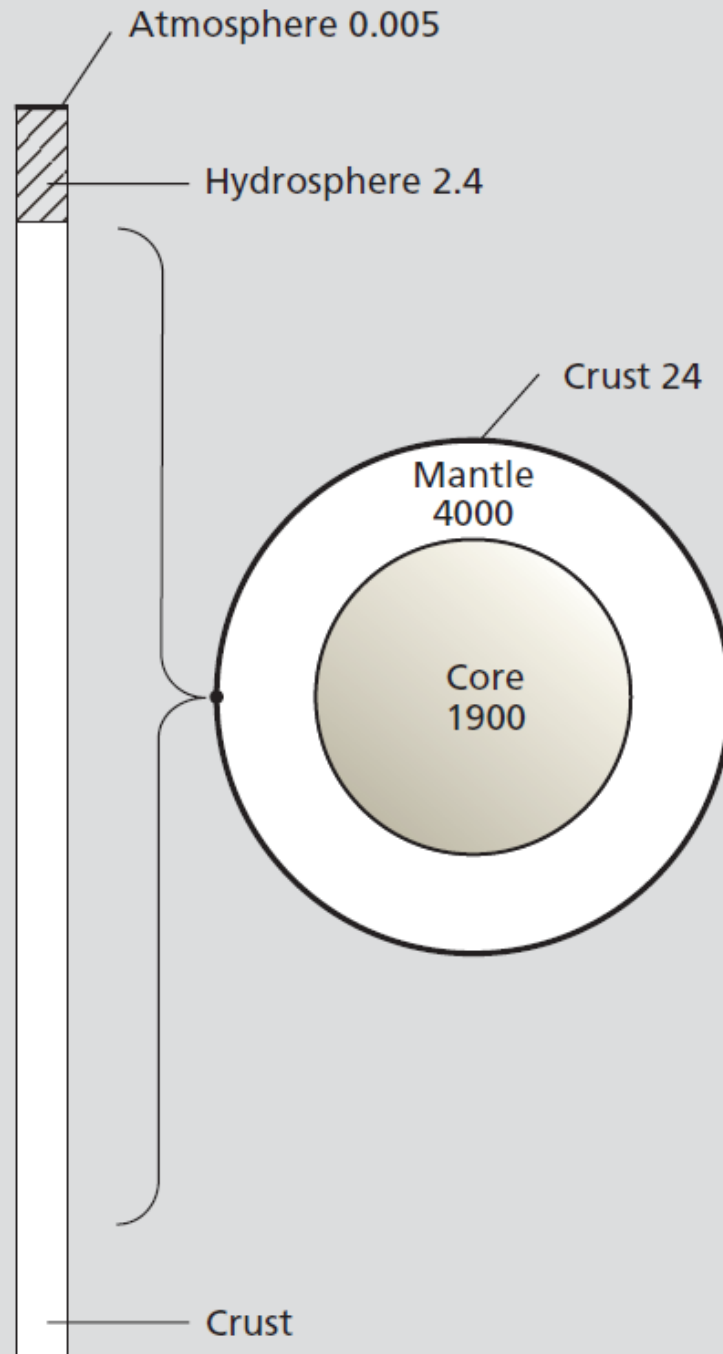
Systembezogene Themen

1. Atmosphäre
2. Kontinentale Kruste
3. Böden und Verwitterungsprozesse
4. Binnengewässer
5. Ozeane (Marine Geochemie)

Die Atmosphäre

Relative Größen der wichtigsten Reservoirs der Erde

Einheiten: $10^{24}g$



Vertikale Unterteilung der Atmosphäre

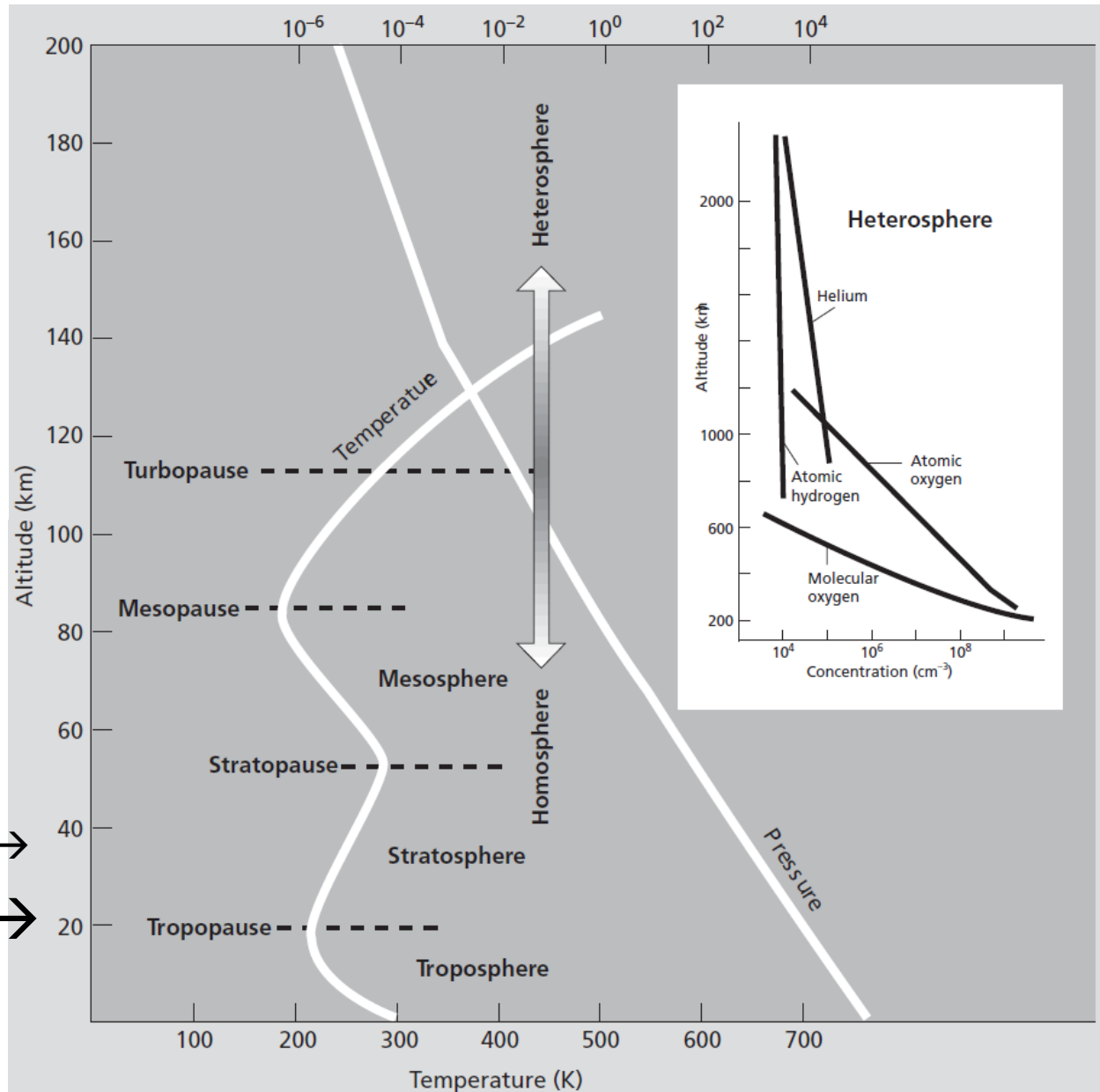
Gas	Concentration
Nitrogen	78.084%
Oxygen	20.946%
Argon	0.934%
Water	0.5–4%
Carbon dioxide	360 ppm
Neon	18.18 ppm
Helium	5.24 ppm
Methane	1.7 ppm
Krypton	1.14 ppm
Hydrogen	0.5 ppm
Xenon	0.087 ppm

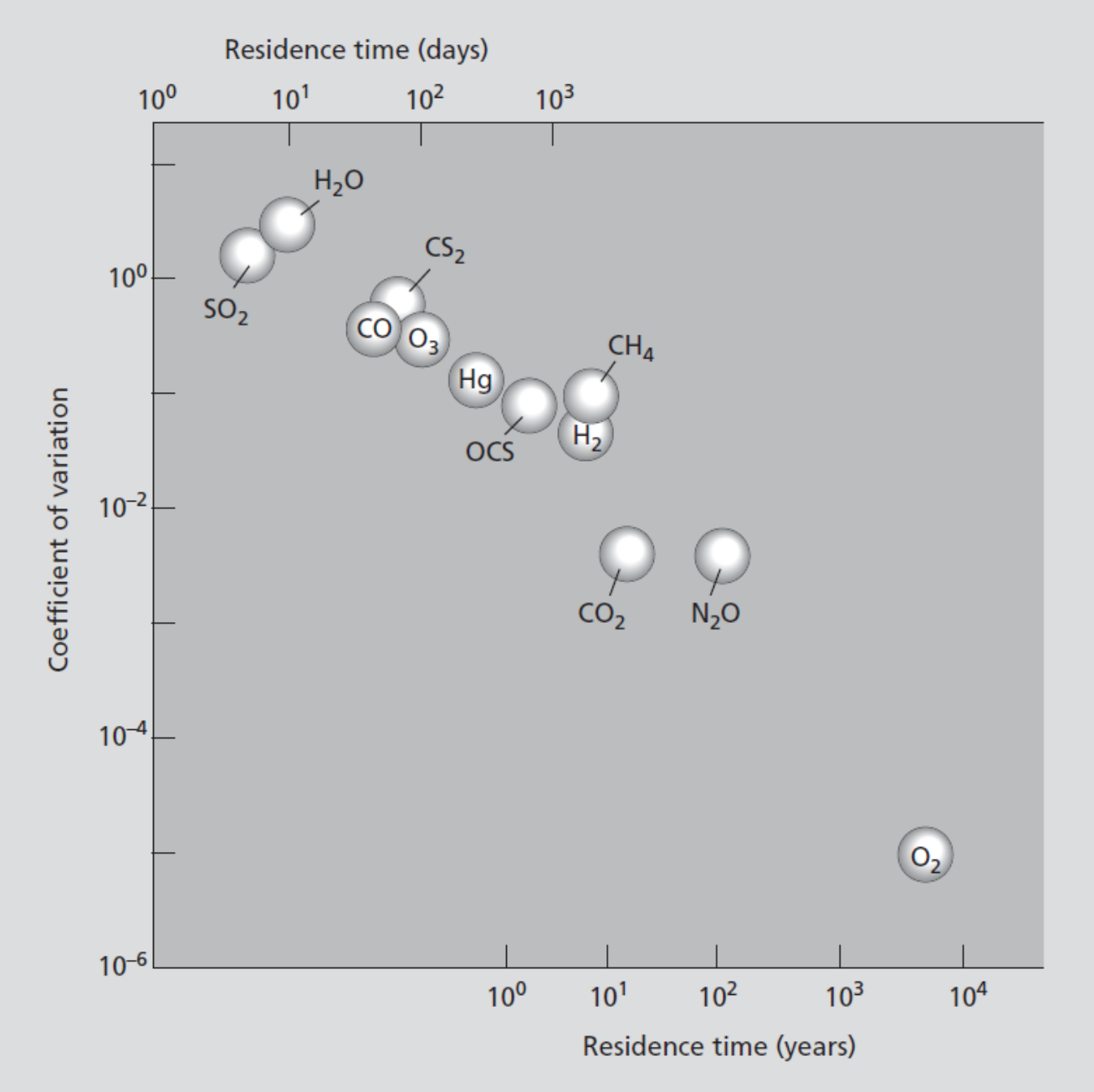
Barometrische
Höhenformel:

$$p(H) = p_0 \exp\left(\frac{-H}{7990\text{m}}\right)$$

Red Blue Stratos →

Ozonschicht →





Atmosphären heute

Die Atmosphären der Planeten heute:

	Venus	Erde	Mars
Luftdruck Oberfläche [bar]	100	1	0.06
Oberflächentemperatur [°C]	480	15	-60
Kohlendioxid	93-98 %	0.03 %	95.3 %
Stickstoff	2-5 %	78.1 %	2.7 %
Sauerstoff	~30 ppm	20.9 %	0.13 %
Kohlenmonoxid	~20 ppm	0.05-0.2 ppm	0.07 %
Wasserdampf	0.1 %	1.00 %	0.03 %
Argon	~60 ppm	0.93 %	1.60 %

Uratmosphäre

Wasserstoff (H_2)

Helium (He)

wenig Methan (CH_4), Ammoniak (NH_3) und Edelgase

Atmosphäre vor 4 Ga

Wasserdampf (H_2O) 80%

Kohlenstoffdioxid (CO_2) 10 %

Schwefelwasserstoff (H_2S) 5-7%

Stickstoff (N_2)

Wasserstoff (H_2),

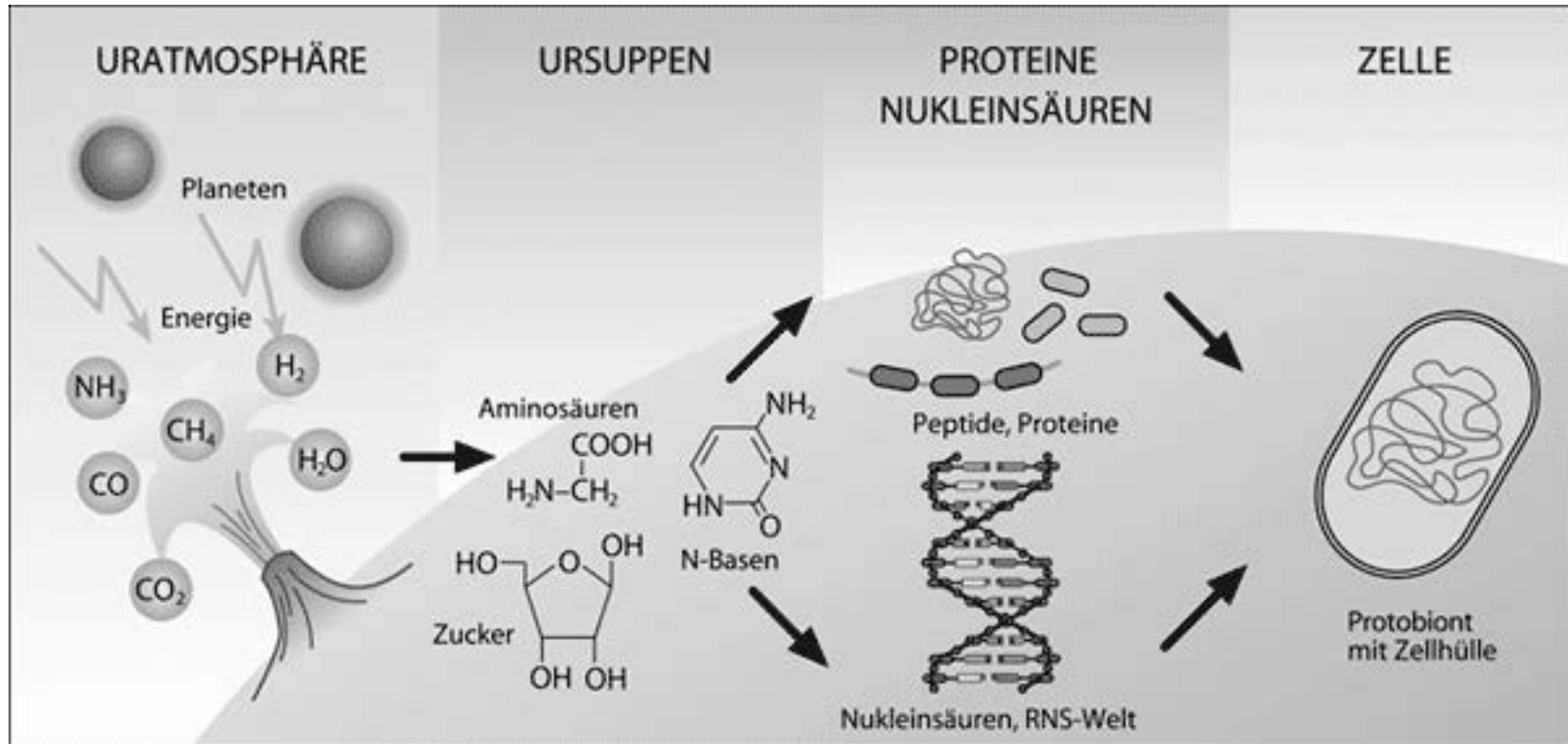
Kohlenmonoxid (CO), Helium, Methan, Ammoniak

Entstehung des Lebens

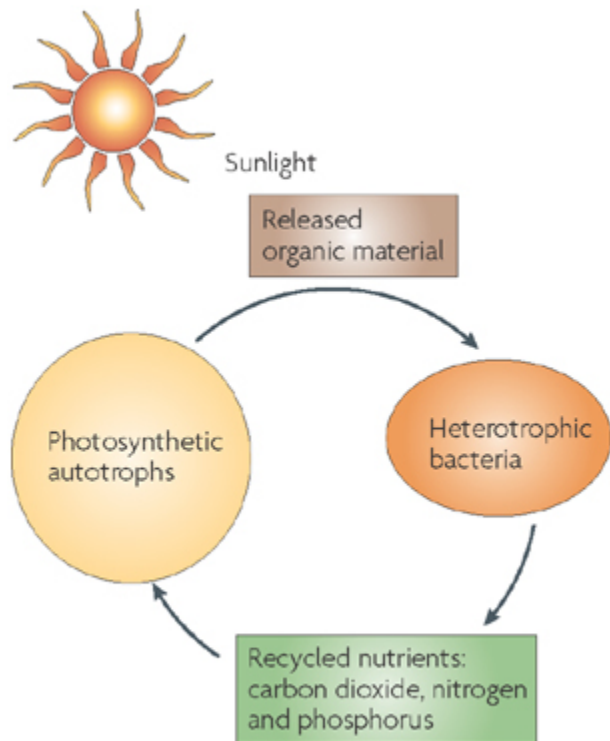
Geochemie – Biochemie

“lebend”: ein sich (auf einer Mineraloberfläche) vervielfältigendes Reaktionssystem

“Zutaten”: NH_3 , CH_4 , KCN , CO , Fe^{2+} , Ni^{2+}



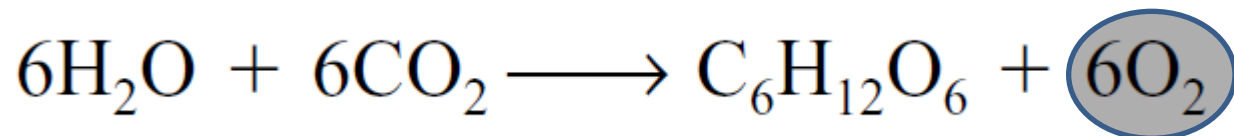
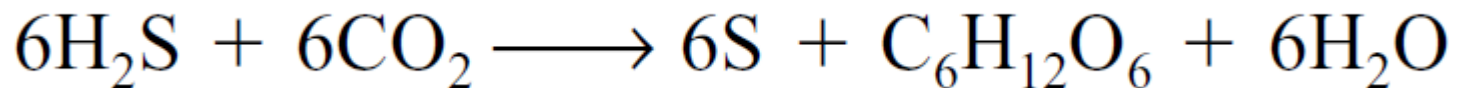
Entstehung des Lebens



Nature Reviews | Microbiology

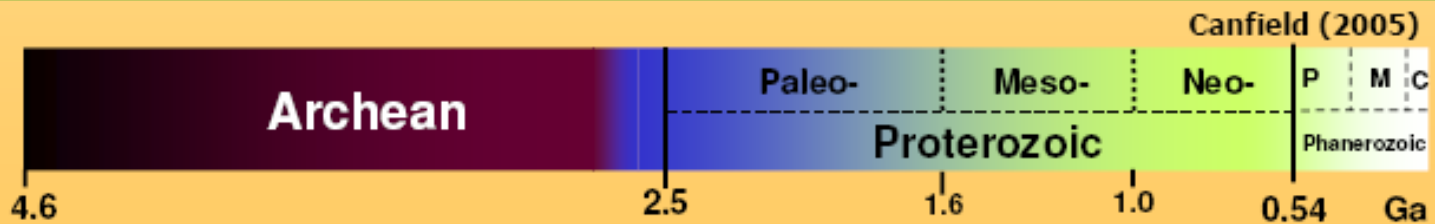
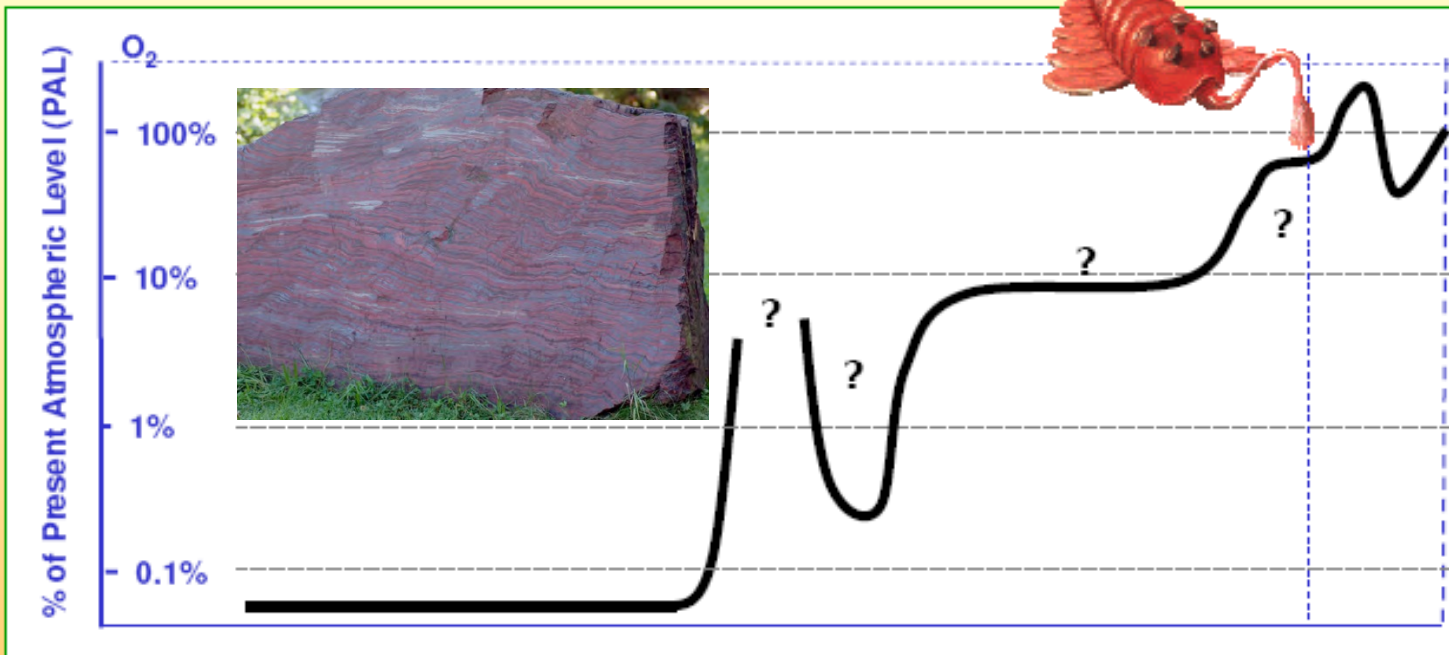
Does the Earth act like a single living entity (Gaya theory, James Lovelock) or as a randomly driven geochemical system?

Autotrophe (selbsternährend) Reaktionen



Freier Sauerstoff in der Atmosphäre

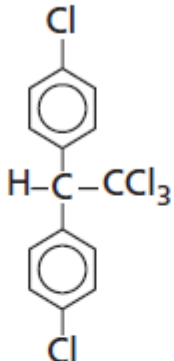
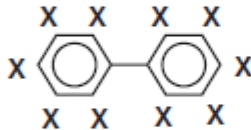
The Evolution of Oxygen in the Atmosphere



Eintrag und Veränderung durch anthropogene Aktivitäten

1. Eintrag neuer
„Umweltchemikalien“
2. Veränderung natürlicher
Kreisläufe

Antropogene Schadstoffe in der Atmosphäre

Name	Formula	Use	Environmental impact
DDT (2,2-bis (<i>p</i> -chlorophenyl)-1,1,1-trichloroethane)		Pesticide	Unselective poison, concentrates up food chain
PCBs (polychlorinated biphenyls)	 <p>(x are possible chlorine positions)</p>	Dielectric in transformers; hydraulic fluids and many other uses	Resistant to breakdown carcinogens
TBT (tributyl tin)	$(\text{CH}_3(\text{CH}_2)_3)_3\text{Sn}$	Antifouling agent in marine paints	Affects sexual reproduction of shellfish
CFCs (chlorofluorocarbons)	e.g. F-11, CCl_3F	Aerosol propellant, foam blower	Destruction of stratospheric ozone

System Atmosphäre

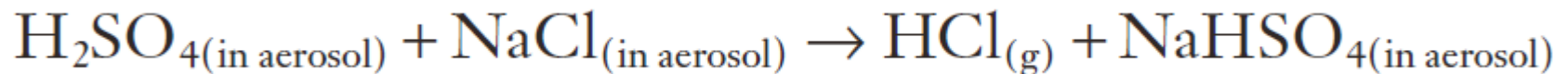
Austausch durch:

1. geochemische
2. biologische
3. anthropogene

Prozesse

Table 3.2 Sources for particulate material in the atmosphere. From Brimblecombe (1986).

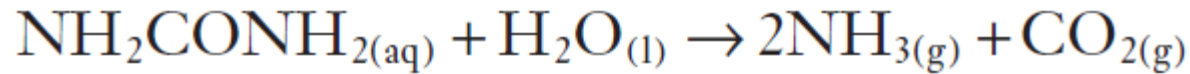
Source	Global flux (Tg yr ⁻¹)
Forest fires	35
Dust	750
Sea salt	1500
Volcanic dust	50
Meteoritic dust	1



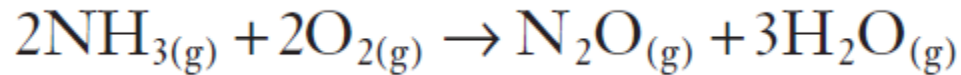
Biologen gebildete Spurengase

Biogene Stickstoffquellen:

Ammoniak und CO₂:

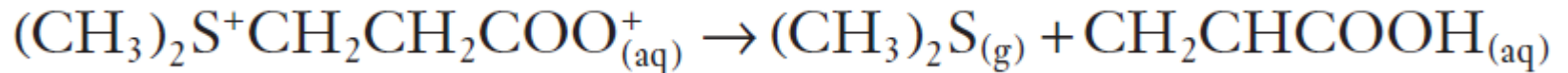


Lachgasfreisetzung durch mikrobielle Aktivität in Böden:

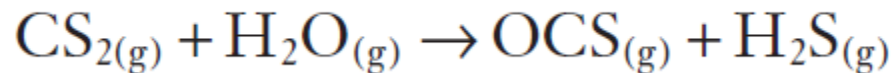


Organosulfide:

Dimetylsulfid, Quelle: marines Phytoplankton:



Carbonylsulfid:



Spurengase in der Atmosphäre

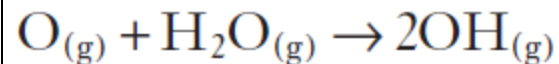
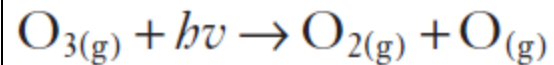
Table 3.3 Naturally occurring trace gases of the atmosphere. From Brimblecombe (1986).

	Residence time	Concentration (ppb)
Carbon dioxide	4 years	360 000
Carbon monoxide	0.1 year	100
Methane	3.6 years	1600
Formic acid	10 days	1
Nitrous oxide	20–30 years	300
Nitric oxide	4 days	0.1
Nitrogen dioxide	4 days	0.3
Ammonia	2 days	1
Sulphur dioxide	3–7 days	0.01–0.1
Hydrogen sulphide	1 day	0.05
Carbon disulphide	40 days	0.02
Carbonyl sulphide	1 year	0.5
Dimethyl sulphide	1 day	0.001
Methyl chloride	30 days	0.7
Methyl iodide	5 days	0.002
Hydrogen chloride	4 days	0.001

Reaktivität von Spurensstoffen

Das Hydroxyl-Radikal (OH-Radikal) spielt eine wichtige Rolle für den Abbau von Treibhausgasen wie Methan, von Ozon und Luftverunreinigungen

→ *chemisches Waschmittel* der Atmosphäre

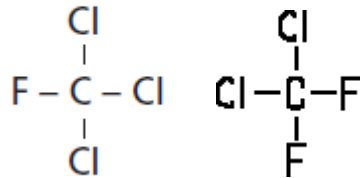


Reaktivität von Spurensubstanzen

Ozon – nützlich und gefährlich

Flourchlorkohlenwasserstoffe (FCKW)

(b) Trichlorofluoromethane
(Freon-II) (Frigen 12)

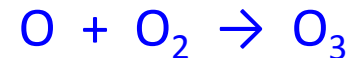


reagieren nicht mit OH. Reagieren mit Ozon-Molekül in der Stratosphäre:

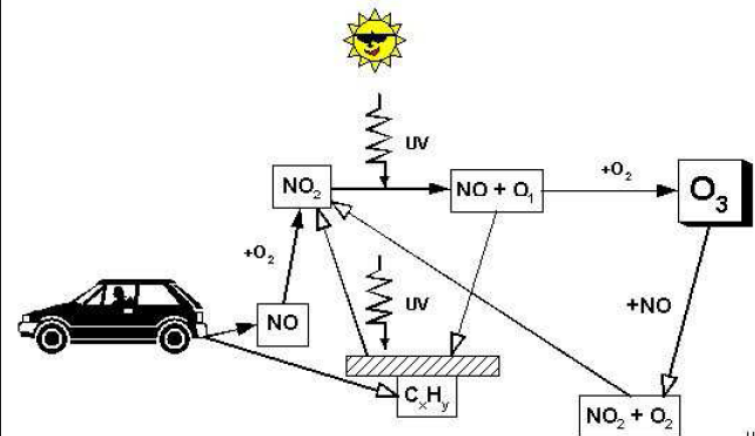


Chloroxid zerfällt wieder in ein Chlor-Atom und Sauerstoff und kann erneut ein Ozon-Molekül angreifen. Auf diese Weise kann ein einziges Chlor-Atom bis zu 100 000 Ozon-Moleküle zerstören!

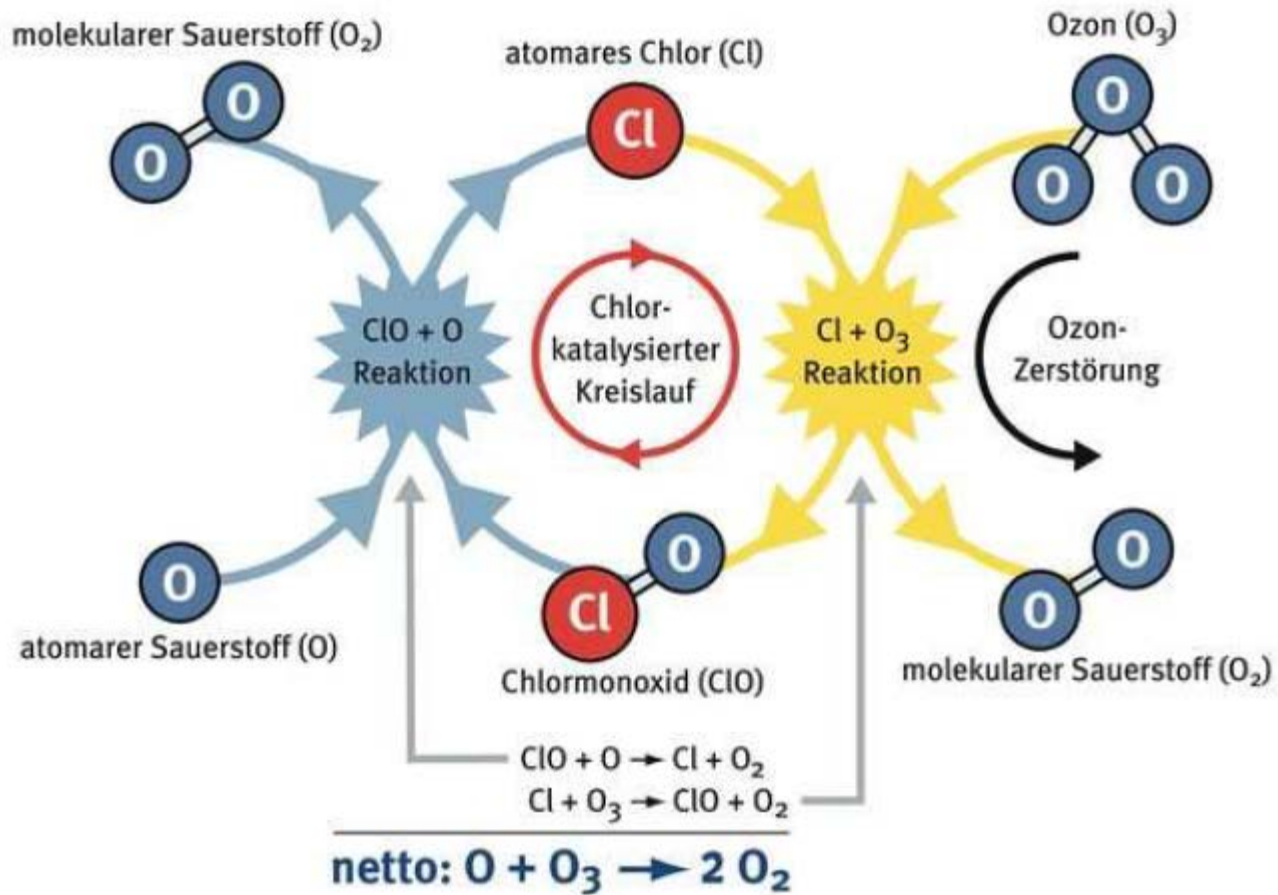
Ozonbildung in Bodennähe durch Reaktionen von Stickstoffoxiden (NO , NO_2) aus Abgasen unter dem Einfluß von UV-Licht:



Kreislaufreaktionen der Ozonbildung (stark vereinfacht)



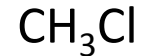
Chemischer Ozonabbau



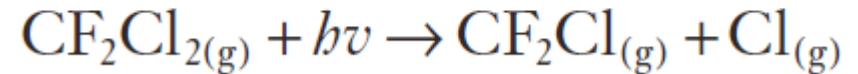
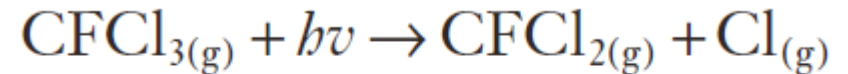
Chemischer Ozonabbau

Table 3.3 Naturally occurring trace gases of the atmosphere. From Brimblecombe (1986).

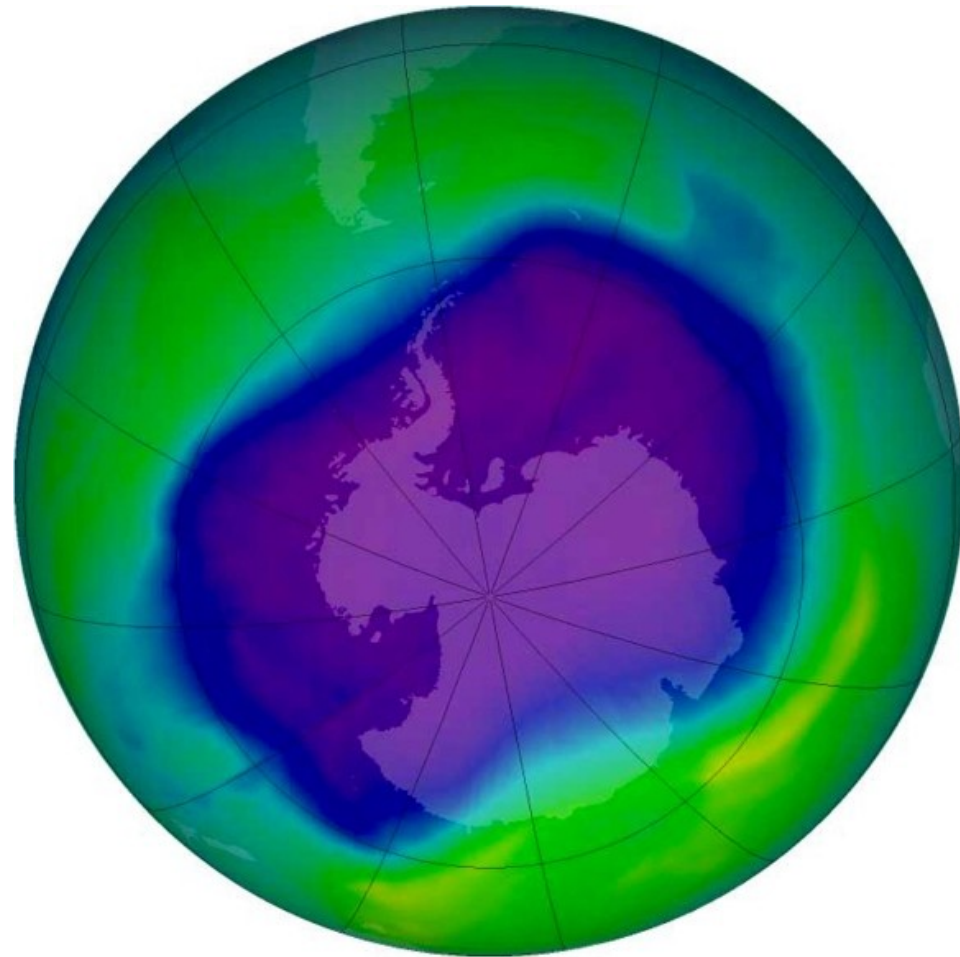
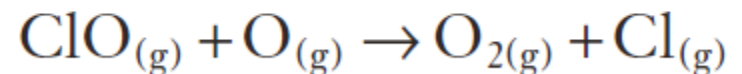
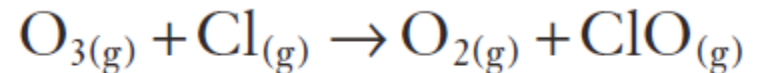
	Residence time	Concentration (ppb)
Carbon dioxide	4 years	360 000
Carbon monoxide	0.1 year	100
Methane	3.6 years	1600
Formic acid	10 days	1
Nitrous oxide	20–30 years	300
Nitric oxide	4 days	0.1
Nitrogen dioxide	4 days	0.3
Ammonia	2 days	1
Sulphur dioxide	3–7 days	0.01–0.1
Hydrogen sulphide	1 day	0.05
Carbon disulphide	40 days	0.02
Carbonyl sulphide	1 year	0.5
Dimethyl sulphide	1 day	0.001
Methyl chloride	30 days	0.7
Methyl iodide	5 days	0.002
Hydrogen chloride	4 days	0.001



Beispiel Freon 11:

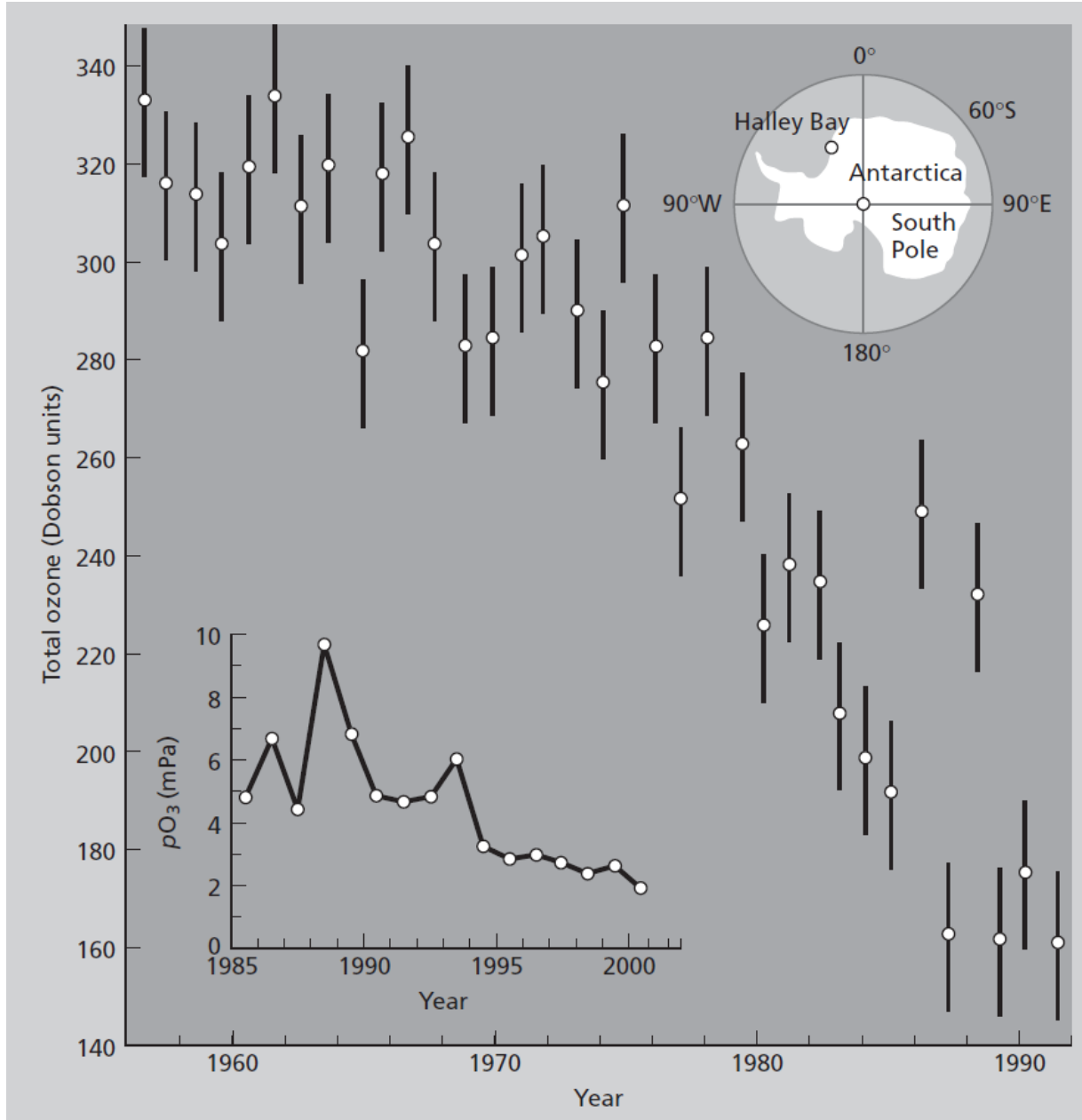


Bildung freier Cl-Atome:



Ozonloch über der Antarktis im September 2006

Das Ozonloch über der Antarktis



Abschied vom Ozonloch

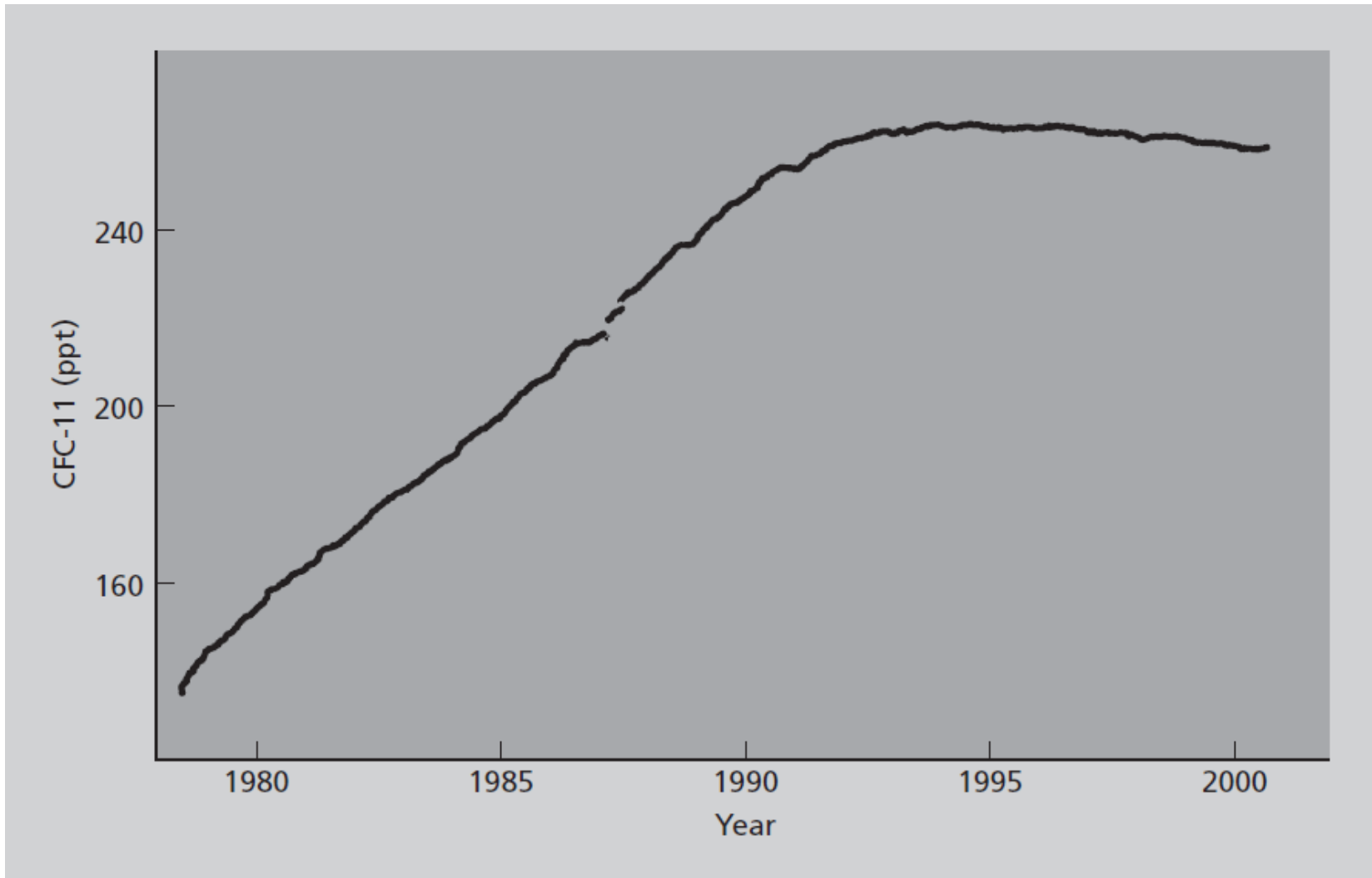
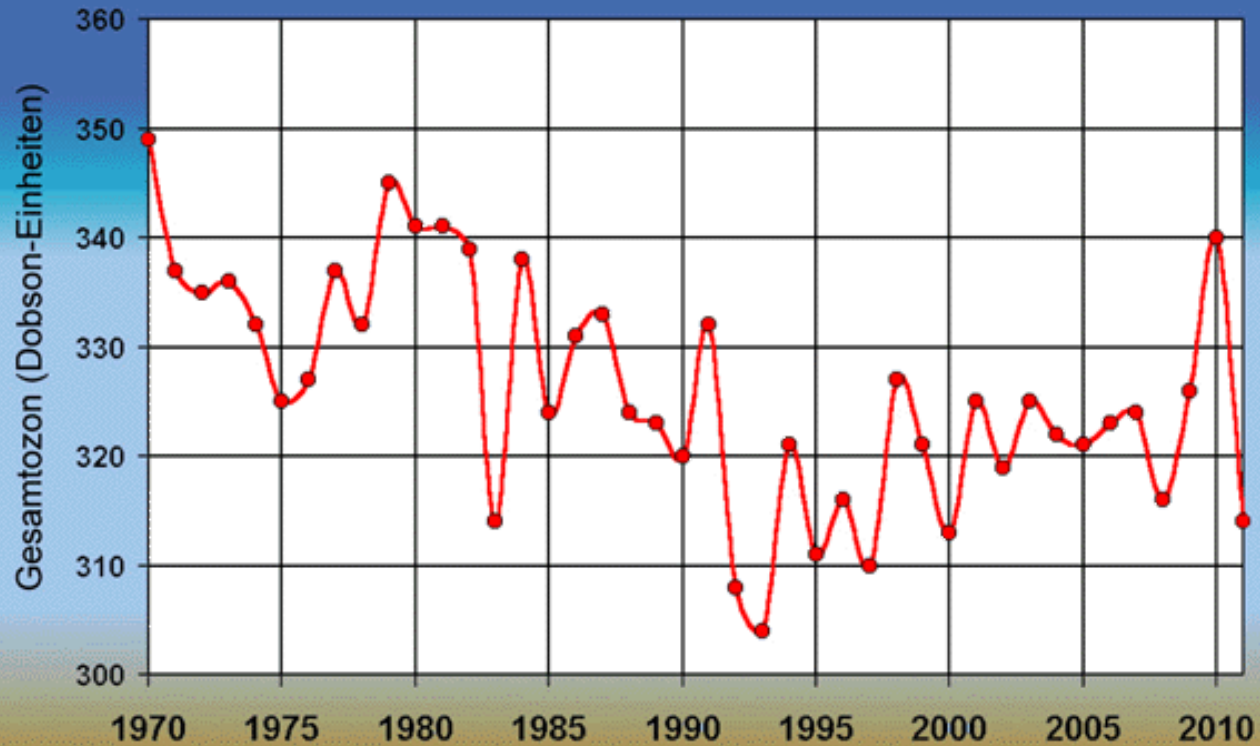


Fig. 3.7 Concentrations of CFC-11 measured at ground level, Cape Grim, Tasmania. Note that concentrations of CFC-11 have been falling in the 1990s following the rapid increase during the 1980s. Copyright CSIRO Australia, May 2002.

Ozon-Jahresmittelwerte am Observatorium Hohenpeißenberg



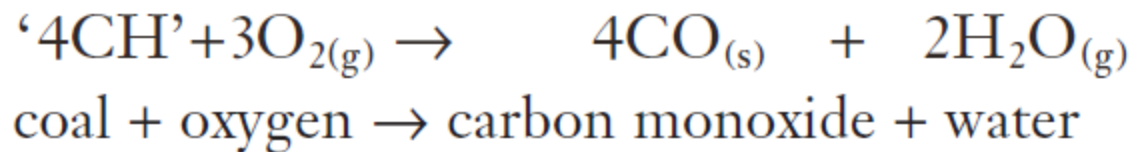
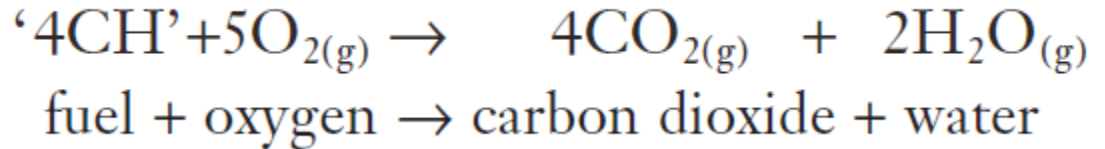
Der Knick im Jahre 1991 durch Ausbruch des Vulkans Pinatubo (Philippinen). Abnahme im Jahre 1982 durch Ausbruch des Vulkans El Chichón (Mexiko).

London smog (sm[o]ke and f[o]g)

Jack the Ripper in the London Fog

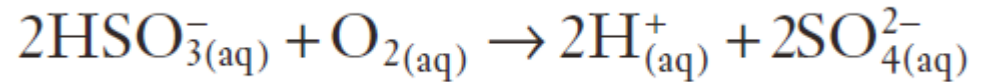
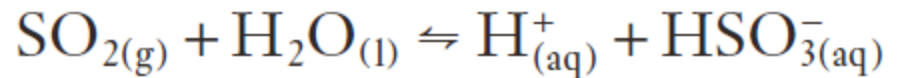
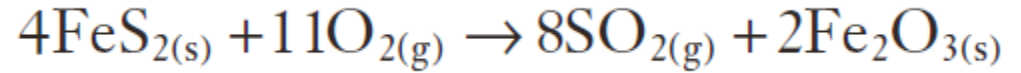


London smog (sm[o]ke and f[o]g)



Fuel	S (% by weight)
Coal	7.0–0.2
Fuel oils	4.0–0.5
Coke	2.5–1.5
Diesel fuel	0.9–0.3
Petrol	0.1
Kerosene	0.1
Wood	Very small
Natural gas	Very small

London smog (sm[o]ke and f[og])



Auswirkungen der Luftverschmutzung

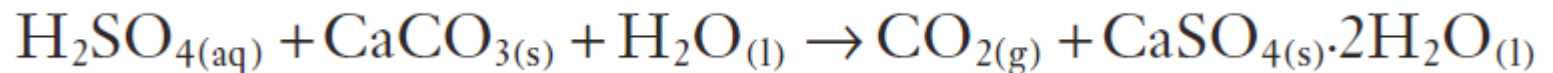
Portalfigur (Schloß Herten)



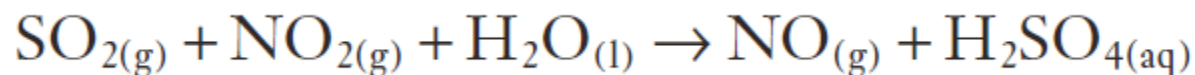
1908



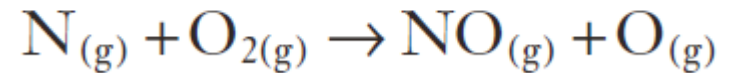
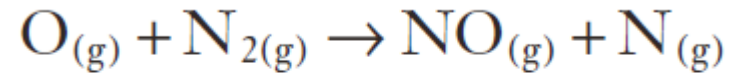
1969



Anwesenheit von Stickoxiden kann H_2SO_4 -Bildung beschleunigen:

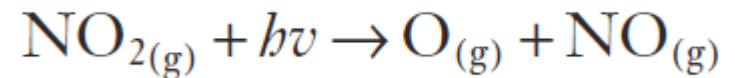


Los Angeles smog – secondary pollution

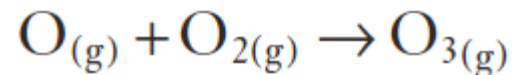


an der Luft wird NO zu braunem NO₂ oxidiert

NO₂ dissoziiert bei Bestrahlung mit Sonnenlicht:



Ozonbildung:



Ozon - sekundärer Schadstoff

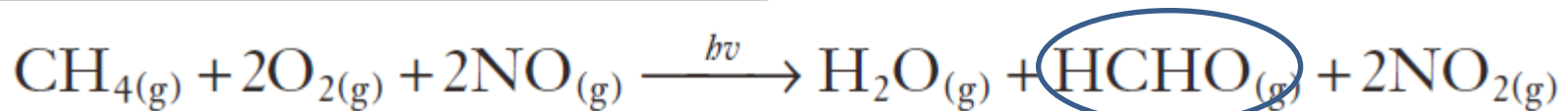
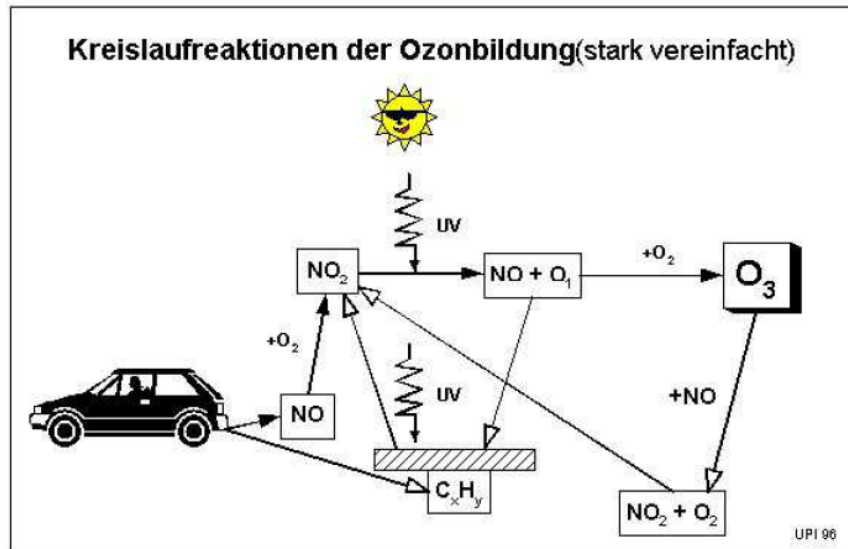


Table 3.5 Comparison of Los Angeles and London smog. From Raiswell *et al.* (1980).

Characteristic	Los Angeles	London
Air temperature	24 to 32°C	-1 to 4°C
Relative humidity	<70%	85% (+ fog)
Type of temperature inversion	Subsidence, at 1000 m	Radiation (near ground) at a few hundred metres
Wind speed	<3 ms ⁻¹	Calm
Visibility	<0.8–1.6 km	<30 m
Months of most frequent occurrence	Aug. to Sept.	Dec. to Jan.
Major fuels	Petroleum	Coal and petroleum products
Principal constituents	O ₃ , NO, NO ₂ , CO, organic matter	Particulate matter, CO, S compounds
Type of chemical reaction	Oxidative	Reductive
Time of maximum occurrence	Midday	Early morning
Principal health effects	Temporary eye irritation (PAN)	Bronchial irritation, coughing (SO ₂ /smoke)
Materials damaged	Rubber cracked (O ₃)	Iron, concrete

Wichtigste Bestandteile des photochemischen Smogs

Ozon (O_3)

Peroxidradikale ($R-CH_2O_2$)

Peroxyacetylnitrat (PAN) $C_2H_3NO_5$

Air Pollution in Beijing

In winter when coal-fired heating is used and there is no wind or rain to remove the pollution, the levels of pollution measured by the US embassy (the most reliable source) is off the charts and at least 30 to 45 times the recommended safety levels.



Verteilung der Edelgase in der Atmosphäre

Tabelle 5.3. Berechnung des Ar/He-Verhältnisses auf Grund des radioaktiven Zerfalls der primordialen Nuklide ^{40}K , ^{232}Th , ^{235}U und ^{238}U

M	H	$t_{1/2}$	Zerfallsart	D
^{238}U	99,28%	$4,49 \cdot 10^9\text{a}$	8α	$^{206}\text{Pb} + 8\text{He}$
^{235}U	0,715%	$7,13 \cdot 10^8\text{a}$	7α	$^{207}\text{Pb} + 7\text{He}$
^{232}Th	100%	$1,39 \cdot 10^{10}\text{a}$	6α	$^{206}\text{Pb} + 6\text{He}$
^{40}K	0,011%	$1,26 \cdot 10^9\text{a}$	β -Zerfall K-Eingang	89% ^{40}Ca 11% ^{40}Ar

$$\text{He}_h = \sum_i n(\alpha, i) \Delta M_i = \sum_i n(\alpha, i) M_{h,i} \left(\exp \left\{ \frac{\ln 2}{t_{1/2,i}} \theta \right\} - 1 \right)$$

He_h = jetzige Anzahl der He-Atome

$M_{h,i}$ = jetzige Anzahl der Mutteratome der Sorte i

$n(\alpha, i)$ = Multiplikator, der aus der Zerfallsart folgt

θ = Erdalter (= $4,5 \cdot 10^9\text{a}$)

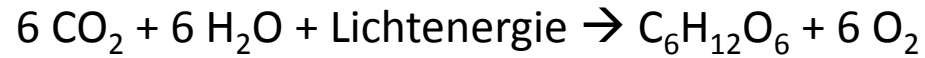
H_i = Isotopenhäufigkeit von i

Nuklid	Elementkonzentration in der Lithosphäre	Edelgas-Produktion in $4,5 \cdot 10^9\text{a}$ mol g^{-1} -Gestein
^{238}U	} 2,5 ppm	$8,3 \cdot 10^{-8}$
^{235}U		$4,1 \cdot 10^{-8}$
^{232}Th		$8,4 \cdot 10^{-8}$
^{40}K	2,5%	$\text{He}_h = 20,8 \cdot 10^{-8}$ $\text{Ar}_h = 3,3 \cdot 10^{-7}$
daraus folgt:		$(\text{Ar}/\text{He})_{\text{rad}} \approx 1,6$

$$(\text{Ar}/\text{He})_{\text{Atmosphäre}} = 1790$$

Bildung von Stromatolithen (seit ~3 Ga)

Zunahme von O_2 und Abnahme von CO_2 in der Atmosphäre



Aufg.: CO₂ Emission durch Autos

Der durchschnittliche Benzinverbrauch eines Autos sei 5L pro 100km.

A) Wieviel g CO₂ emittiert dieses Auto pro Kilometer?

Mol-Masse Benzin C₇H₁₆ = (7 x 12 g/mol + 16 x 1 g/mol) = 100 g/mol

1 kg Benzin enthält: - 10 mol C₇H₁₆ Moleküle
- 70 mol Kohlenstoff C



Daraus folgt:

Das Verbrennen von 1 kg Benzin (ungefähr 1 Liter) setzt 70 mol CO₂ frei!

Auf 100 km setzt unser Auto **350 mol CO₂**...

Mol-Masse CO₂ = (1 x 12 g/mol + 2 x 16 g/mol) = 44 g/mol

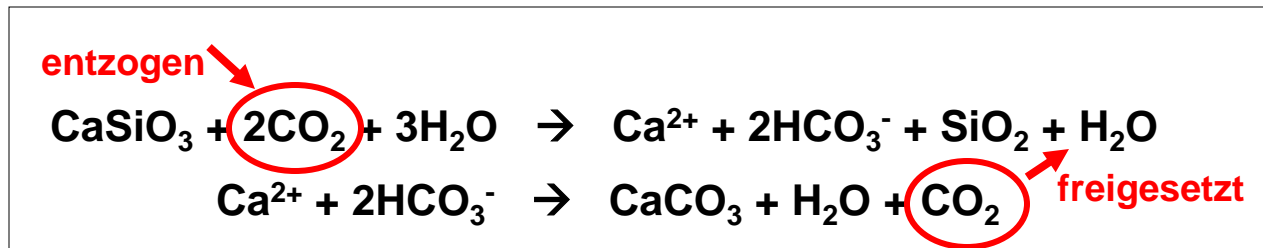
...oder 15400 g CO₂ frei!



Pro gefahrenem Kilometer emittiert unser Auto 154 Gramm CO₂ in die Atmosphäre!

Aufg.: CO₂ Emission durch Autos

B) Wieviel g CaSiO₃ muss verwittert werden, damit dieses CO₂ (154 g) der Atmosphäre wieder entzogen wird?



Pro 1 mol verwittertes CaSiO₃ wird der Atmosphäre 1 mol CO₂ entzogen.

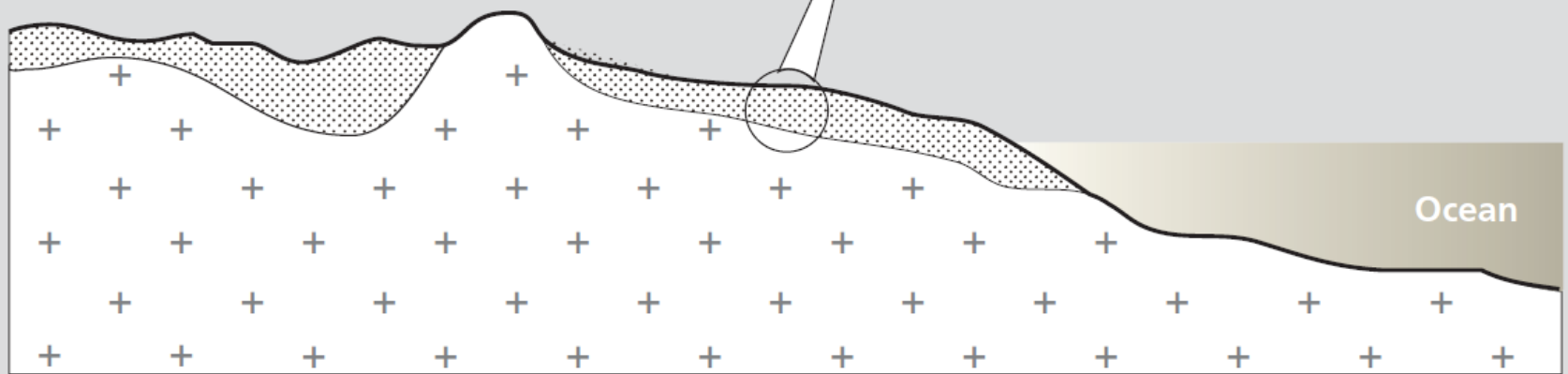
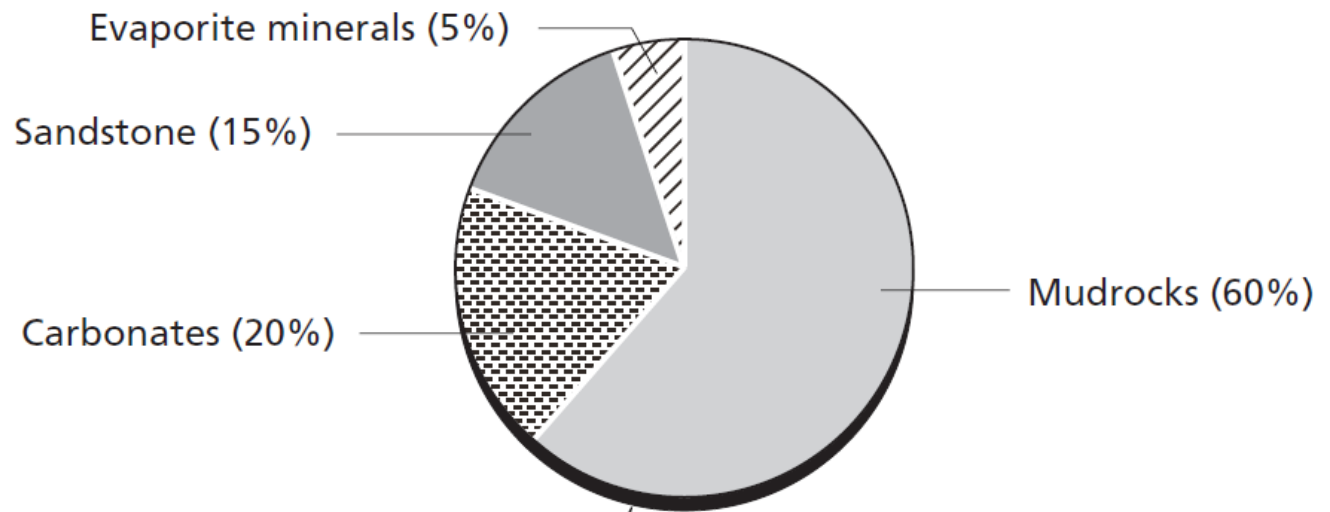
Unser Auto emittiert 350 mol CO₂ pro 100 km oder **3.5 mol CO₂ pro km**. Also müssen **3.5 mol CaSiO₃ verwittert** werden um der Atmosphäre diese emittierte Menge CO₂ wieder zu entziehen.

Mol-Masse CaSiO₃ = 116 g/mol (1 x 40 g/mol + 1 x 28 g/mol + 3 x 16 g/mol)

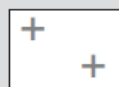
Pro gefahrenem Kilometer müssen 3.5 mol x 116 g/mol = 406 Gramm CaSiO₃ verwittert werden um das emittierte CO₂ zu kompensieren.

Es gilt zu beachten, dass bei dieser Rechnung das **durch Photosynthese verbrauchte CO₂** vollständig vernachlässigt wird.

Kontinentale Kruste



Sedimentary rocks



Crystalline continental crust

Table 4.1 Average chemical composition of upper continental crust, sedimentary mudrock and suspended load of rivers. Data from Wedepohl (1995) and Taylor and McLennan (1985).

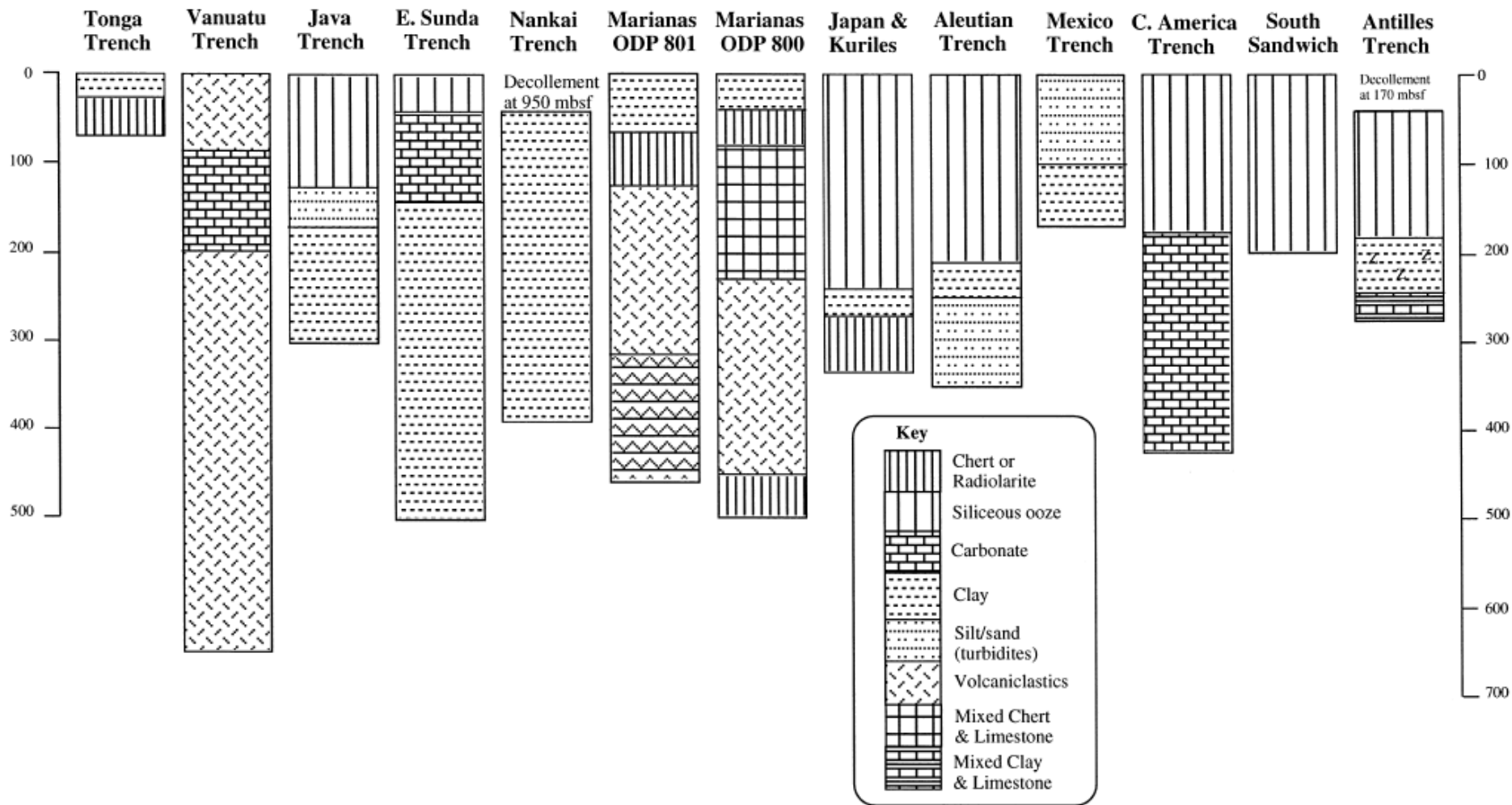
	Average upper continental crust (wt%)*	Average sedimentary mudrock† (Tonstein) (wt%)	Average suspended load (rivers)‡ (wt%)
SiO ₂	65.0	62.8	61.0
TiO ₂	0.6	1.0	1.1
Al ₂ O ₃	14.7	18.9	21.7
FeO	4.9	6.5	7.6
MgO	2.4	2.2	2.1
CaO	4.1	1.3	2.3
Na ₂ O	3.5	1.2	0.9
K ₂ O	3.1	3.7	2.7
Σ	98.3	99.9	99.4

* A silicate analysis is usually given in units of weight% of an oxide (grams of oxide per 100 g of sample). As most rocks consist mainly of oxygen-bearing minerals, this convention removes the need to report oxygen separately. The valency of each element governs the amount of oxygen combined with it. A good analysis should sum (Σ) to 100wt%.

† This analysis represents terrigenous mudrock (i.e. does not include carbonate and evaporite components), a reasonable representation of material weathered from the upper continental crust.

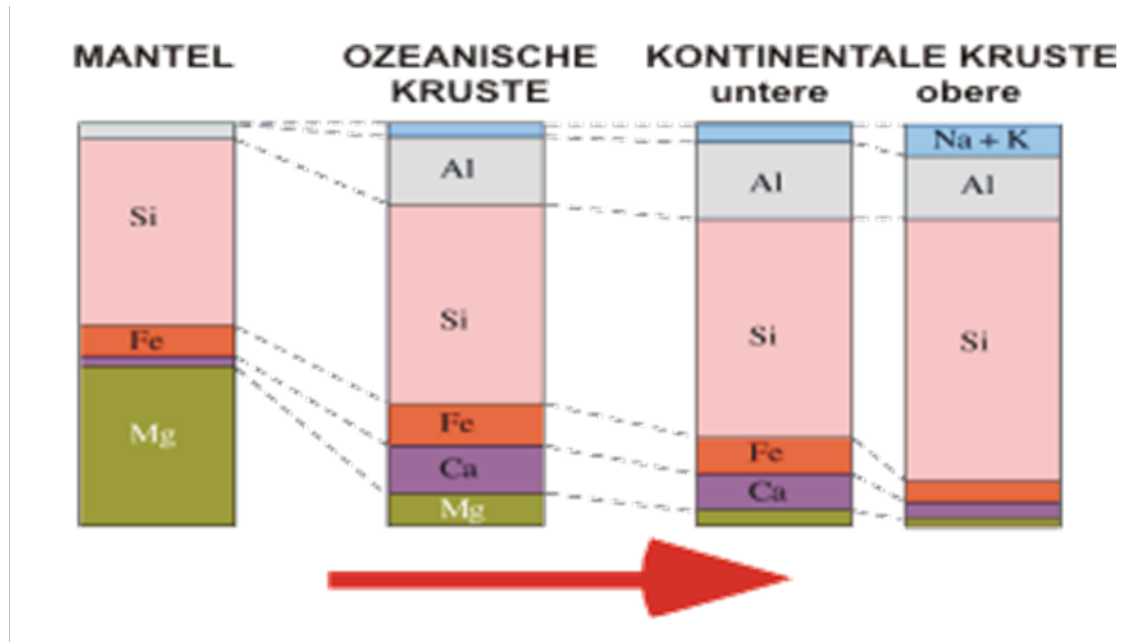
‡ Average of Amazon, Congo, Ganges, Garonne and Mekong data.

Global sediment subduction (GLOSS)



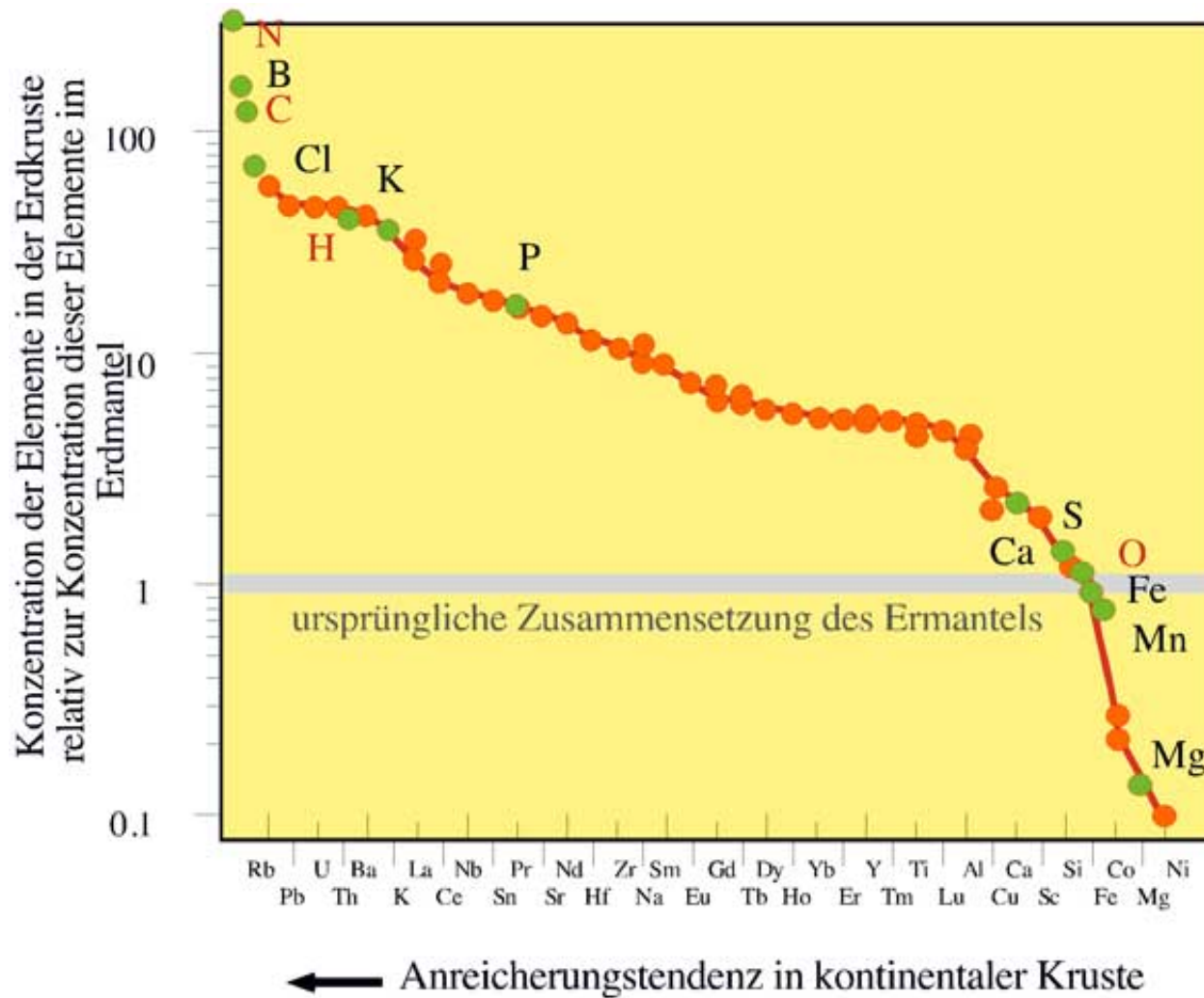
GLOSS dominated by terrigenous material: 76 wt% terrigenous, 7 wt% calcium carbonate, 10 wt% opal, 7 wt% mineral-bound H_2O^+ , and therefore similar to upper continental crust

Geochemie der Kruste

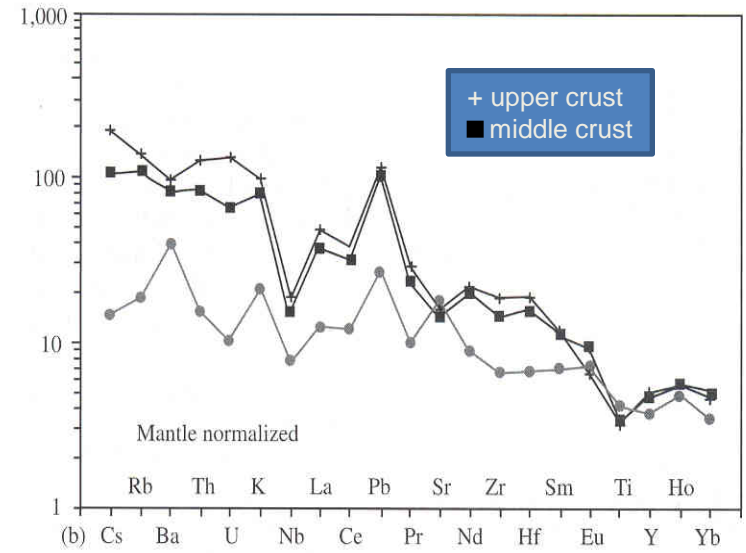
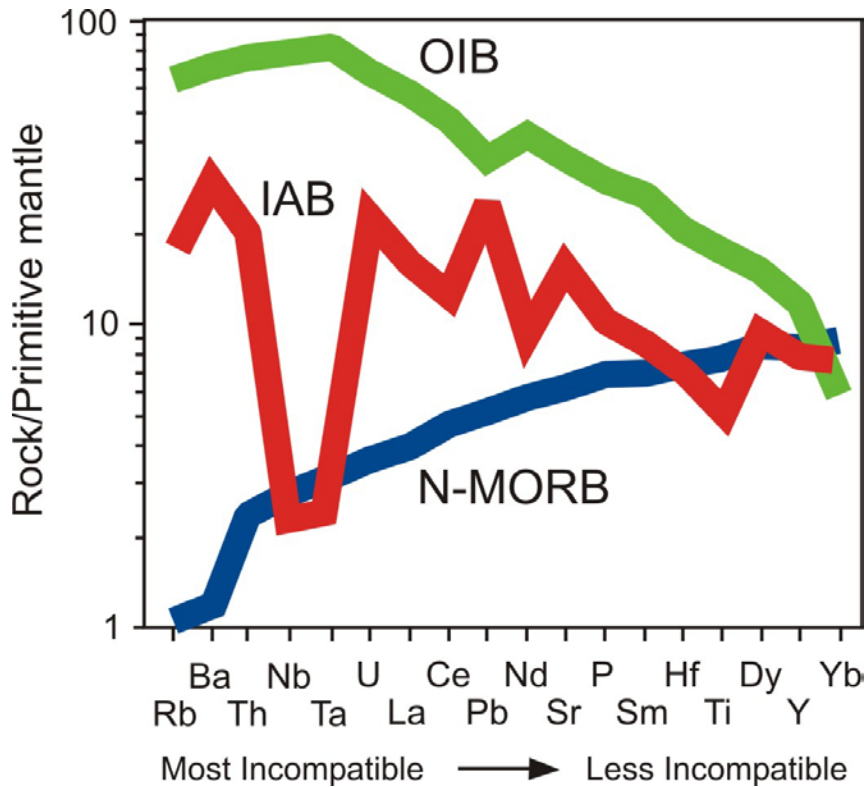


Mass of continental crust is 0.57% of BSE but it contains 35% of its potassium!
Mass of continental crust is 0.57% of BSE but it contains 35% of its potassium!

Elementverteilung zwischen Kruste & Mantel



Elementanomalien der Kruste



Merkmale kontinentaler Kruste

Continental crust grows magmatically,
constitutes only 0.6% of the silicate Earth,
has an average andesitic composition,
is highly differentiated and buoyant

Enriched in incompatible components compared to primeval chondritic composition, i.e.:

→ Important reservoir for many scarce elements (ore deposits)

Other features: negative anomalies for Nb and Ta and high Pb contents, low Nb/U...

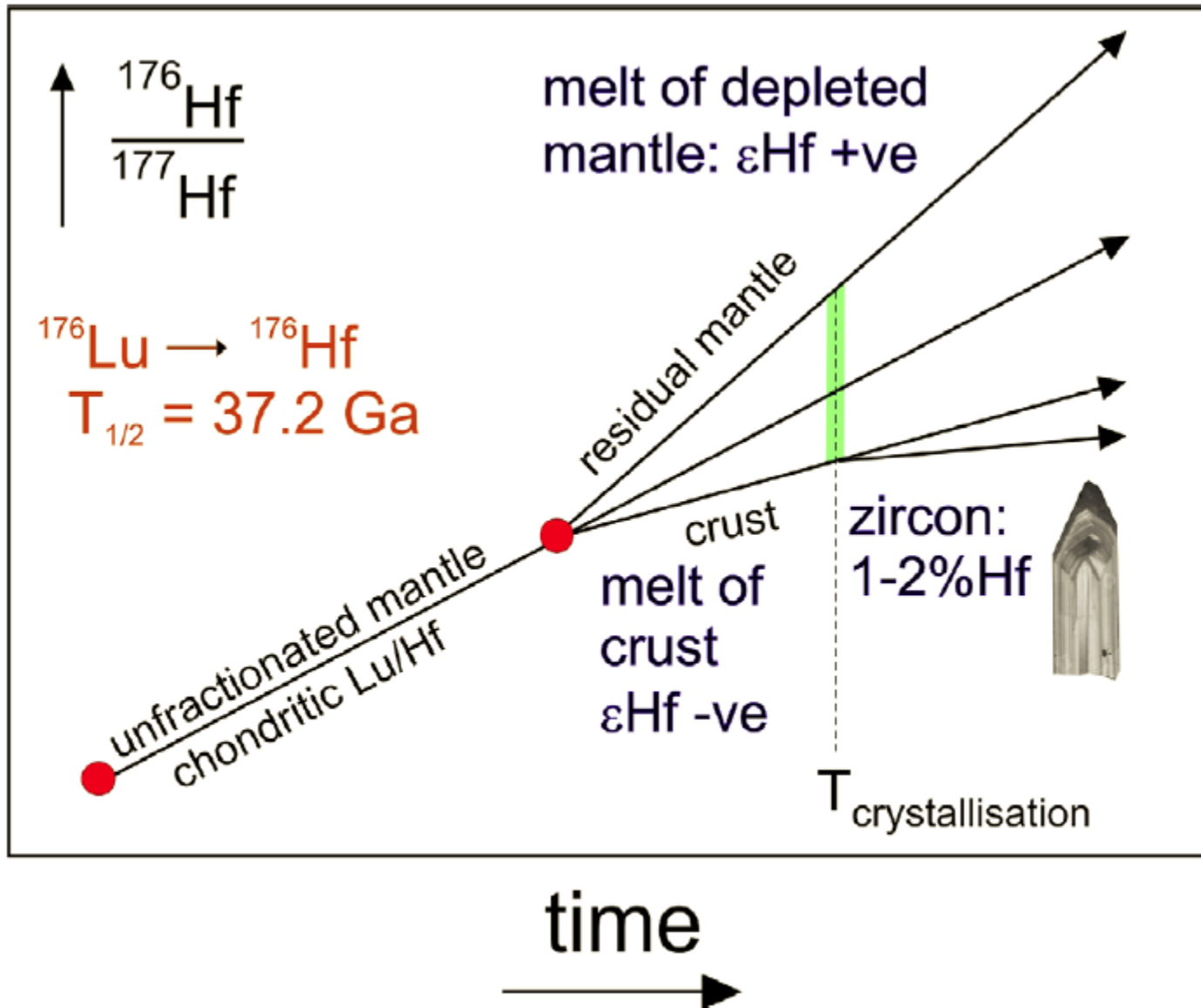
Old average age: ~2 Ga

→ Archean magmatism contributed greatly to the formation of the continental crust

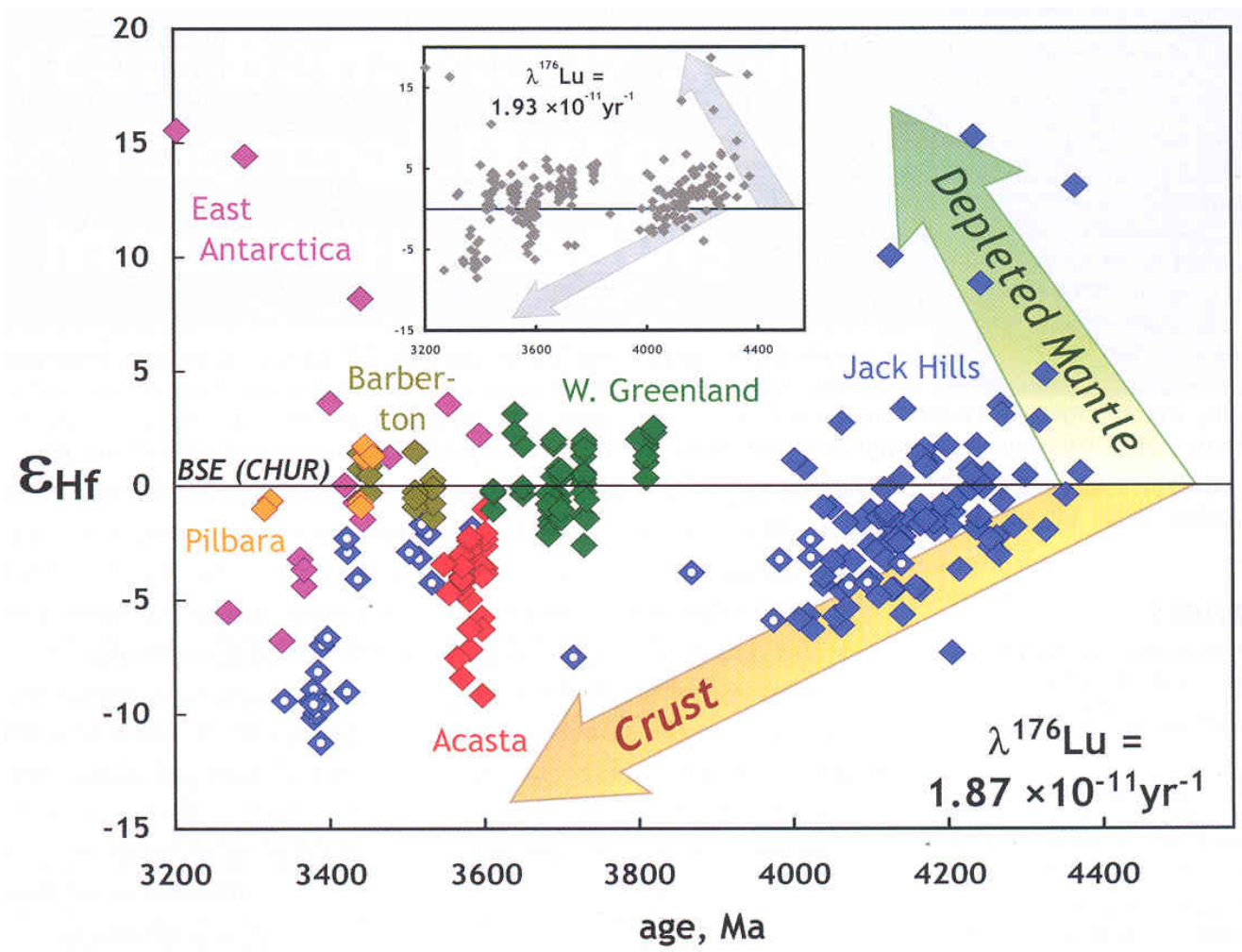
Earth has considerably cooled since its formation

→ rates and processes of magma generation (plume-related versus arc-related) and crust formation have changed

Hf-Isotopie



Mantel-Kruste Differentiation der Erde – Hf Zirkon



$$\epsilon_{Hf} = \left[\frac{\left(\frac{^{176}Hf}{^{177}Hf} \right)_{Probe}}{\left(\frac{^{176}Hf}{^{177}Hf} \right)_{Chondrite}} - 1 \right] \times 10^4$$

Krustenwachstum

The most dramatic shift in the generation of continental crust began ~2.7 by ago. This crust formation period was followed by additions of continental crust at:

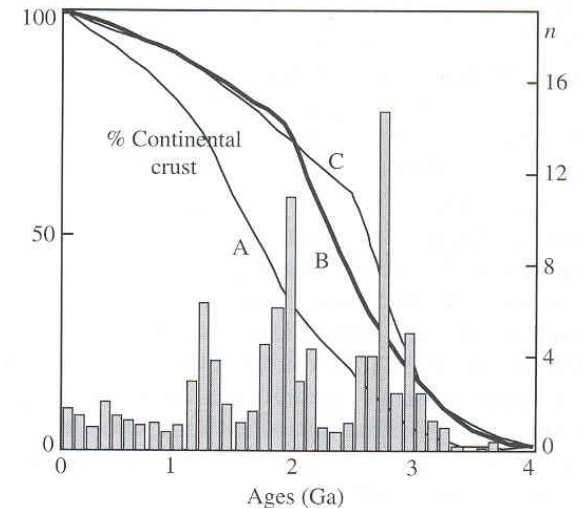
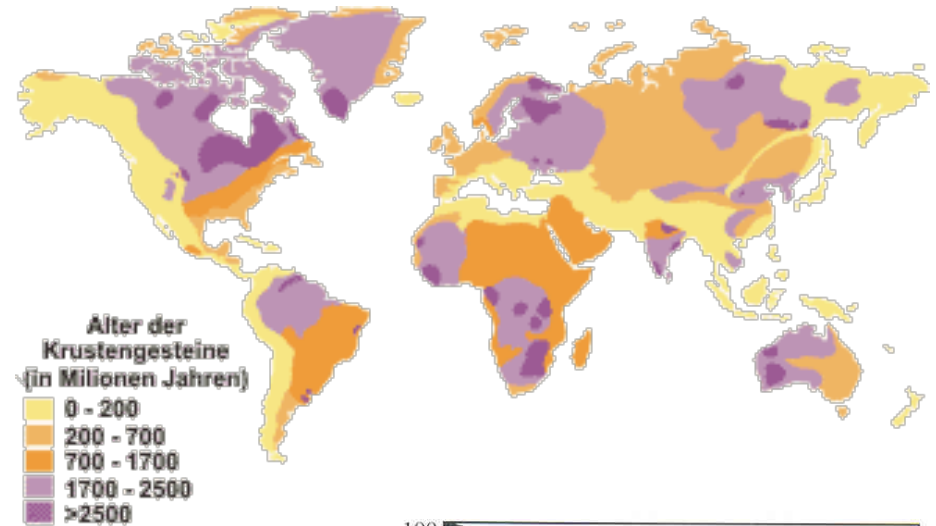
- ~1.9 by
- ~1.2 by
- 0.5 – 0.3 by

Large crustal volumes formed during short time periods

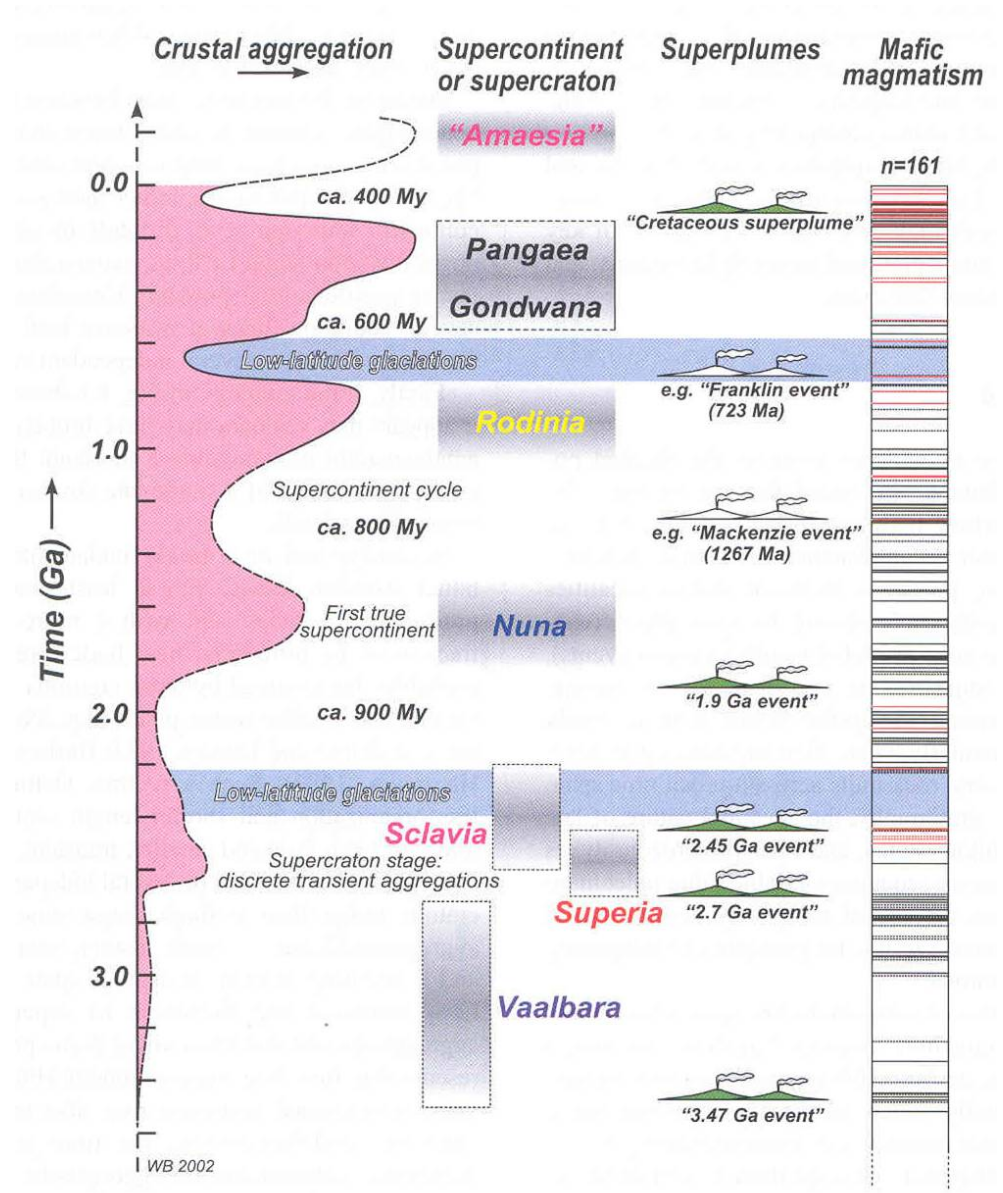
Global episodicity explained by:

1. Supercontinent cycle hypothesis

- a) Break apart of supercontinent
- b) Higher subduction rates
- c) Formation of new continental crust



Superkontinente der Erdgeschichte



Die 3 Schritte bis zur modernen Kruste

Basaltic crust generated by partial melting of mantle peridotite

1st. crust formation step – separation of basaltic rocks from the mantle

This crust was locally hydrated and transferred (in greater depth) into amphibolite/eclogite

Melting of basaltic crust during (1) subduction and/or (2) magmatic underplating (high heat flow) → generation of tonalites, trondhjemites and (differentiated) granodiorites

2nd. crust formation step – stratification into more evolved upper crust and mafic residual lower crust

Melting of TTG's and of sedimentary rocks → granite production and enrichment of SiO_2 , Na_2O und K_2O

3rd. crust formation step – evolved modern continental crust

Die heutige Kruste

Modern Earth's crust has a bulk andesitic composition: ~61% SiO₂
Mg number (Mg#, molar Mg/(Mg + Fe)) is ~ 55

modern crust is stratified

But bulk crust is more differentiated than any magma in equilibrium with the upper mantle

Crustal growth by:

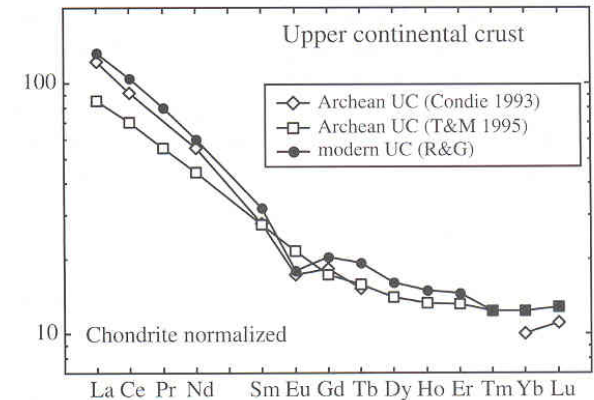
-- tectonic accretion of island arcs or oceanic plateaus i.e.,
addition of basalt. The basalts are ultimately reprocessed into felsic continental crust by intracrustal differentiation (fractional crystallization, remelting, weathering and erosion, etc.)

→ crust formation takes place in several stages

Oberkruste

- enriched in light REE
- Eu-anomaly
- flat heavy REE

This is different from TTG's but similar to most post-Archean granitic rocks → fundamental role of such granites in shaping the compositional structure of the crust



Treatise on Geochemistry, Vol 3: The Crust

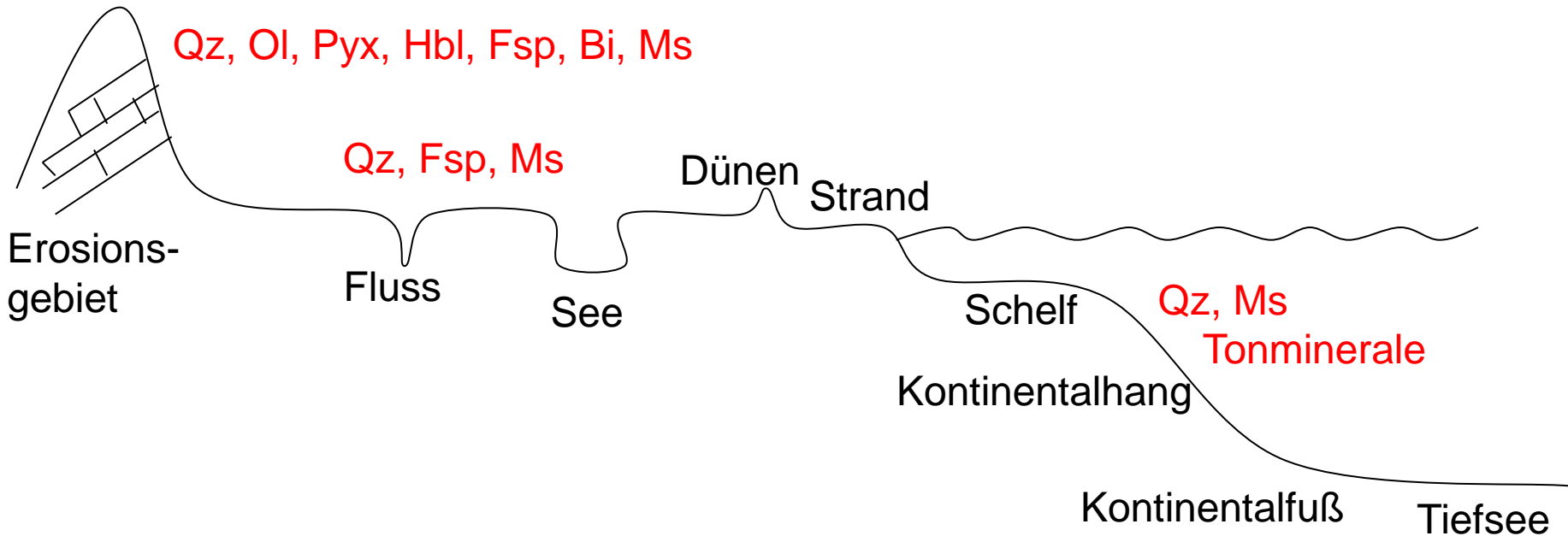
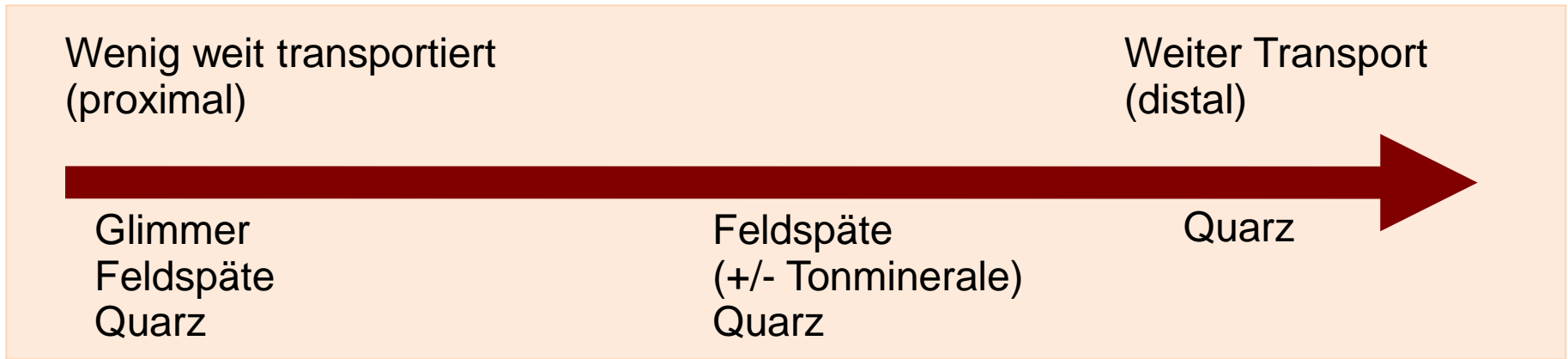
Eu (like Sr) accommodated in plagioclase, and thus is sensitive to intracrustal differentiation processes

Can granitic plutons represent new crust? – yes, by

- fractional crystallization of basaltic liquid
- mixing between crustal and mantle-derived magmas
- partial melting of young, mantle-derived mafic protoliths in the crust

Die Pedosphäre

Verwitterung – physikal., chem., biol.



Orthoklas → Kaolinit (Verwitterungsneubildung)

Ferromagnesian series

Felsic series

Olivine
(monomer silicate)

Pyroxene
(chain silicate)

Amphibole
(double chain silicate)

Biotite mica
(sheet silicate)

Muscovite mica
(sheet silicate)

Quartz
(framework silicate)

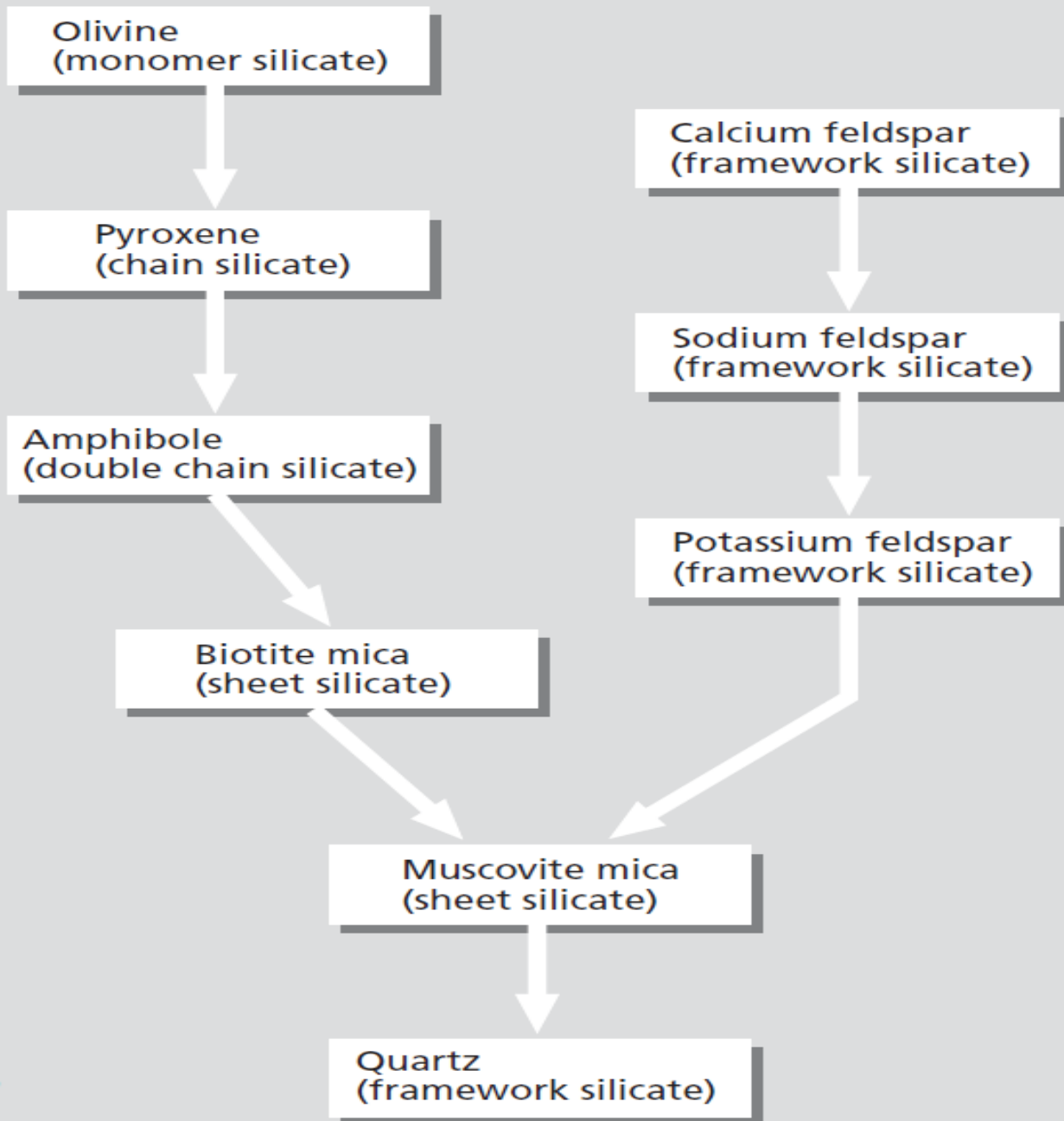
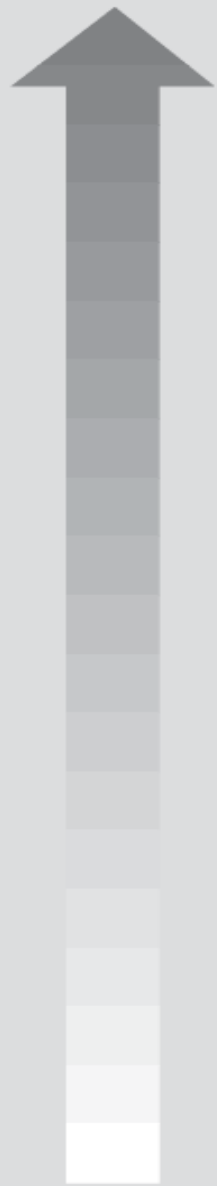
Calcium feldspar
(framework silicate)

Sodium feldspar
(framework silicate)

Potassium feldspar
(framework silicate)

Increasing temperature of mineral crystallization in magma

Increasing susceptibility to weathering



Chem. Verwitterung: Lösungsverwitterung

Die Lösungsverwitterung bewirkt die Lösung (Korrosion) von Gesteinen, die relativ leichtlösliche Alkali- und Erdalkalisalze wie z.B. Chloride, Nitrate, Sulfate und/oder Karbonate enthalten



Die Vorstufe der Lösungsverwitterung ist die **Hydratation**; die randlichen Ionen des Kristallgitters werden in Kontakt mit Wasser hydratisiert

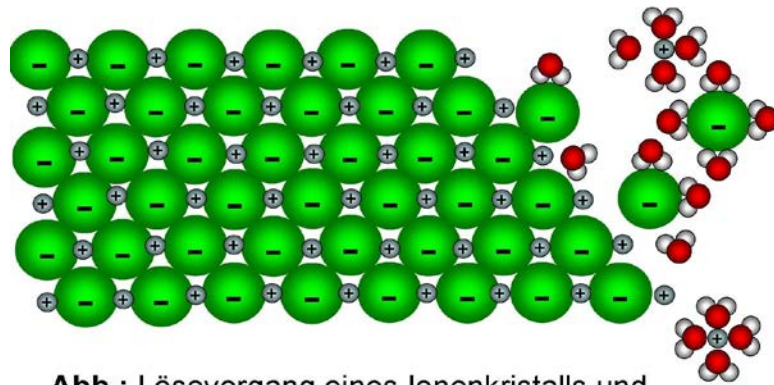


Abb.: Lösevorgang eines Ionenkristalls und Hydratation der Ionen

Chem. Verwitterung: Karbonatverwitterung

Die **Karbonatverwitterung** ist ein besonderer Fall der Lösungsverwitterung

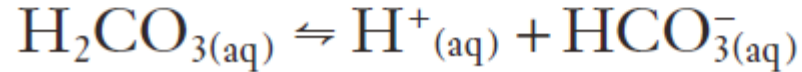
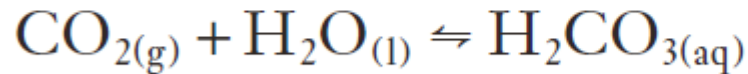
Zur Lösung der Karbonate muß **kohlensäurehaltiges Wasser** vorhanden sein



CO₂ entsteht im Boden durch Organismen. Im Boden ist die CO₂-Konzentration wegen der Atmung (Dissimilation) der Bodenorganismen wesentlich höher als in der Atmosphäre.

Die **Kohlensäure** wird durch die Atmung der Pflanzenwurzeln und Bodenorganismen ständig neu gebildet (daher auch Kohlensäureverwitterung oder **saure Hydrolyse**).

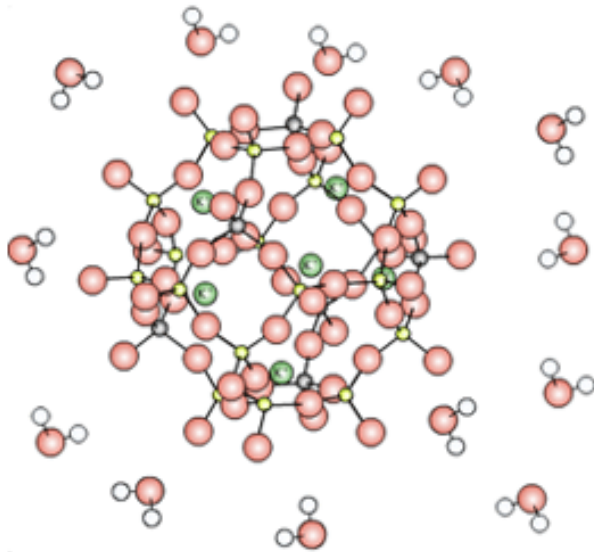
Zerfall organischer Substanz



CO₂ Partialdruck im Bodengas kann den in der Atmosphäre um 2 Größenordnungen übersteigen → Porenlösungen saurer als Oberflächenwässer → Kaolinitminerale

Chem. Verwitterung: Hydrolyse

- **Hydrolyse** bezieht sich auf Reaktionen bei denen eine (oder beide) der O-H Bindungen des Wassers bricht.
- Die Hydrolyse gehört zu den wichtigsten Reaktion der chemischen Verwitterung. Triebkraft dieser Verwitterungsart ist die Reaktion eines Minerals mit den Wassermolekülen bzw. H⁺-Ionen der Lösung, die sich an die Grenzflächenionen von Kristallen anlagern und Kationen (z.B. K) aus dem Kristallgitter ersetzen:



Orthoklas, umgeben von Wassermolekülen

Wichtiger Schritt bei der Hydrolyse ist die Dissoziation von Wasser zu H⁺ und OH⁻.

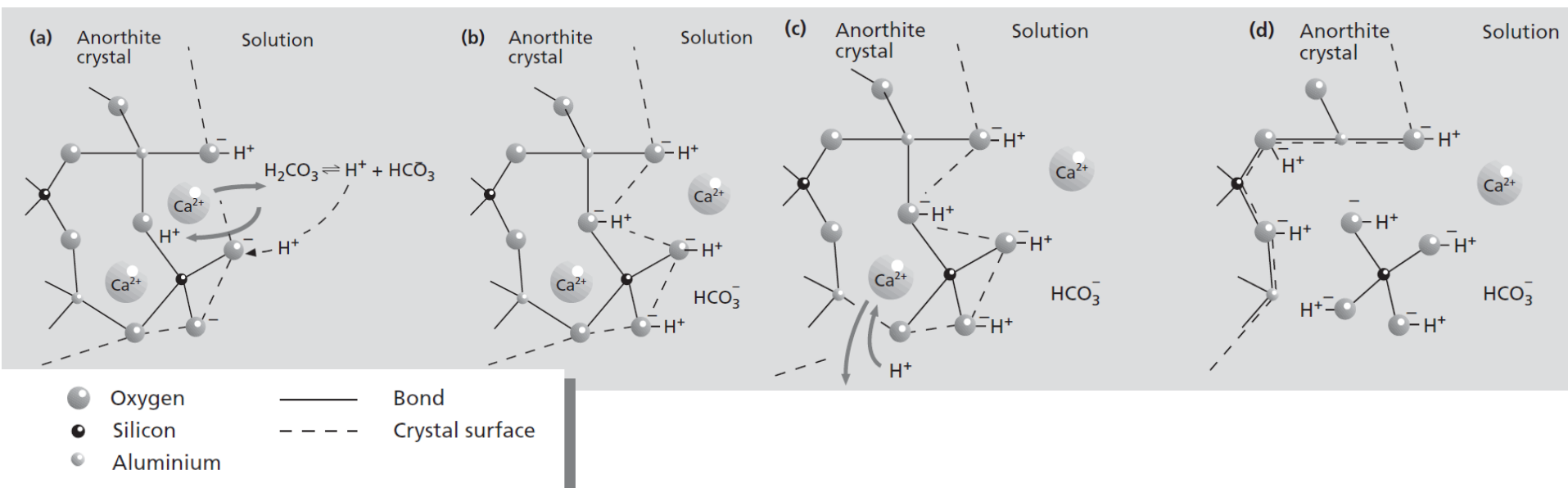
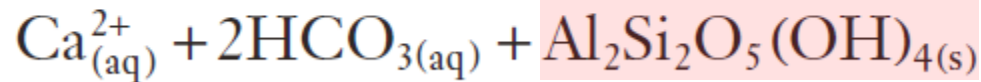
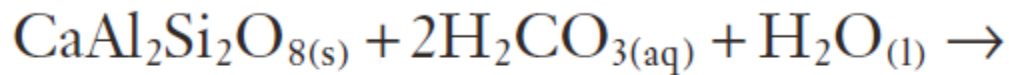
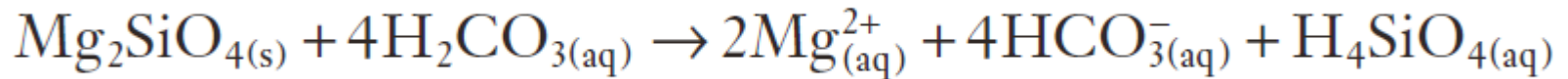
Der Betrag der Hydrolyse nimmt mit sinkendem pH und steigender Temperatur zu, was zu einem vermehrten Abbau des Kalifeldspats führt.



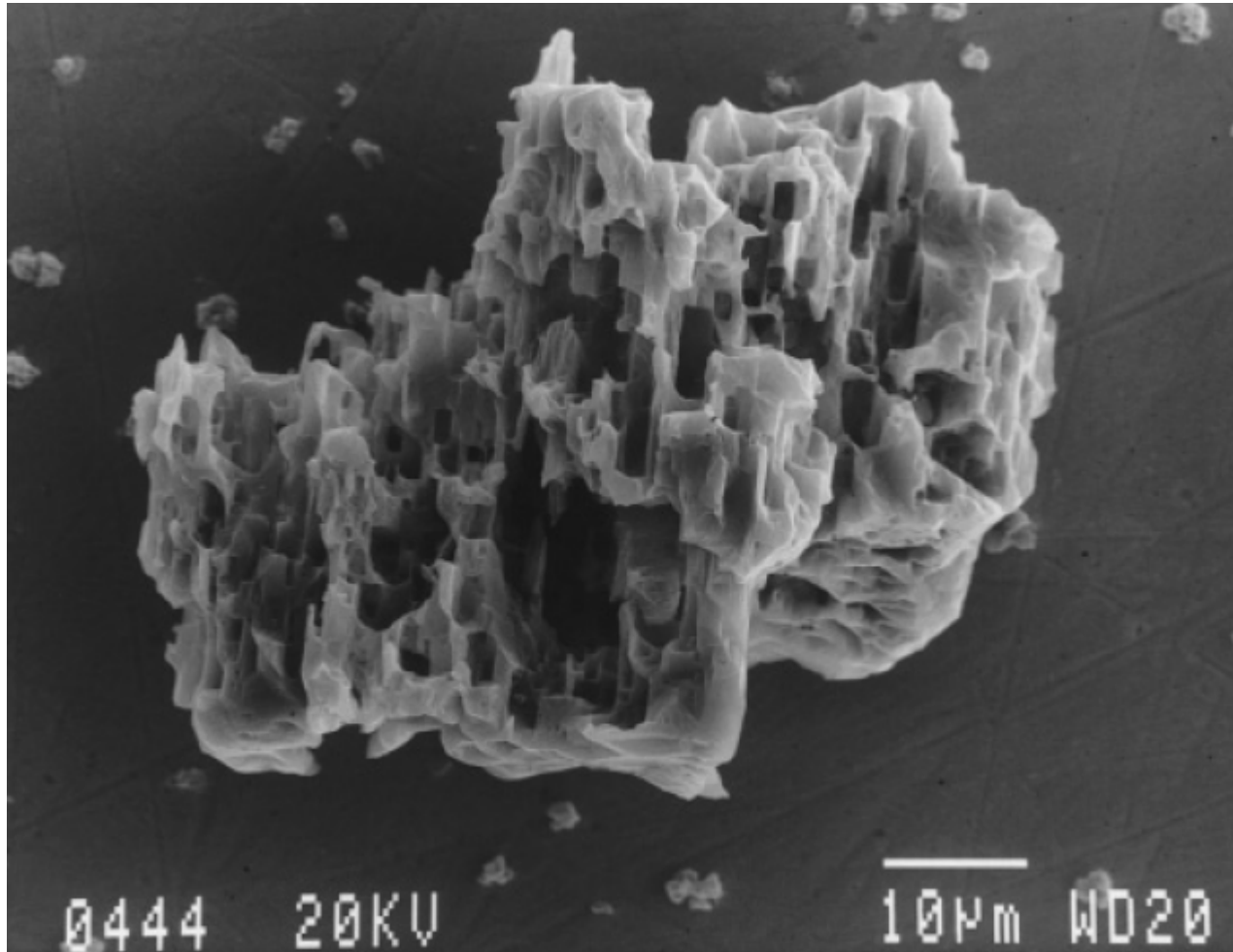
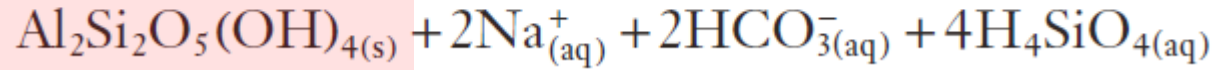
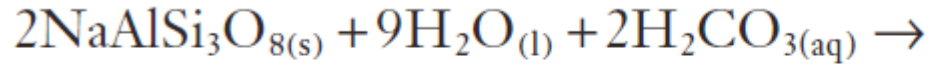
Chem. Verwitterung: Saure Hydrolyse

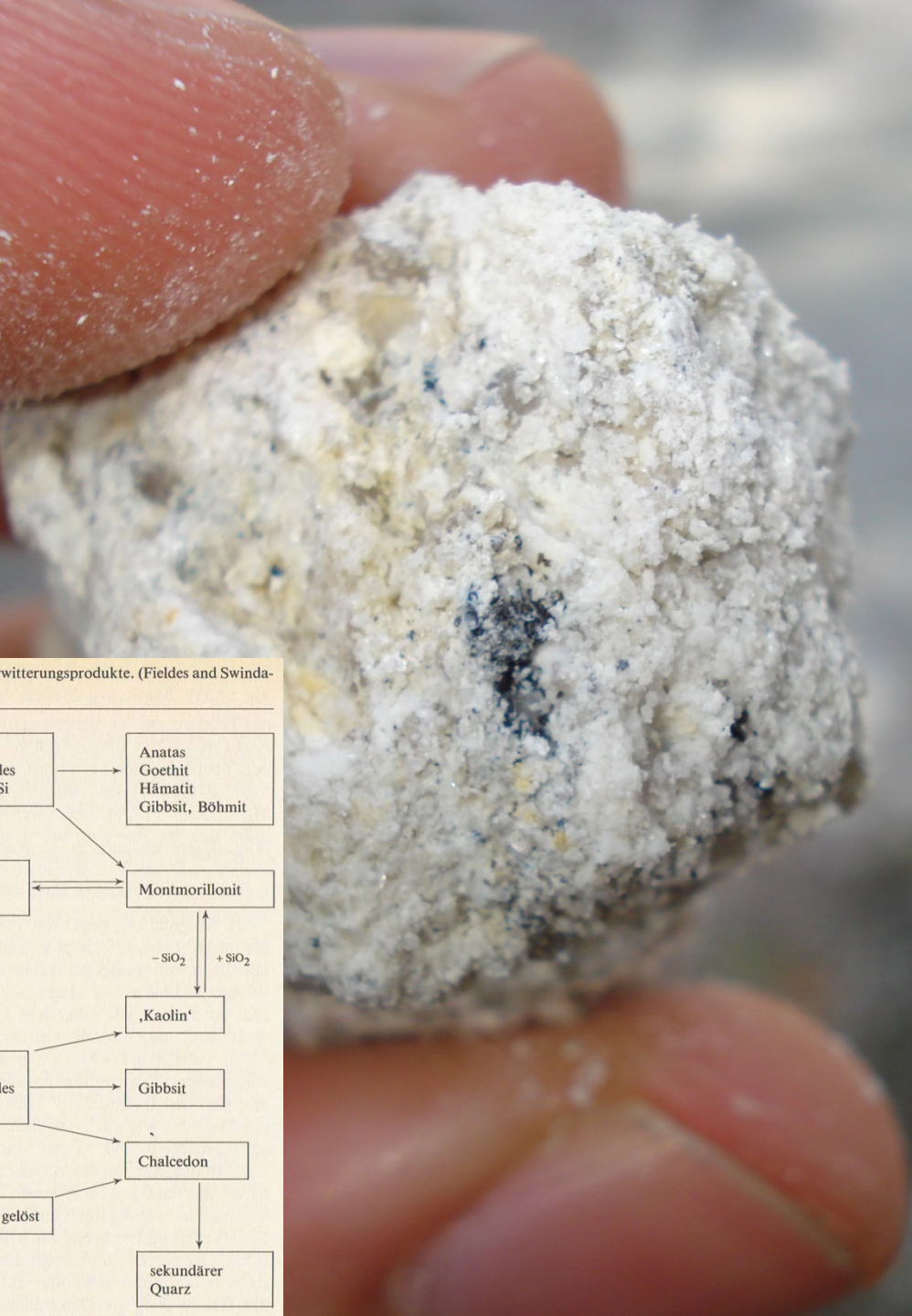


CO₂ entsteht im Boden durch Organismen



Chem. Verwitterung: Saure Hydrolyse, Albit





Verwitterung und Klima

Mineralneubildungen:

Feucht-gemäßigte Klimazone:
siallitisch

Illit, Vermiculit, Montmorillonit,
Kaolinit, Halloysit

Feucht-tropische Klimazone:
allitisch

Gibbsit, Böhmit, Diaspor,
Kaolinit, Goethit, Hämatit

Verwitterungsprodukte. (Fielde and Swind-

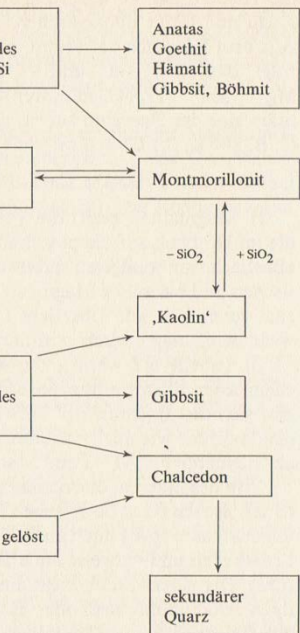
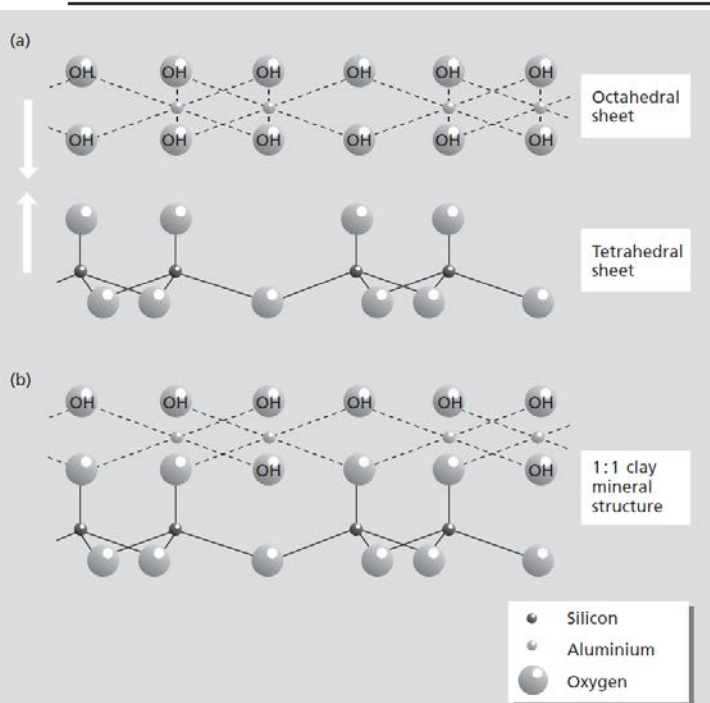


Table 4.5 Simplified classification of clay minerals. After Martin *et al.* (1991) with kind permission from the Clay Minerals Society.

Layer type	Group	Common minerals	Octahedral character	Interlayer material
1:1	Serpentine–kaolin	Kaolinite	Di octahedral	None
2:1	Smectite	Montmorillonite	Di octahedral	Hydrated exchangeable cations
	True (flexible) mica	Biotite	Tri octahedral	Non-hydrated monovalent cations
	Chlorite	Chamosite	Tri octahedral	Hydroxide sheet



Kaolinitstruktur

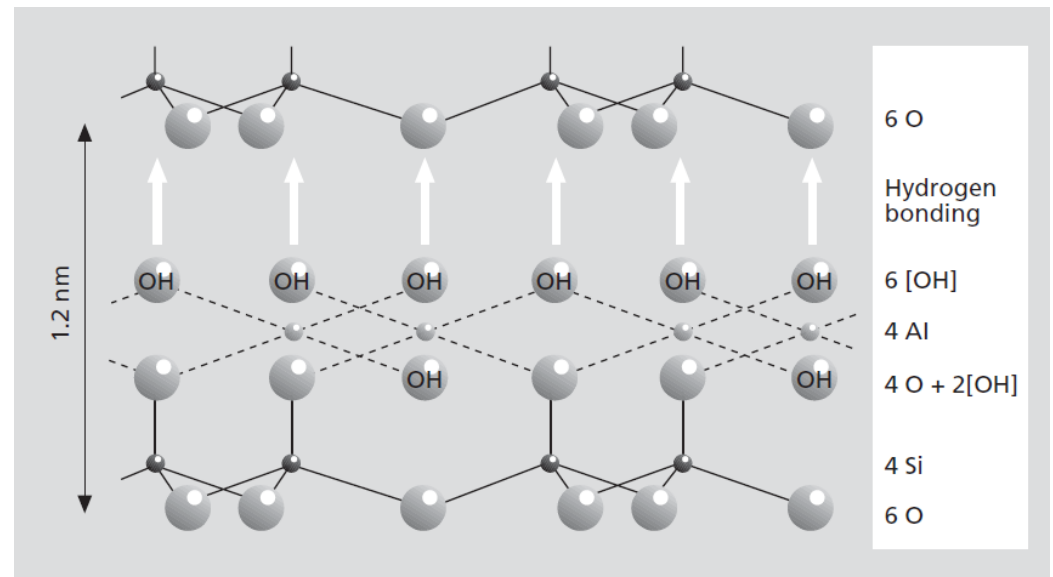
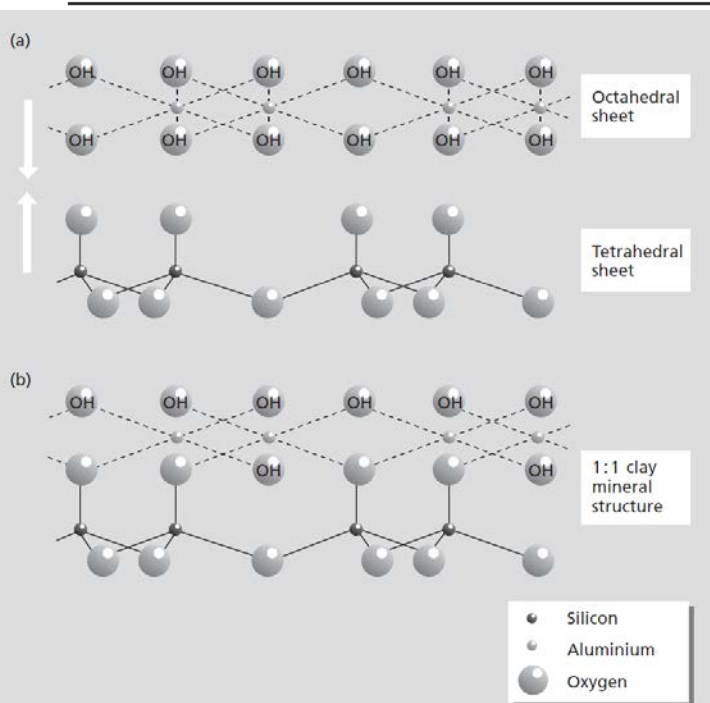
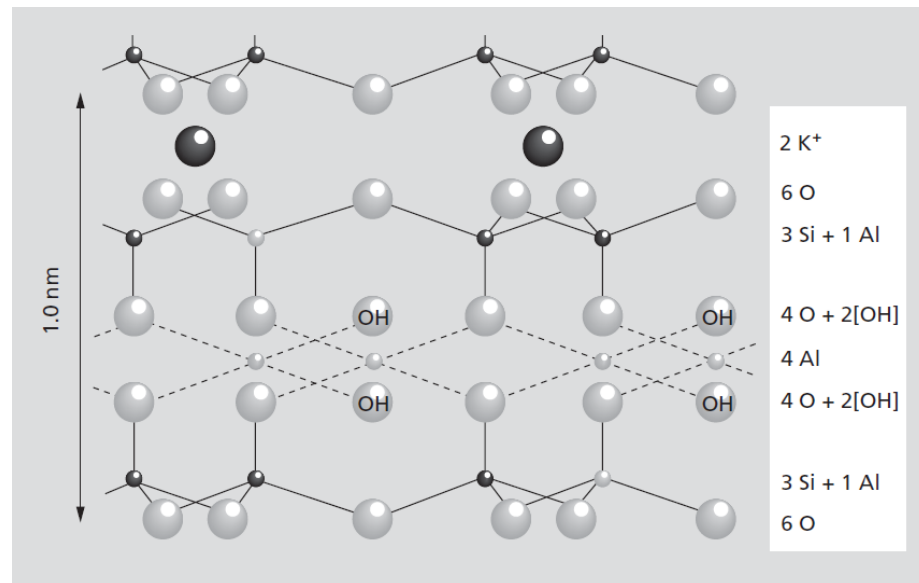


Table 4.5 Simplified classification of clay minerals. After Martin *et al.* (1991) with kind permission from the Clay Minerals Society.

Layer type	Group	Common minerals	Octahedral character	Interlayer material
1:1	Serpentine-kaolin	Kaolinite	Di-octahedral	None
2:1	Smectite	Montmorillonite	Di-octahedral	Hydrated exchangeable cations
	True (flexible) mica	Biotite	Tri-octahedral	Non-hydrated monovalent cations
	Chlorite	Chamosite	Tri-octahedral	Hydroxide sheet



Muskovitstruktur



Bodenbildung

$$S = f(G, E, B) dt$$

Faktoren:

G = Geologie

E = Umwelt

B = Biologie

$$S = f(a, k, r, v, o) dt$$

Schlüsselfaktoren:

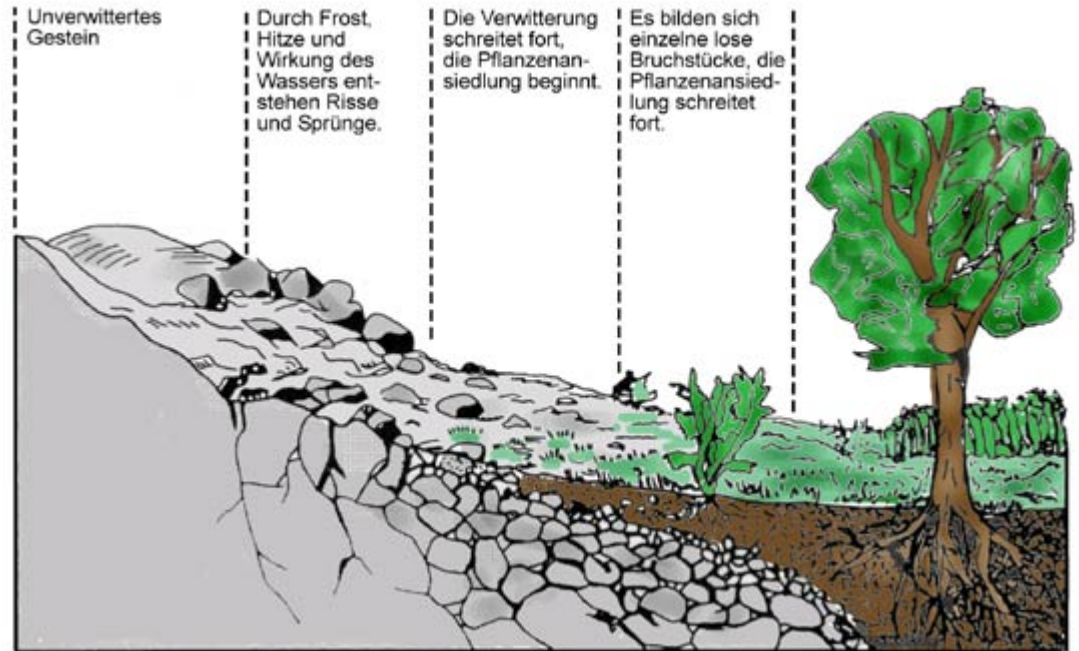
a = Ausgangsgestein

k = Klima

r = Relief

v = Vegetation

o = Organismen



Vegetation – organische Bodensubstanz

Böden enthalten etwa 5 % organisches Material,
SOM = soil organic matter (partikulär bzw. adsorptiv)

DOM = dissolved organic matter (gelöst)

Humus (Zellulose, Lignin) = Makromoleküle aus C, H, O, P, N und S

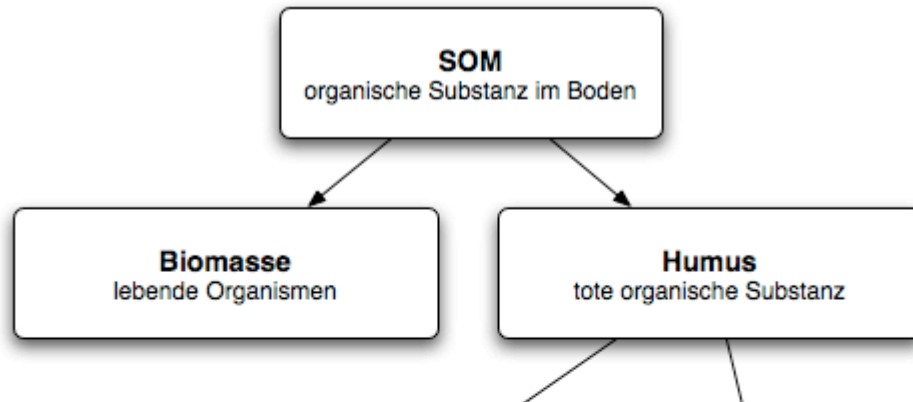
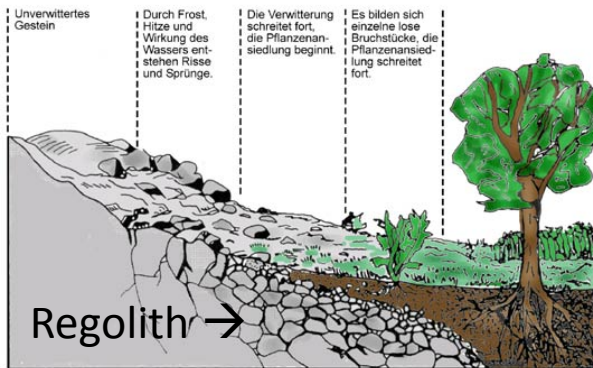
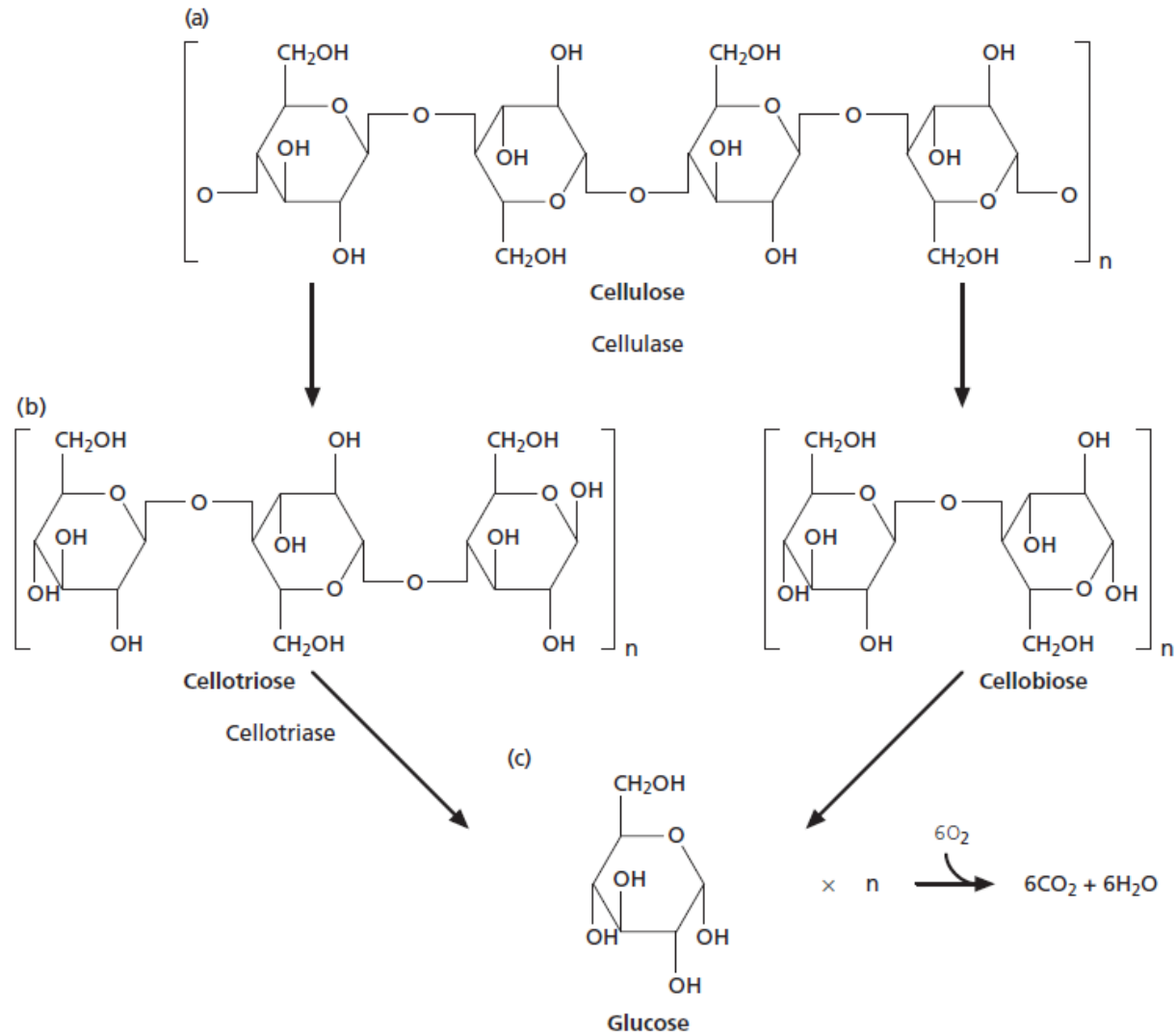


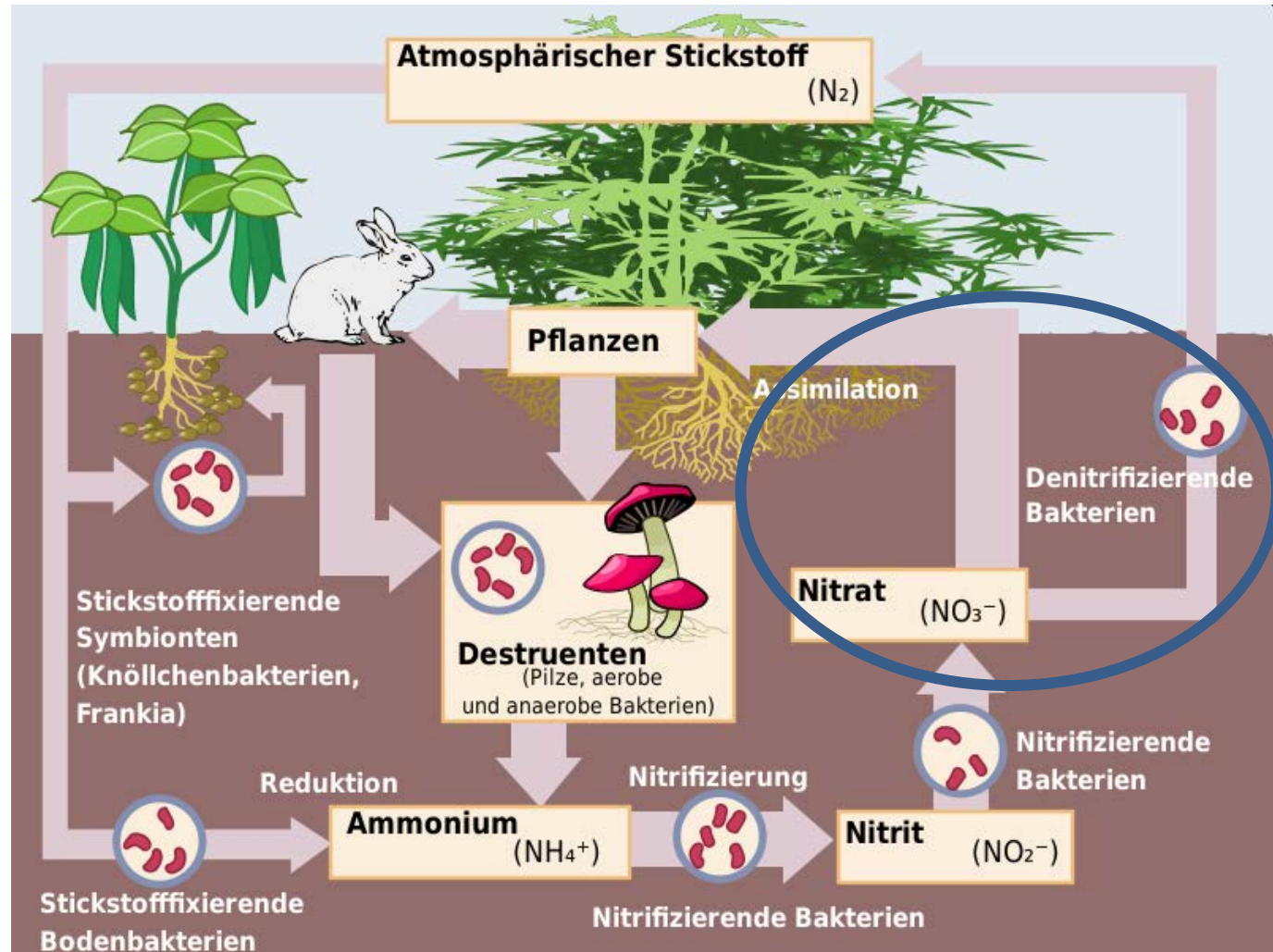
Table 4.6 Relative proportions of biopolymers in plant-derived soil organic matter.

Plant residues	Percentage in soils
Cellulose	50
Hemicelluloses	20
Lignin	15
Protein	5
Carbohydrates and amino acids	5
Pectin	1
Waxes and pigments	1

Aerober Abbau von Zellulose im Boden



Abbau organischer Substanz im Boden



Pilze
Bakterien
Actinomyzeten

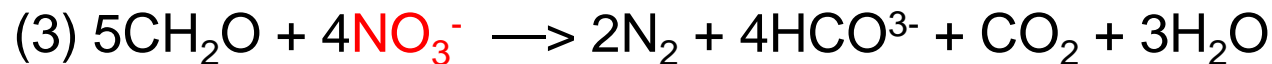
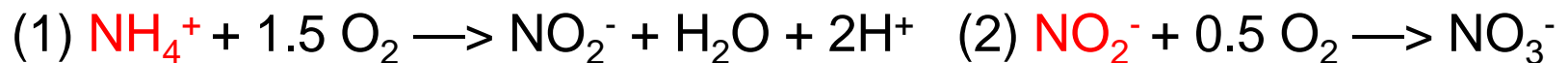


Table 4.7 Order of bacterial reactions during microbial respiration of organic matter based on energy yield. Modified from Berner (1980), reprinted by permission of Princeton University Press.

Bacterial reaction	ΔG° (kJ mol ⁻¹ of CH ₂ O)
<i>Aerobic respiration</i> : important in all oxygenated Earth surface environments	
$\text{CH}_2\text{O} + \text{O}_2 \rightarrow \text{CO}_2 + \text{H}_2\text{O}$	-475
<i>Denitrification</i> : most important in terrestrial and marine environments impacted by anthropogenic inputs from fertilizers	
$5\text{CH}_2\text{O} + 4\text{NO}_3^- \rightarrow 2\text{N}_2 + 4\text{HCO}_3^- + \text{CO}_2 + 3\text{H}_2\text{O}$	-448
<i>Manganese reduction</i> : minor reaction important in some marine sediments	
$\text{CH}_2\text{O} + 3\text{CO}_2 + \text{H}_2\text{O} + 2\text{MnO}_2 \rightarrow 2\text{Mn}^{2+} + 4\text{HCO}_3^-$	-349
<i>Iron reduction</i> : can be significant in some soils and marine sediments with high iron contents from contamination or weathering flux (e.g. Amazon Delta)	
$\text{CH}_2\text{O} + 7\text{CO}_2 + 4\text{Fe}(\text{OH})_3 \rightarrow 4\text{Fe}^{2+} + 8\text{HCO}_3^- + 3\text{H}_2\text{O}$	-114
<i>Sulphate reduction</i> : major process in anaerobic marine sediments, especially on continental shelves	
$2\text{CH}_2\text{O} + \text{SO}_4^{2-} \rightarrow \text{H}_2\text{S} + 2\text{HCO}_3^-$	-77
<i>Methanogenesis</i> : important process in freshwater wetlands, waterlogged soils and in deeply buried low-sulphate marine sediments	
$2\text{CH}_2\text{O} \rightarrow \text{CH}_4 + \text{CO}_2$	-58

Note: Free energy value for organic matter (CH₂O) is that of sucrose.

Reisfelder: Schornsteine für Methan

Für etwa 10 bis 25 Prozent der weltweiten Methan-Emissionen sind Mikroorganismen in den Böden gefluteter Reisfelder verantwortlich. Kohlenstoff für das Methan stammt hauptsächlich aus Wurzeln und Pflanzenresten.



In überschwemmten Reisfeldern tummeln sich Bakterien im Schlamm.

Je länger die Felder überflutet sind, desto geringer sind die Konzentrationen von Sauerstoff und desto mehr Methan wird produziert.

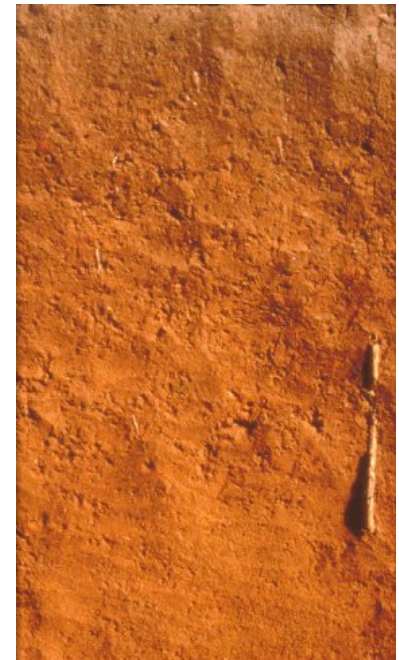
Vertisols swelling clay soil. Through shrinking and swelling deep cracking; soil material consistently mixes itself



Table 4.8 Mobility of different chemical species in relation to rock weathering. Modified from Polynov (1937).

	Species	Mobility*	Comments [†]
Group I	Cl ⁻	100	Soluble anions easily leached by water
	SO ₄ ²⁻	57	
Group II	Ca ²⁺	3.00	Relatively soluble cations, easily leached by water
	Na ⁺	2.40	
	Mg ²⁺	1.30	
	K ⁺	1.25	
Group III	SiO ₂	0.20	Relatively insoluble element, typically present as quartz grains
Group IV	Fe ₂ O ₃	0.04	Highly insoluble elements present as Fe and Al oxides
	Al ₂ O ₃	0.02	

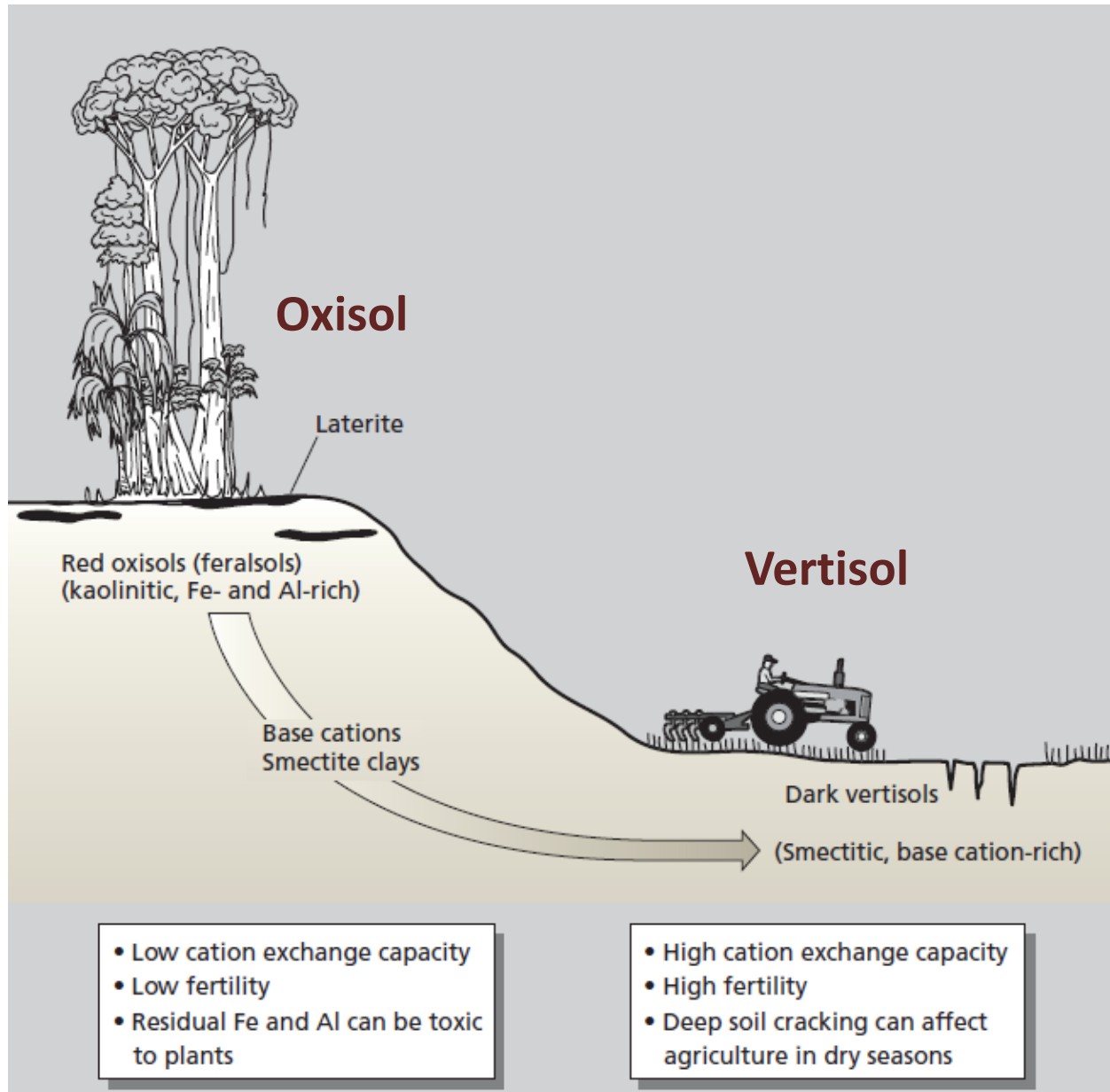
* Most mobile = 100.



Oxisols (ferralsols and laterite soils) occur in tropical rain forest, 15-25 degrees north and south of the equator



Bodenwelten: Tropische Böden



Chemical Index of Alteration: CIA

$$\text{CIA} = \text{Al}_2\text{O}_3 / (\text{Al}_2\text{O}_3 + \text{CaO}^* + \text{Na}_2\text{O} + \text{K}_2\text{O}) \times 100$$

Table 4.9 Chemical index of alteration (CIA) values for various crustal materials. Data from Nesbitt and Young (1982), Maynard *et al.* (1991) and Taylor and McLennan (1985).

Material	CIA
<i>Clay minerals</i>	
Kaolinite	100
Chlorite	100
Illite	75–85
Smectite	75–85
<i>Other silicate minerals</i>	
Plagioclase feldspar	50
Potassium feldspar	50
Muscovite mica	75
<i>Sediments</i>	
River Garonne (southern France) suspended load	75*
Barents Sea (silt)	65*
Mississippi delta average sediment	64*
Amazon delta muds	70–75
Amazon weathered residual soil clay	85–100
<i>Rocks</i>	
Average continental crust (granodiorite)	50
Average shales	70–75
Basalt	30–40
Granite	45–50

Value calculated using total CaO rather than CaO (see text).

CIA values among the rivers from different continents

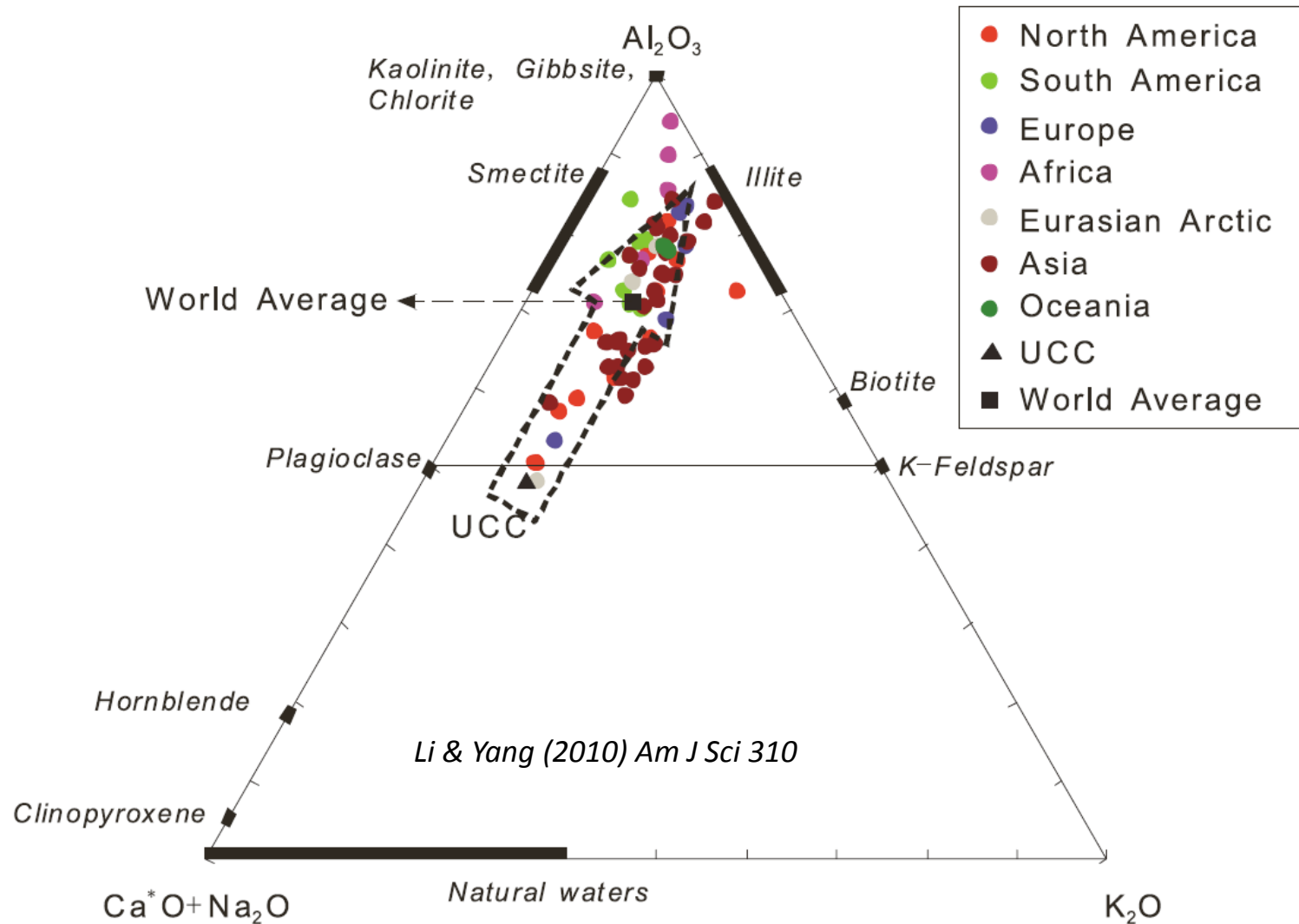
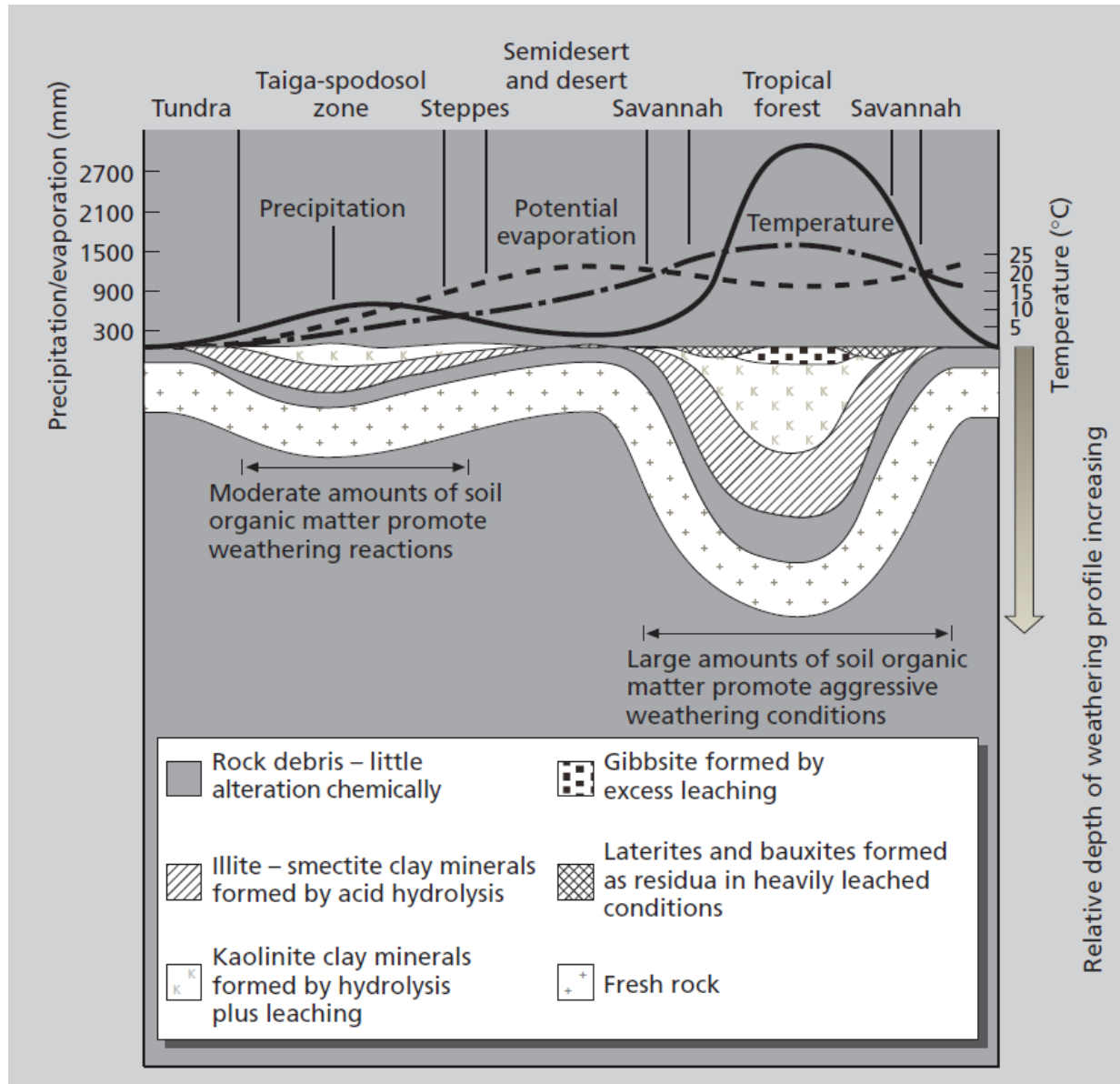
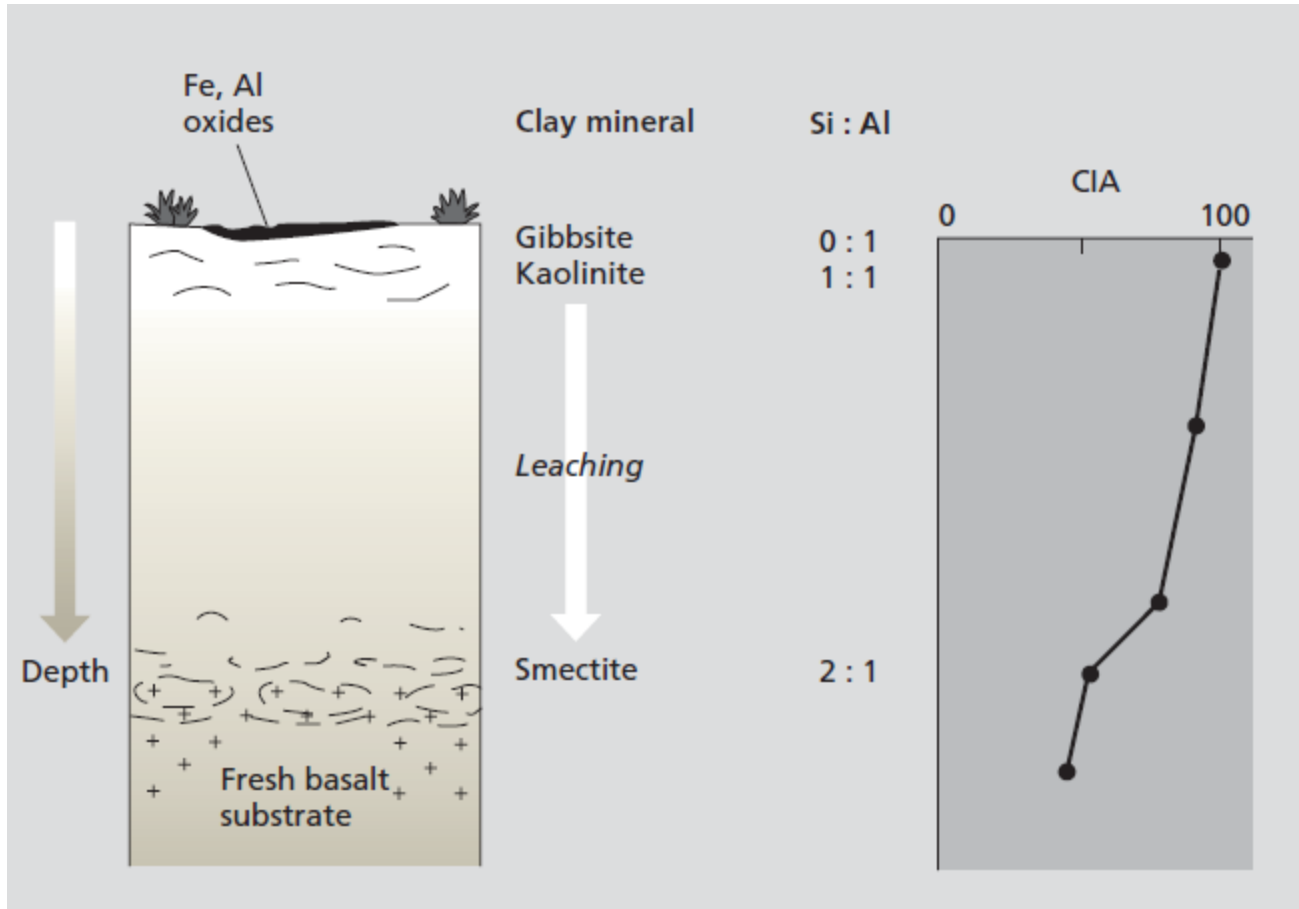


Fig. 3. The A-CN-K diagram of global rivers. Note that most of the investigated rivers show the similar weathering trend in parallel with the A-CN line.

Zusammenhang zwischen Klima, Verwitterung und Tonmineralneubildungen



Basaltverwitterung

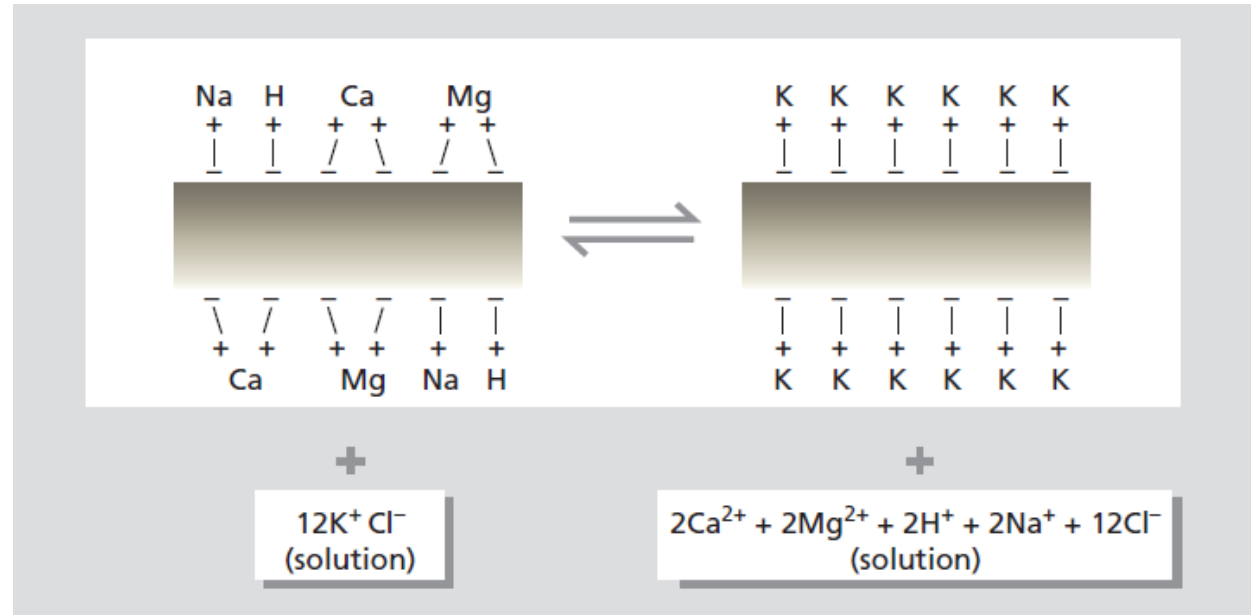


Bodenkolloide & Ionenaustauschkapazität

Bodenpartikel der mineralischen und organischen Bodensubstanz sind an ihren Oberflächen elektrisch geladen.

Tonminerale und Huminstoffe sind wesentliche Ladungsträger und Ionenaustauscher.

Negative Ladungen überwiegen.

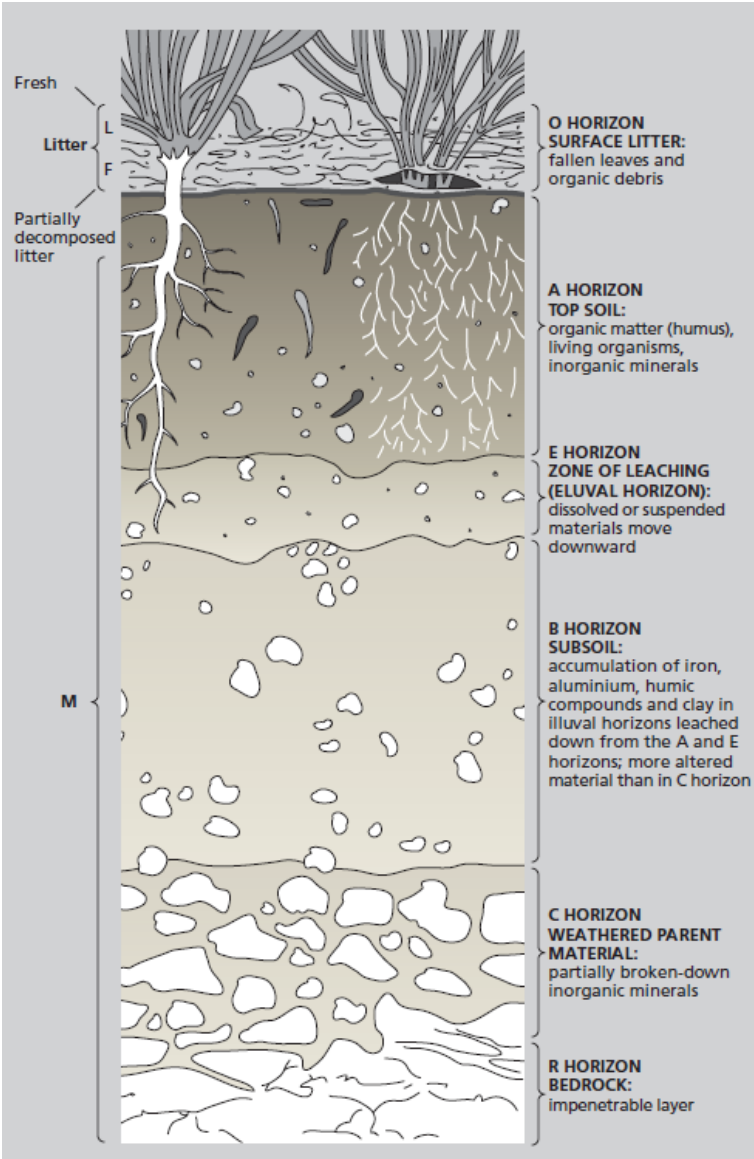


CEC = cation exchange capacity (microäquivalente pro g)

Non-clay materials	CEC
Quartz, feldspars	1-2
Hydrous oxides of Al and Fe	4
Organic matter	150-500

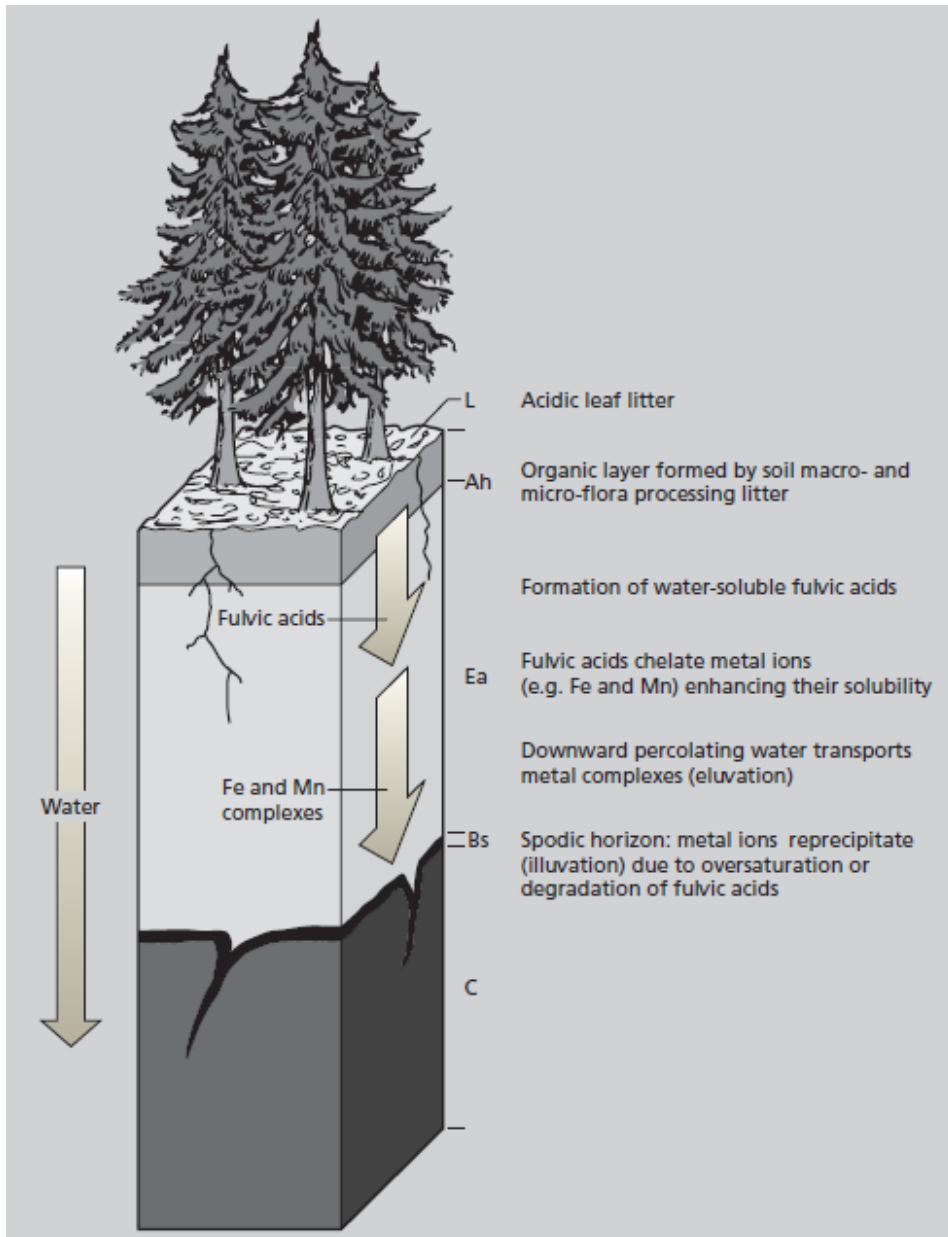
Clay minerals	CEC	Cation exchange site
Kaolinite	3-15	Edge effects
Illite	10-40	Mainly edge effects, plus some interlayer
Chlorite	10-10	
Smectite	80-150	Mainly interlayer plus some edge effects

Bodenhorizonte



Podzolböden

entstehen auf sauren Ausgangsgesteinen wie Buntsandstein, Granit oder Flugsanden (Heideböden).



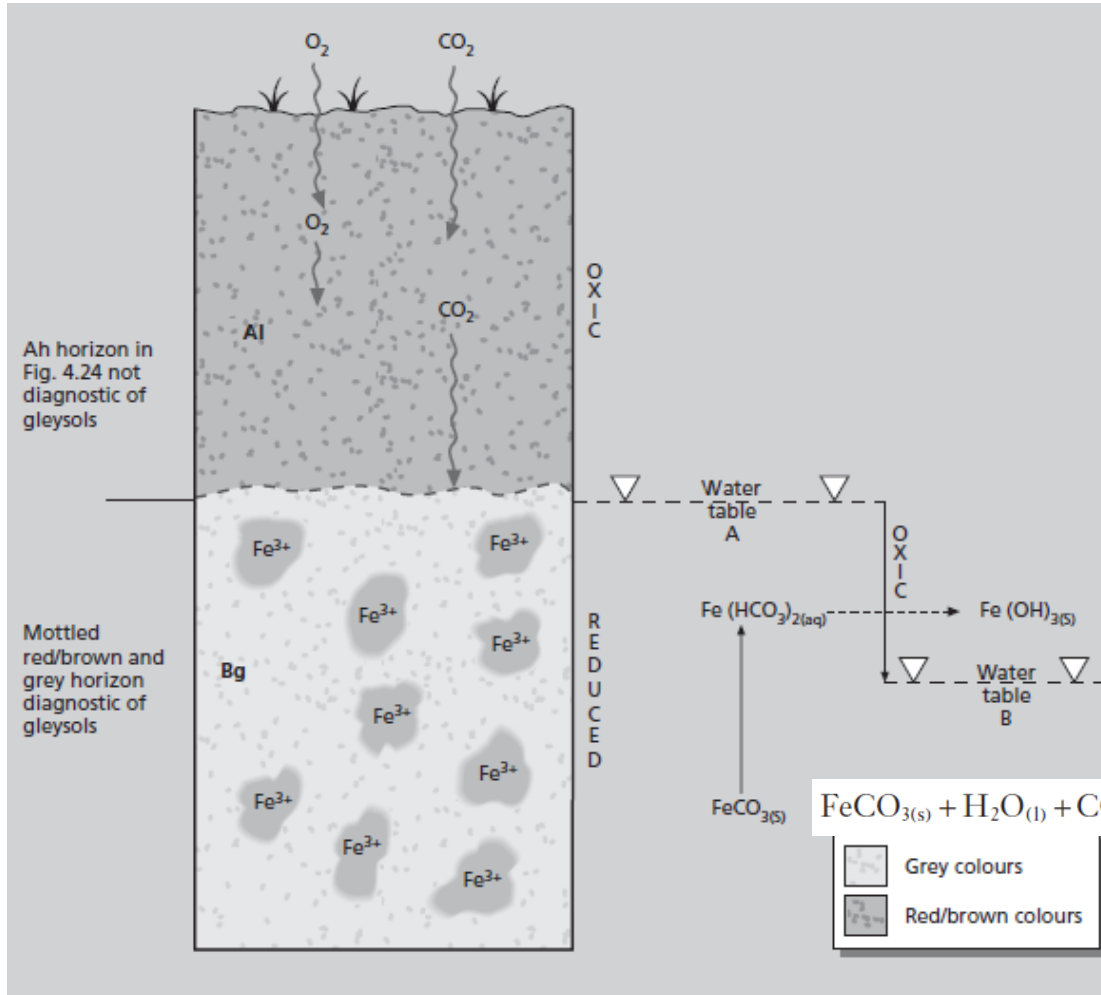
ausgebleichter,
aschgrauer Horizont,
(Nährstoffe ausgewaschen)

Ortstein (schwarz)

Anreicherungshorizont
(ockerbraun)

Grundwasserböden (Gley)

Grundwasserböden sind in der Tiefe ständig mit Wasser gesättigt. Grundwasser führt gelöste Stoffe (Fe) heran und reichert diese in den oberen Bodenhorizonten an

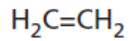


Es entstehen rostfleckige, Oxidations-Horizonte (Go)

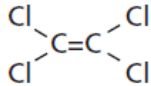
Im Unterboden Sauerstoffmangel → Reduktion des Eisens
 charakteristische, bläulich-graue "Reduktionsfarben" (Gr)

Schadstoffe in Böden

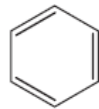
Beispiele für Schadstoffe in Böden



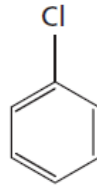
Ethene



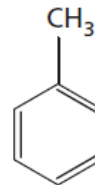
Tetra chloroethene



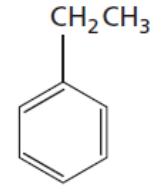
Benzene



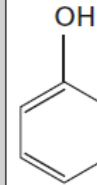
Chlorobenzene



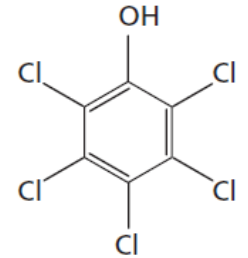
Toluene



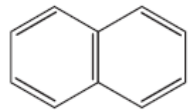
Ethyl benzene



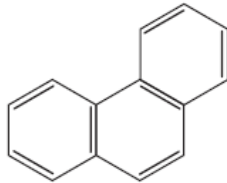
Phenol



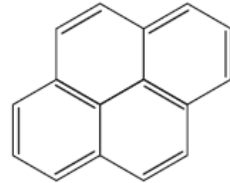
Pentachlorophenol



Naphthalene

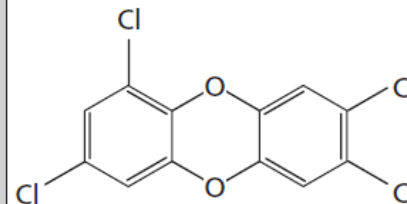


Phenanthrene

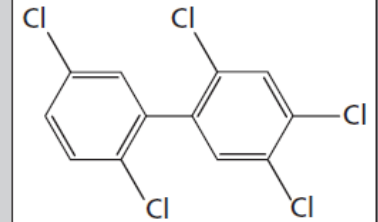


Pyrene

PAHs

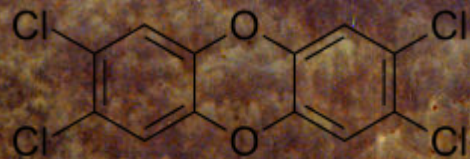


Polychlorinated dioxin

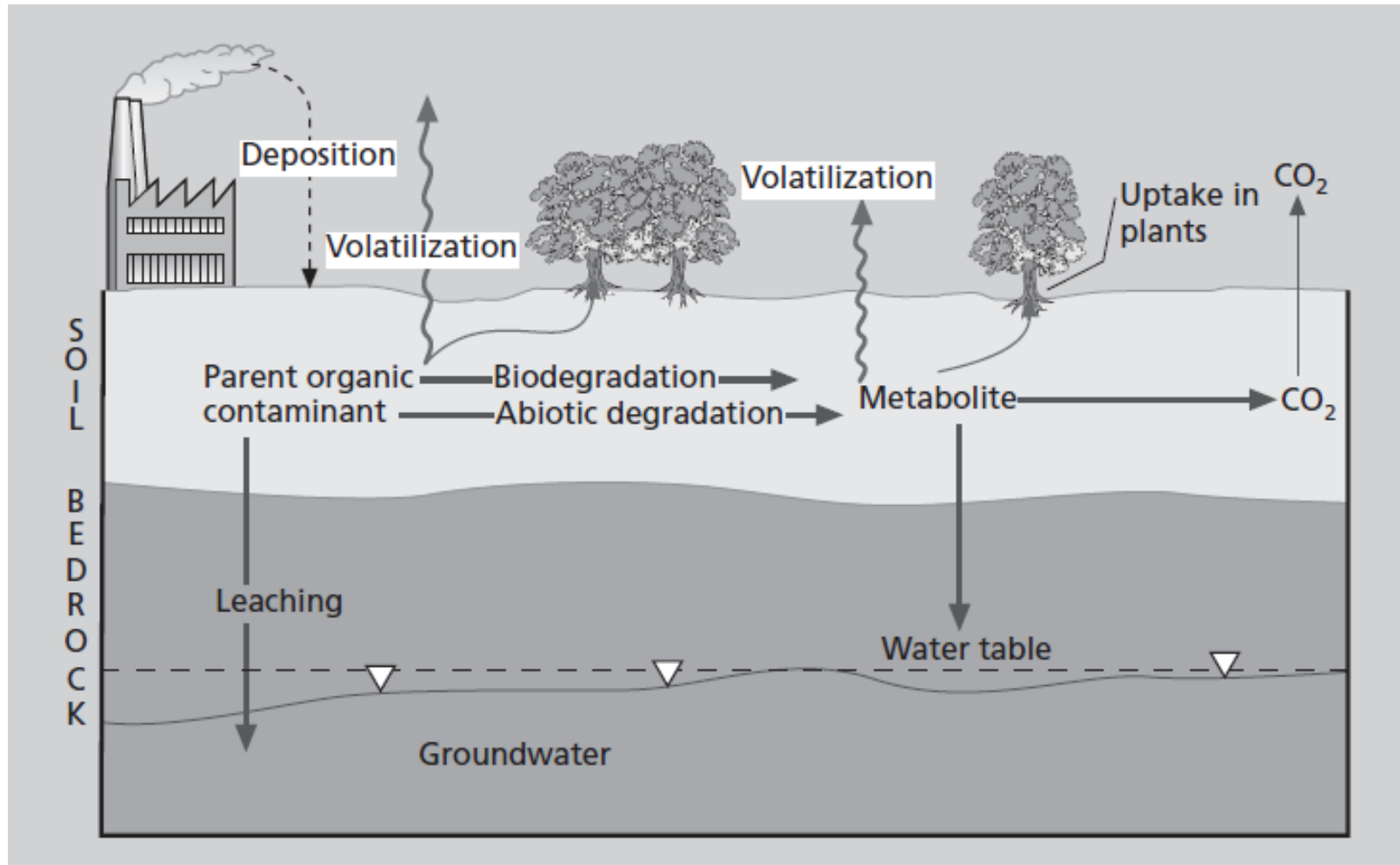


Polychlorinated biphenyl

PAHs = polyzyklische aromatische Kohlenwasserstoffe



Schadstoffe in Böden



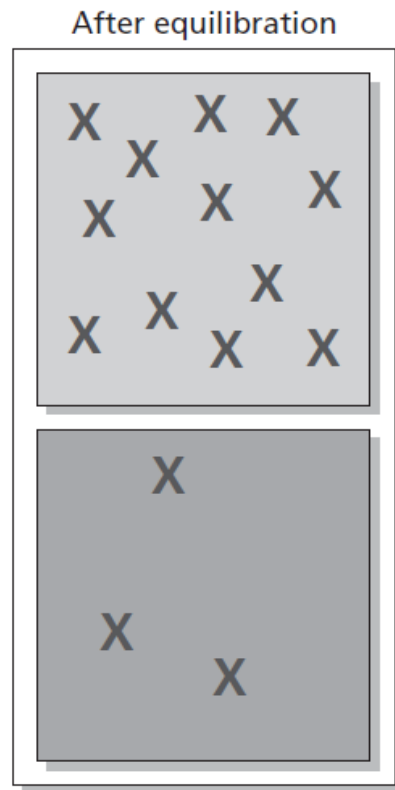
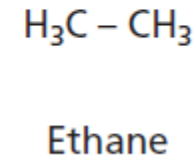
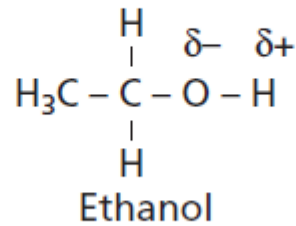
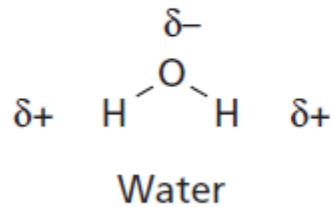
Dampfdruck → Volatilität
Löslichkeit → Polarität
Hydrophobe Eigenschaften

Schadstoff-Abbau

Biogen: Biodegradation

Abiogen: Hydrolyse, Reduktion, Oxidation, Photooxidation

Volatilität, Polarität, Löslichkeit, Hydrophobizität



Octanol
(12 Xs)

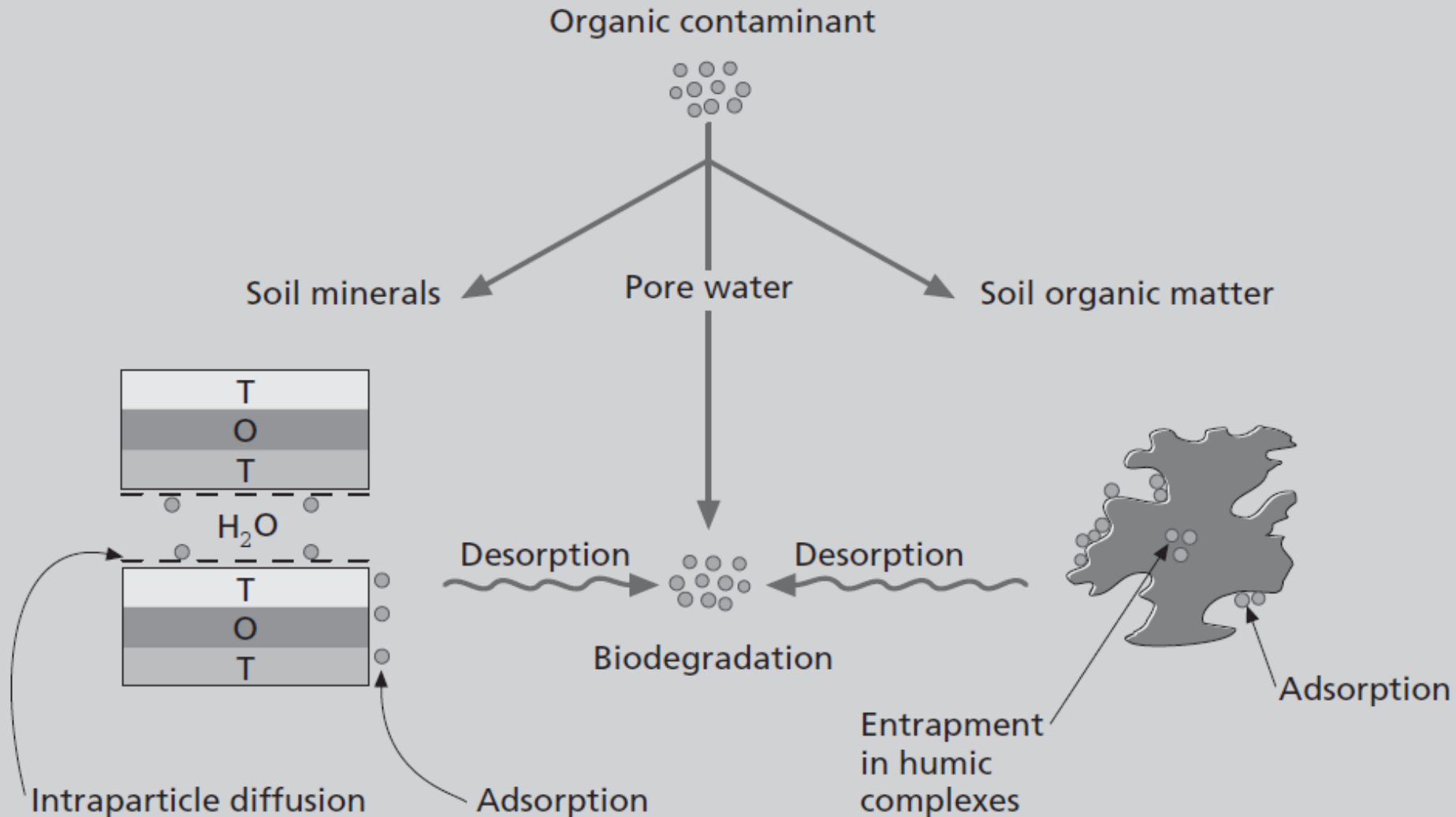
Water
(3 Xs)

$$K_{ow} = \frac{[\text{octanol}]}{[\text{water}]} = \frac{[12]}{[3]} = 4$$

$$\log K_{ow} = \log 4 = 0.60$$

X = Compound of interest

Abbau & Fixierung

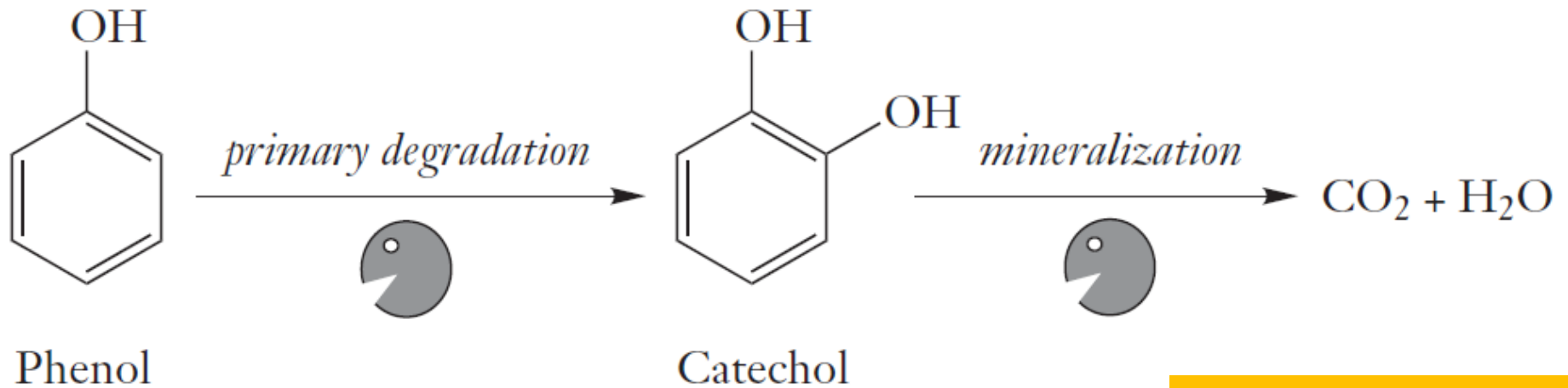


Biologische Verfügbarkeit und “ageing”



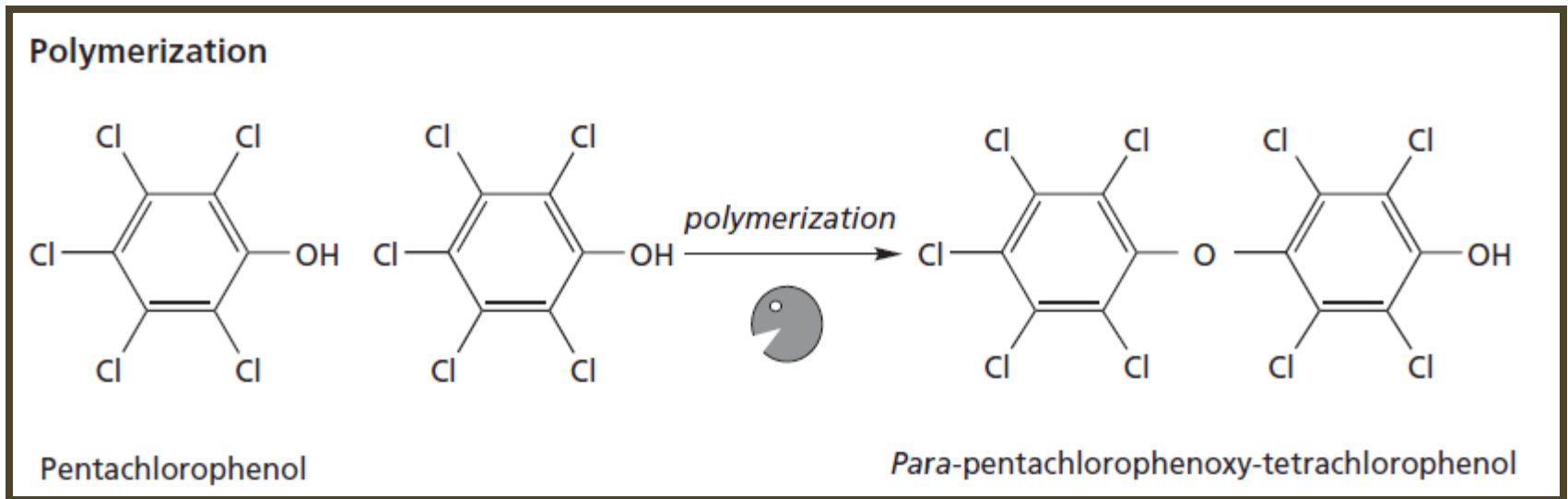
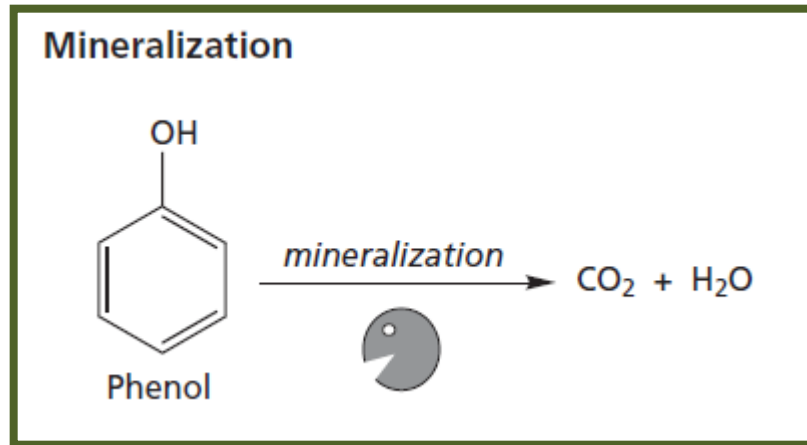
Recalcitrance – Renitenz

Biodegradation



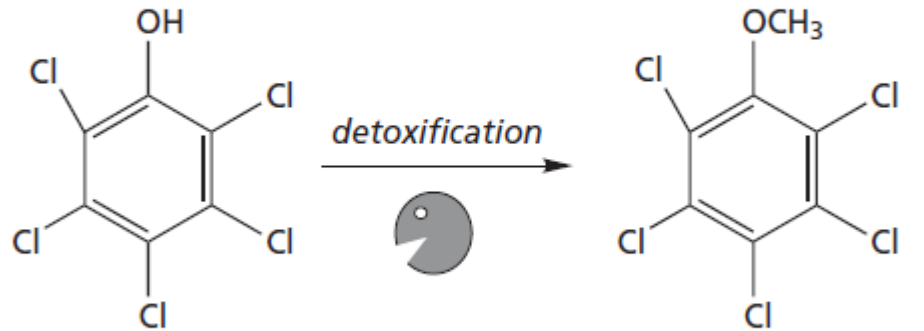
Aerob: $\text{CO}_2 + \text{H}_2\text{O}$
Anaerob: Etanol + CO_2

Biodegradative Prozesse



Biodegradative Prozesse

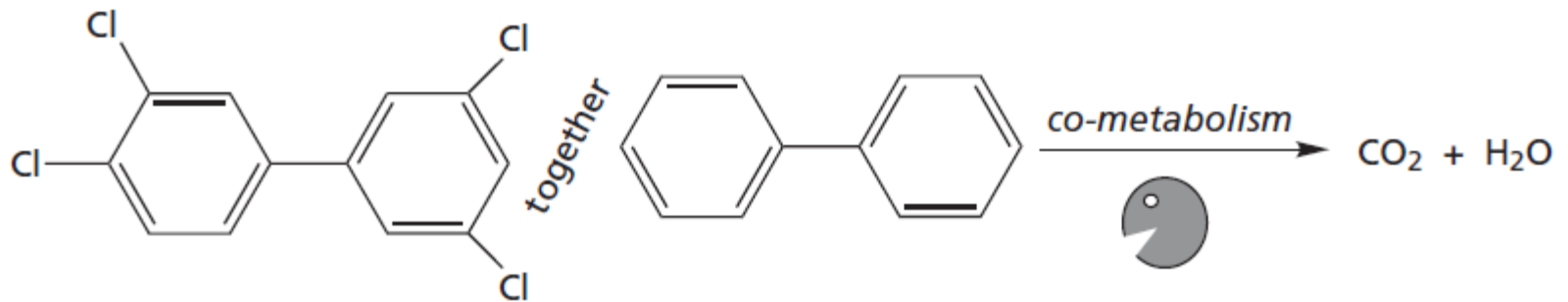
Detoxification



Pentachlorophenol

Pentachloroanisole

Co-metabolism

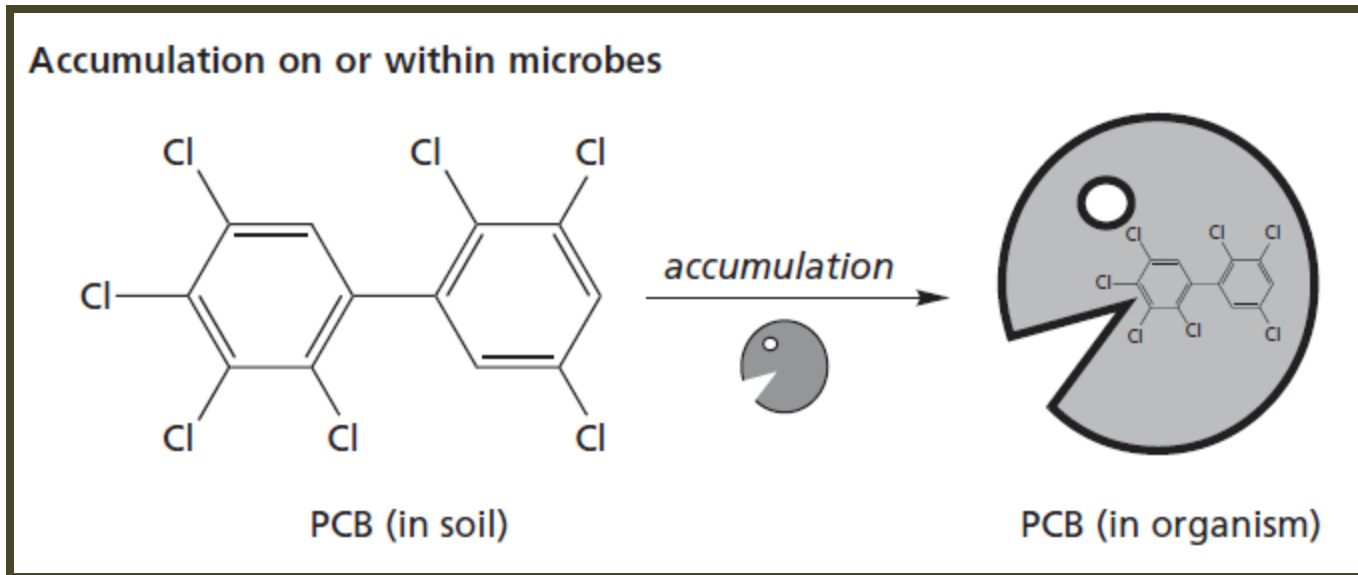


PCB

Biphenyl

$\text{CO}_2 + \text{H}_2\text{O}$

Biodegradative Prozesse



Remediation/ Sanierung

Bodensanierung



Thermische Vor-Ort-Sanierung

Bodensanierung mit Mikroorganismen

Bioremediation

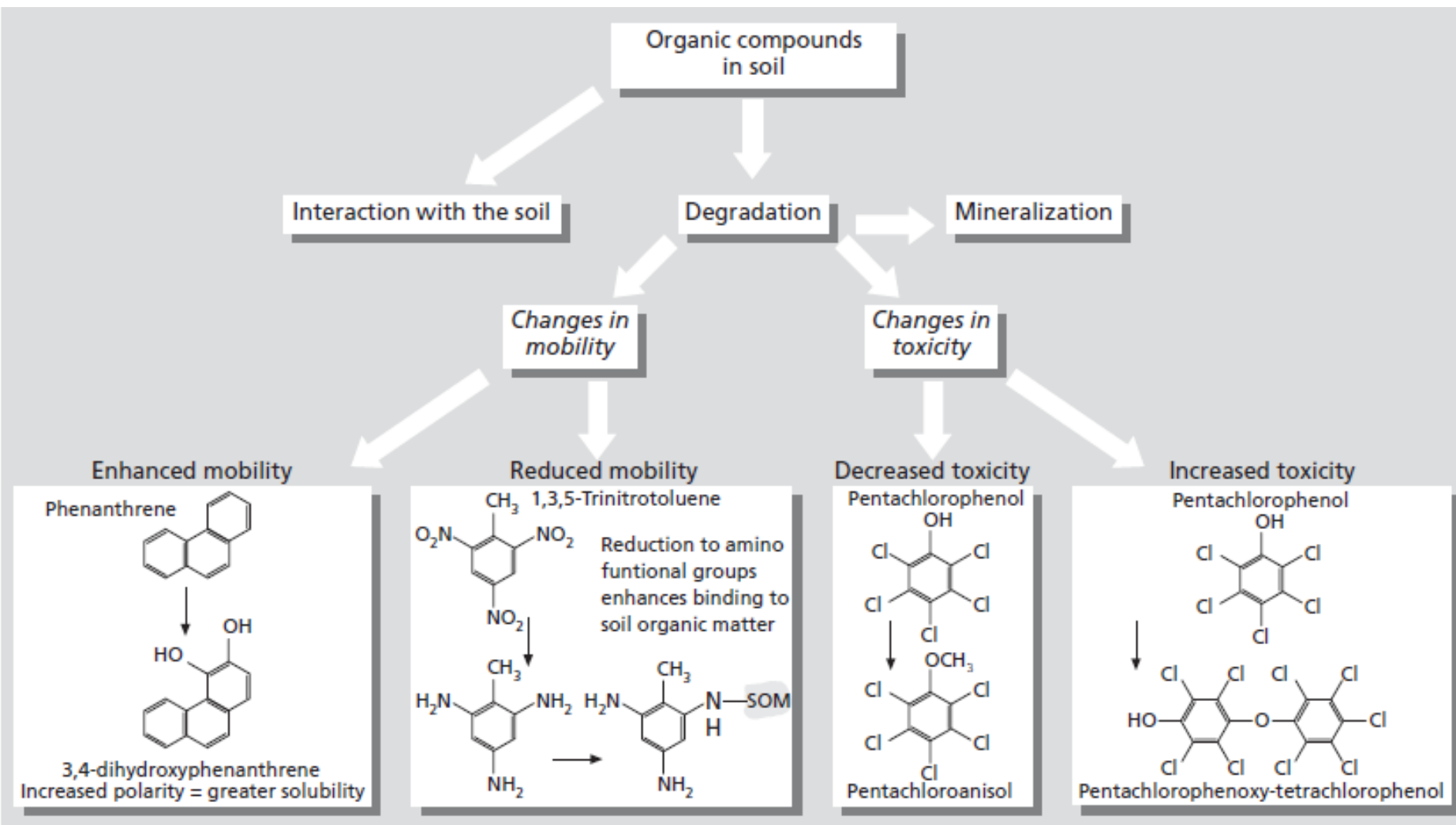
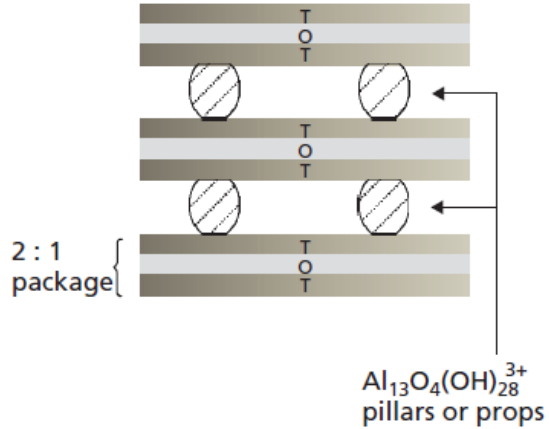


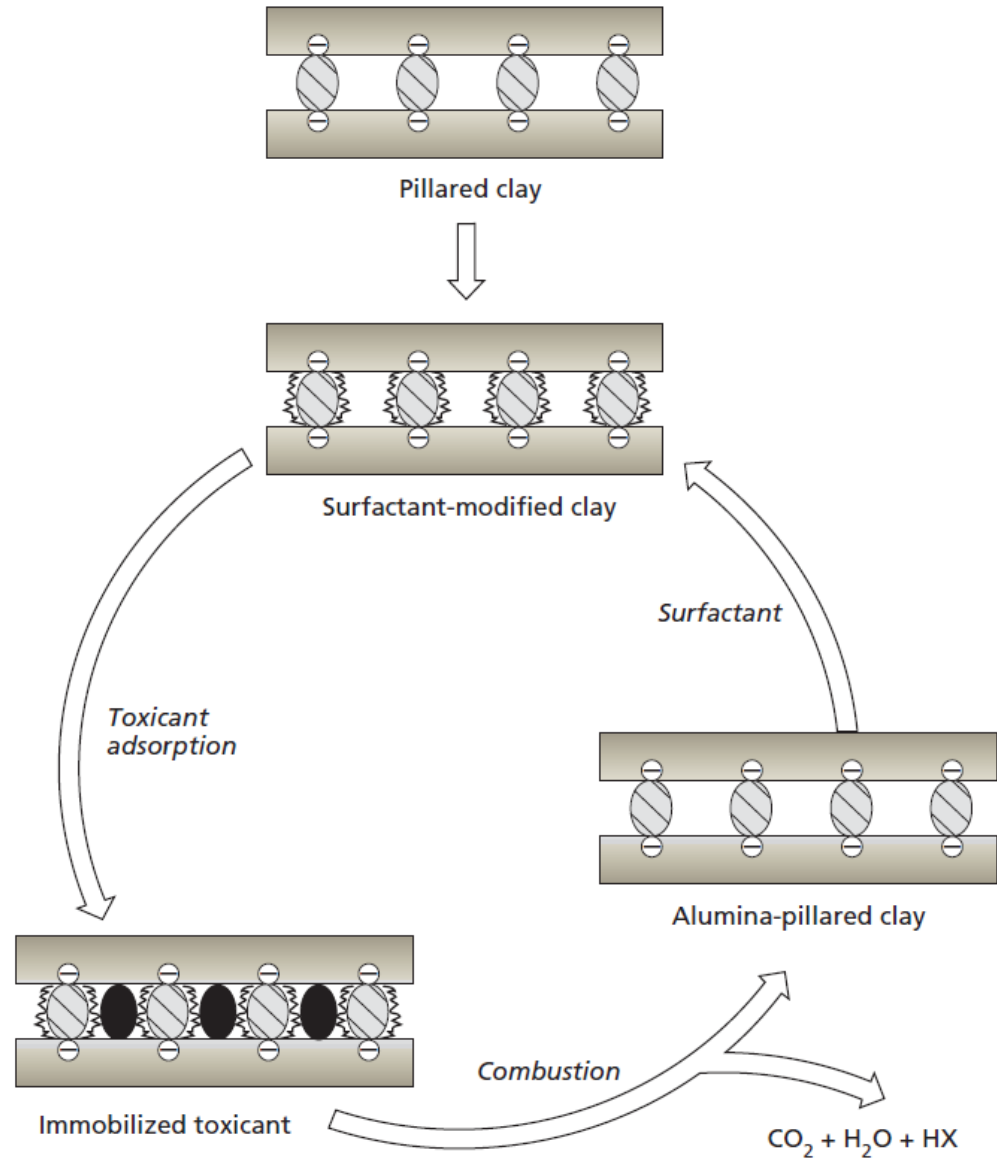
Fig. 4.30 Changes in toxicity and mobility of organic contaminants caused by biodegradation and biotransformation. SOM, soil organic matter.

Tonmineral Doping



Surfactant

Benetzungsmittel (Tensid),
z.B.: $\text{CH}_3(\text{CH}_2)_{16} - \text{COO}^- \text{Na}^+$



Sanierung: in-situ vs. ex-situ

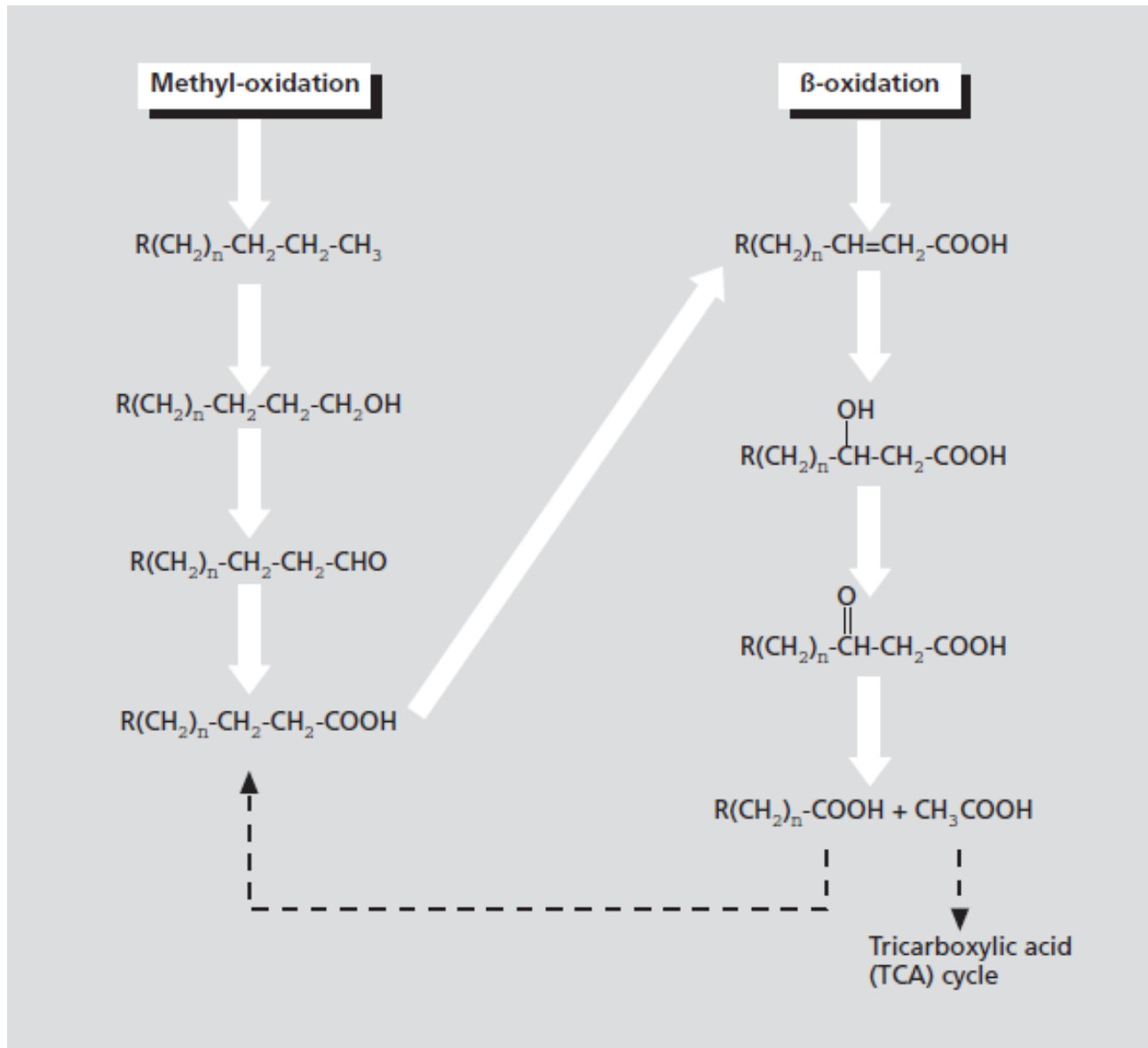
Table 4.11 Consideration of typical factors relating to *in situ* or *ex situ* treatment of contaminated land.

<i>In situ</i>	<i>Ex situ</i>
<i>For</i> Less expensive Creates less dust Causes less release of contaminants Treats larger volumes of soil	<i>Against</i> More expensive Creates dust during excavation May disperse contaminants Limited in scale—batches treated individually
<i>Against</i> Slower Difficult to manage Not suited to high clay soils or compacted sites	<i>For</i> Faster Easier to manage—ensure results Suited to a variety of sites including high clay and compacted sites

Bioremediation - marine Ölteppiche



Beispiel: Exxon Valdez 1989



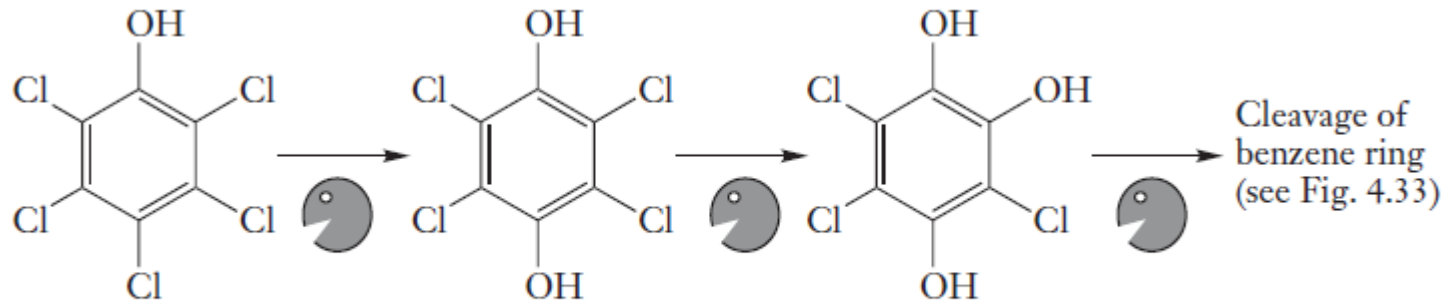


Sägewerke Finland

Ex-situ compost bioremediation



Chlorophenole



pentachlorophenol

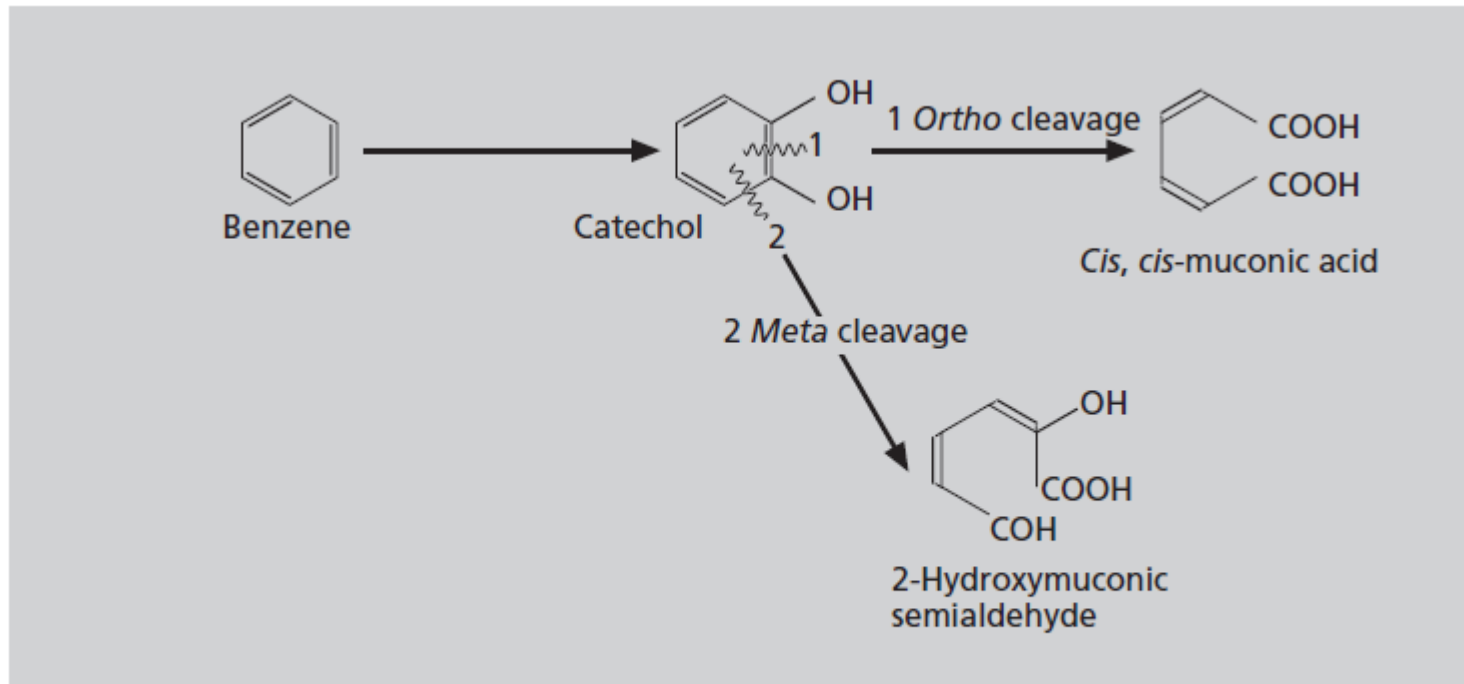


Fig. 4.33 Aerobic biodegradation pathways for benzene.

Kreosot-Kontaminationen

Burlington Northern

United States Environmental Protection Agency (EPA) Superfund site

Kreosot eingesetzt als
Holzschutzmittel für
Eisenbahnschwellen
und Telefonmasten.

Enthält zahlreiche
toxische Verbindungen
u.a. polyzyklische
aromatische
Kohlenwasserstoffe.



Kreosotentfernung im Bioreaktor

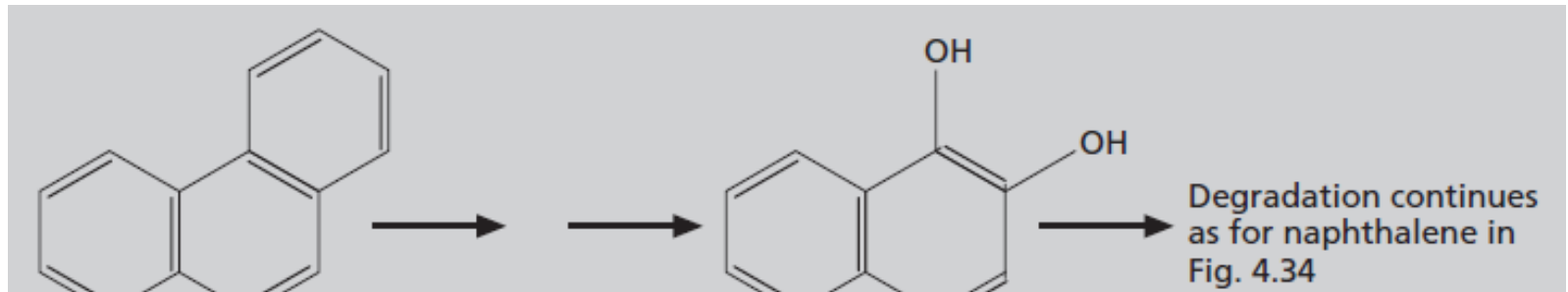
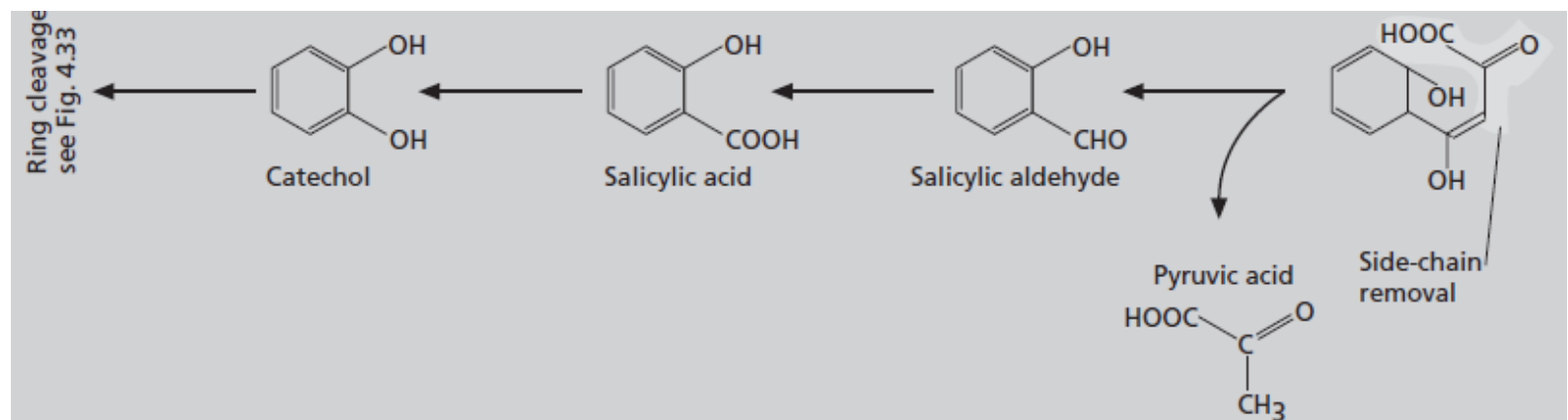


Table 4.12 Bioreactor remediation of creosote (PAH) contaminated soil, adapted from US Environmental Protection Agency technology demonstration sheet EPA/540/S5-91/009.

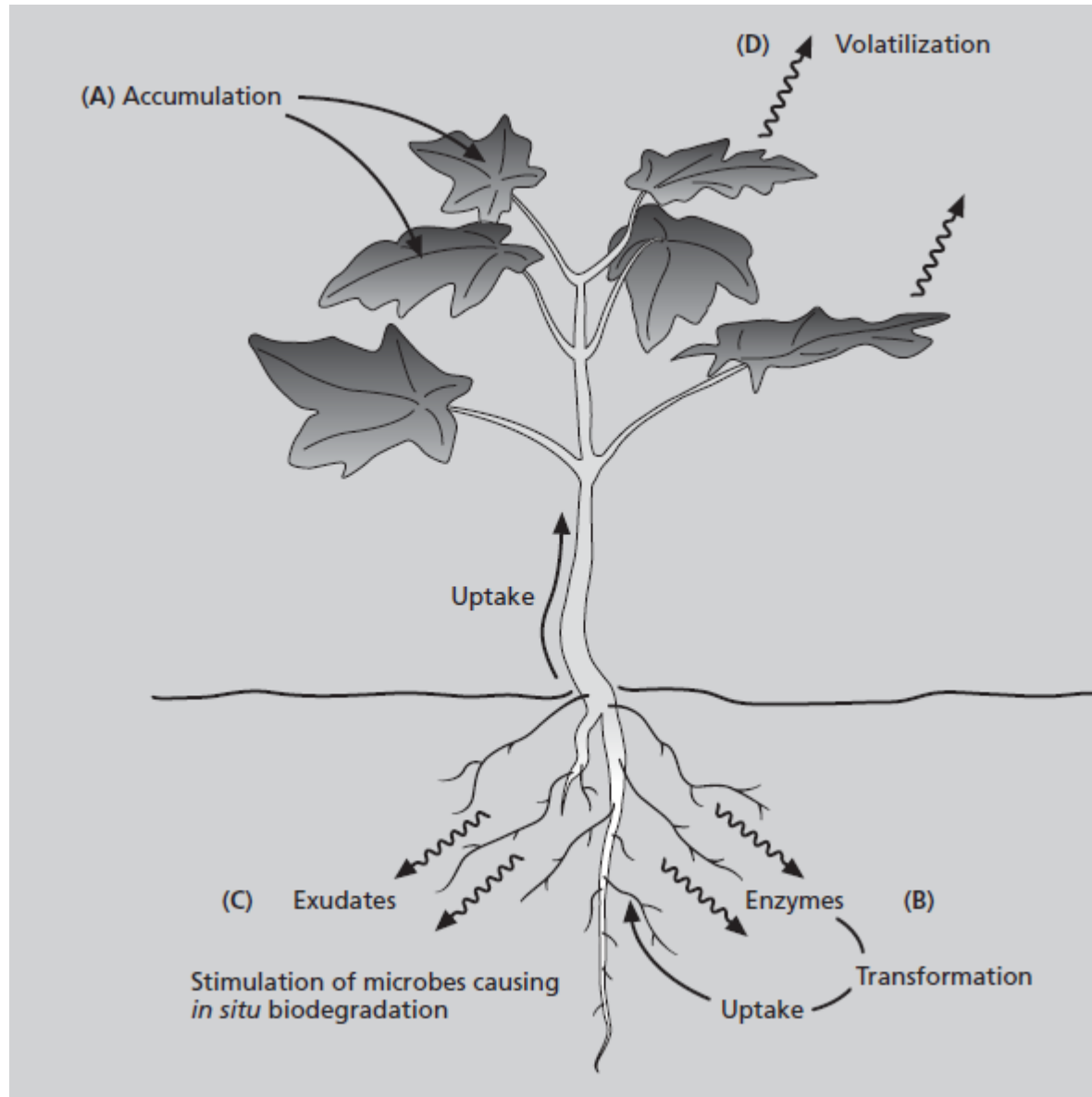
	Initial PAH concentration (mg kg ⁻¹)	Residual PAH concentration after 12 weeks' treatment (mg kg ⁻¹)	PAH reduction (%)
Two- and three-ring PAHs	1500	30	98
Four- through six-ring PAHs	960	280	70
Total PAHs*	2460	310	87

* Sixteen PAHs listed as priority pollutants by the US EPA (see Fig. 4.32).



Phytoremediation

Metall- und Schadstoffakkumulation durch Pflanzen



Phytoremediation durch Hyperakkumulation

Metallhunger von Pflanzen

Einige Pflanzenarten zeigen die Fähigkeit zur Hyperakkumulation von Schwermetallen → einsetzbar zur Sanierung von schwermetallbelasteten Böden und Gewässern

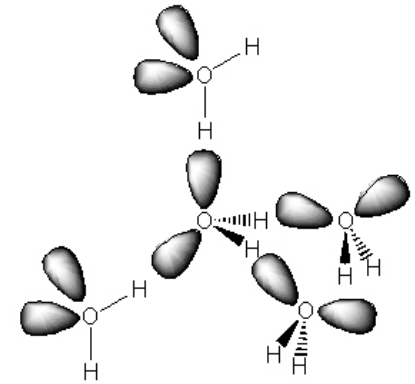
Arabidopsis halleri ist ein Hyperakkumulierer, der auf vielen metallbelasteten Standorten in Mitteleuropa wächst (z.B. im Harz), die aufgrund geologischer oder anthropogener Einflüsse metallreich sind.



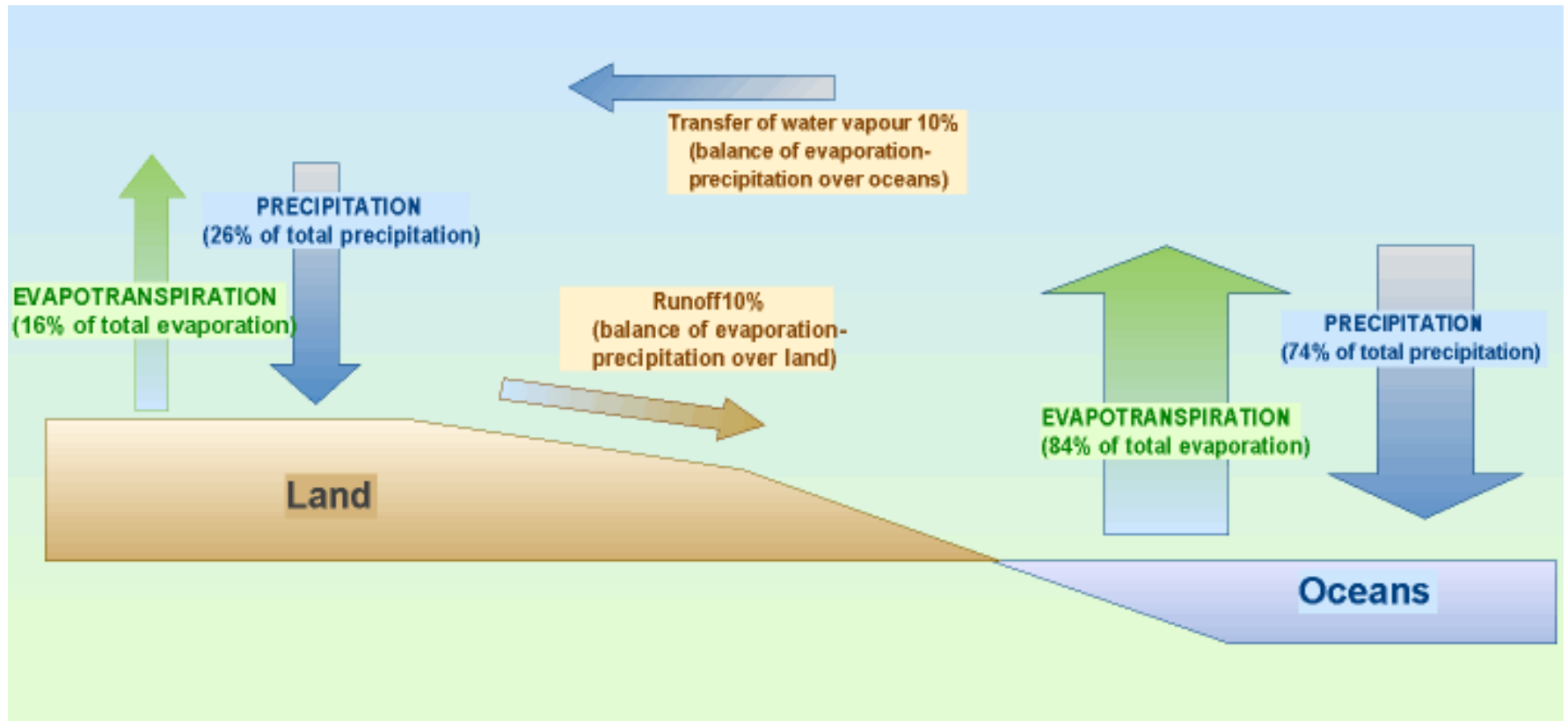
Hydrosphäre

Wasser

- Wasser bedeckt 71% der Erde
- 97% davon in den Ozeanen
- Wassermolekül – polar
Wasserstoffbrückenbindung
- Hohe Löslichkeit (Ausnahme: Öl!)
- Hohe Wärmekapazität
- Hohe Verdunstungswärme
- Transportmedium
- Salinität (variiert um 35g Salz pro kg Meerwasser)



World Water Balance



Waugh 1990

Hydrosphäre

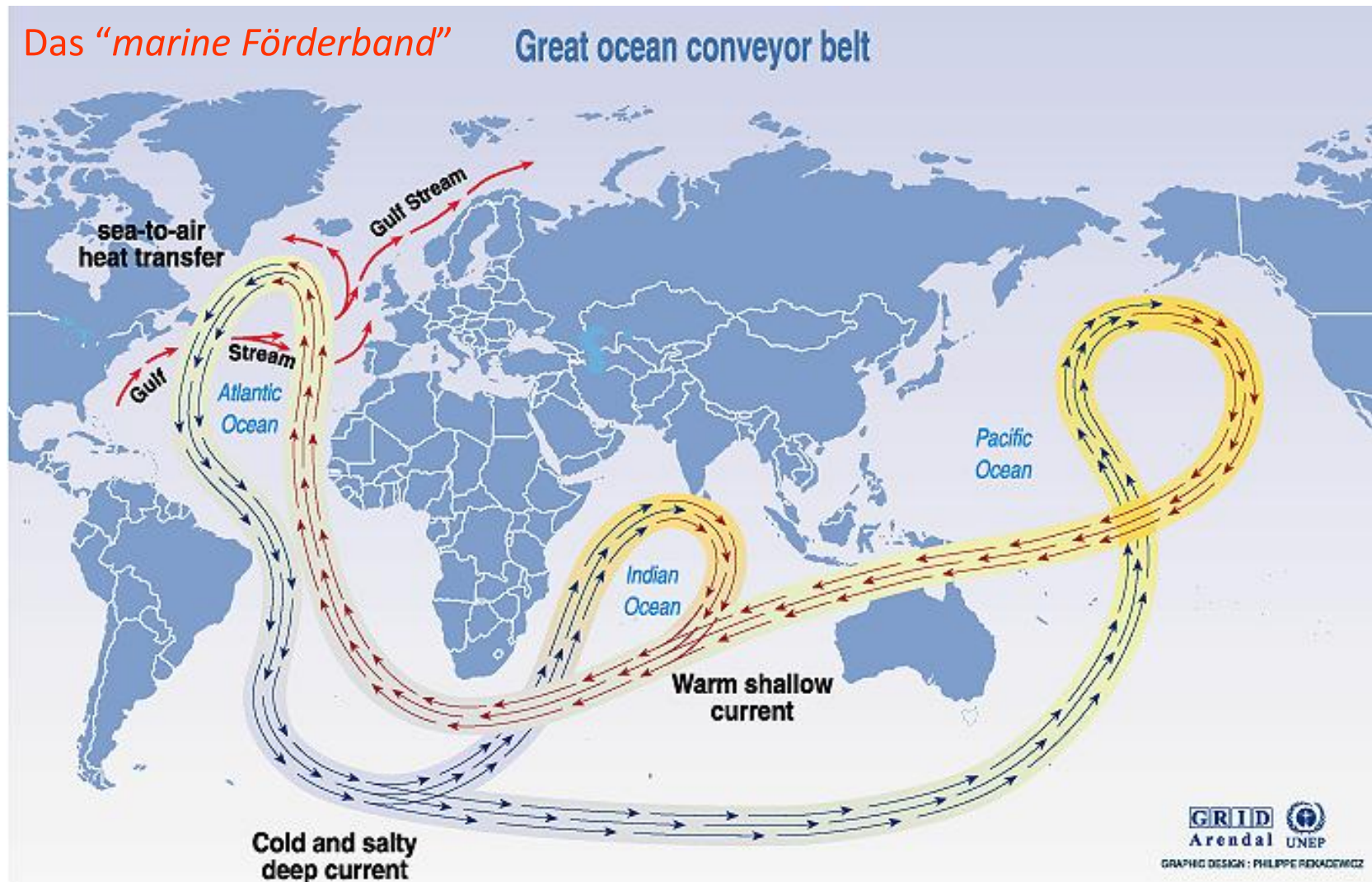
- Oceans are the main reservoir of water on the Earth ~97% by volume.
- Much higher contents of dissolved solids than most other natural waters (35 g / kg water)
- Compared to other natural waters, seawater is remarkably homogeneous in composition

Total dissolved solids (g/kg)	
Rain	0.005
River	0.1
Ocean	35

Thermohaline Zirkulation

Das "marine Förderband"

Great ocean conveyor belt



Source: Broecker, 1991, in Climate change 1995, Impacts, adaptations and mitigation of climate change: scientific-technical analyses, contribution of working group 2 to the second assessment report of the intergovernmental panel on climate change, UNEP and WMO, Cambridge press university, 1996.

Das "conveyor-belt"-Modell von Gordon (1986) und Broecker (1987)

Hydrosphäre

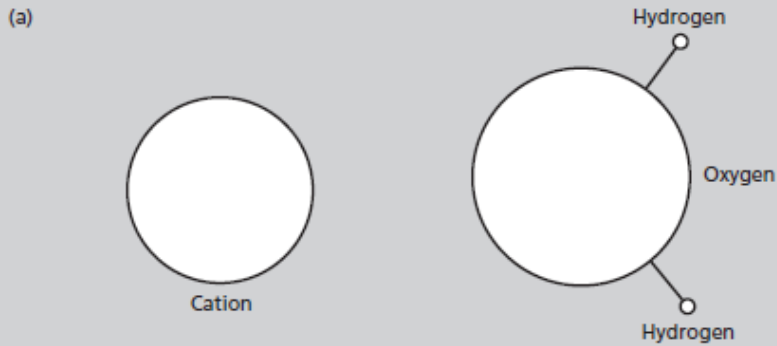
- **Georg Forchhammer (1794-1865)**
Danish Mineralogist

*“The quantity of different elements in seawater is **not** proportional to the quantity of elements which river water pours into the sea...”*

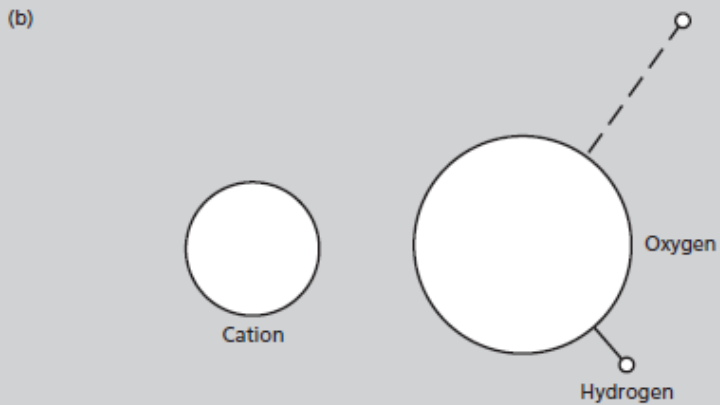
Binnengewässer (Süßwasser)

Table 5.1 Comparison of the major cation composition of average upper continental crust (from Wedepohl 1995) and average riverwater (from Berner & Berner 1987); except aluminium and iron from Broecker and Peng (1982).

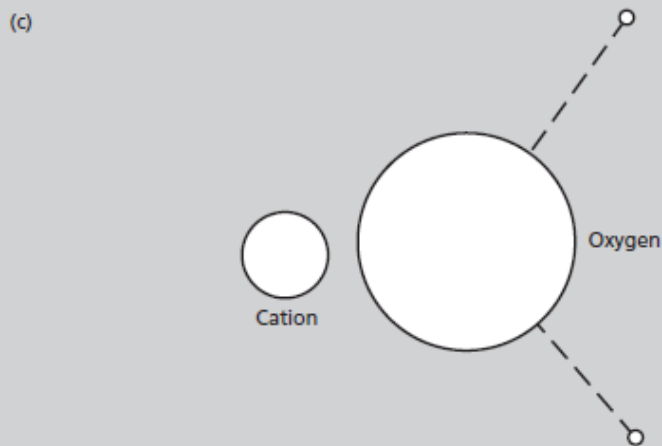
	Upper continental crust (mg kg ⁻¹)	Riverwater (mg kg ⁻¹)
Al	77.4	0.05
Fe	30.9	0.04
Ca	29.4	13.4
Na	25.7	5.2
K	28.6	1.3
Mg	13.5	3.4



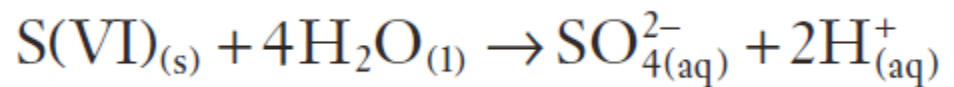
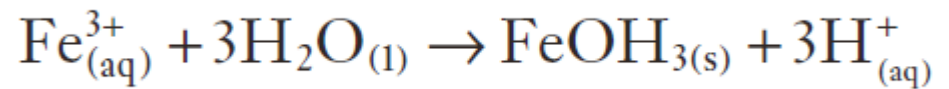
Cation $\log z/r < +0.48$
 Cation electronegativity < 1.2



Cation $\log z/r$ between $+0.48$ and $+1.08$
 Cation electronegativity between 1.2 and 1.9

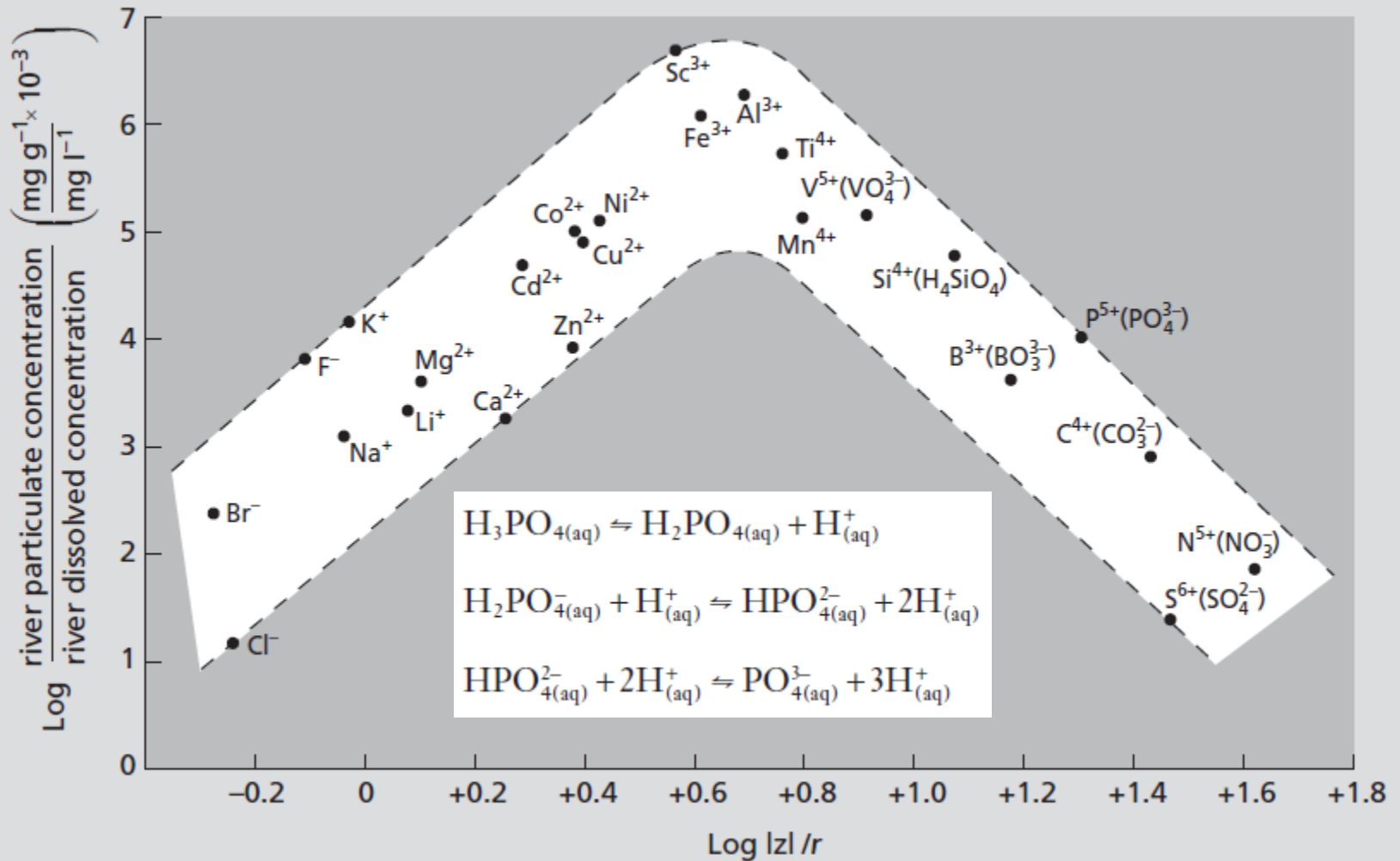


Cation $\log z/r > +1.08$
 Cation electronegativity > 1.9



Oxyanion

Elementchemie Süßwasser



Beispiel Phosphor

P: 0.1 Gew.% in Erdkruste; wichtiger Nährstoff

Phosphatminerale: Apatit: $\text{Ca}_5(\text{PO}_4)_3(\text{F}, \text{Cl}, \text{OH})$

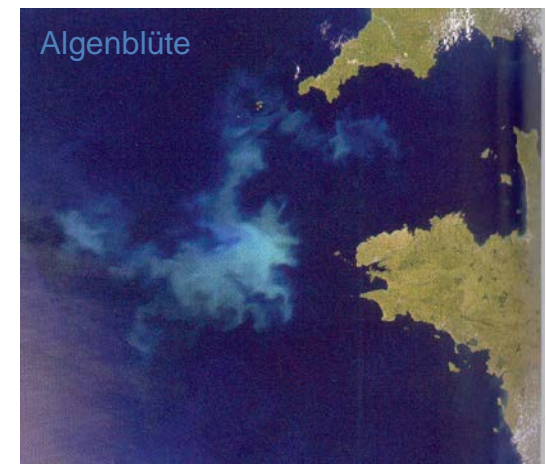
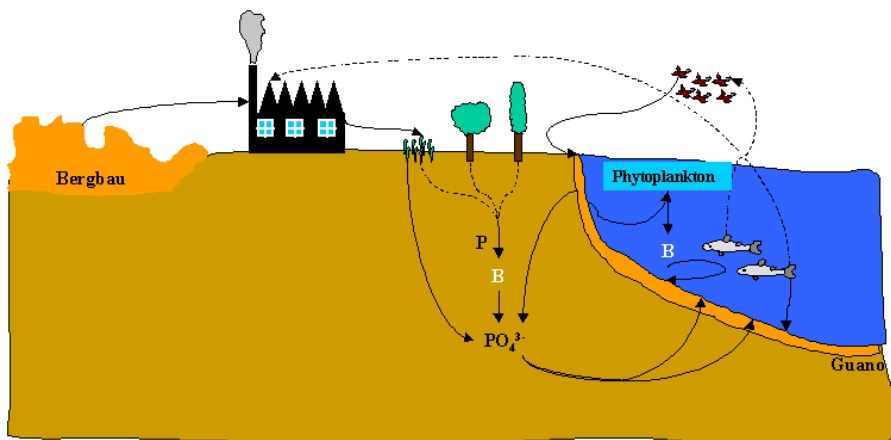
im Wasser oder in Bodenlösung: Phosphat-Anionen

schwach basische Wässer **Hydrogenphosphat**-Anion (HPO_4^{2-})

schwach saure Wässer **Dihydrogenphosphat**-Anion (H_2PO_4^-)

Düngungsmittel (Überdüngung → Eutrophierung)

entgegenwirken durch chemische P-Fällung, z.B.: $\text{Fe}^{3+} + \text{PO}_4^{3-} \rightarrow \text{FePO}_4$



Grundwasserchemie

Table 5.3 Chemical analyses of US groundwater from various rock types (mmol l^{-1}). Adapted from Todd (1980). This material is used by permission of John Wiley & Sons, Inc.

	Granite South Carolina	Metamorphic schist Georgia	Limestone Texas
Ca^{2+}	0.3	0.7	1.8
Mg^{2+}	0.2	0.2	0.4
Na^{+}	0.4	0.7	1.0
K^{+}	0.1	0.2	0.2
Cl^{-}	0.1	0.1	0.7
SO_4^{2-}	0.1	0.1	0.2
HCO_3^{-}	1.2	2.3	4.5
Al	0.004	0	—
Fe	0.003	0.002	0.001
SiO_2	0.6	0.35	0.18
$\text{Na}^{+}/(\text{Ca}^{2+} + \text{Na}^{+})$	0.57	0.50	0.36

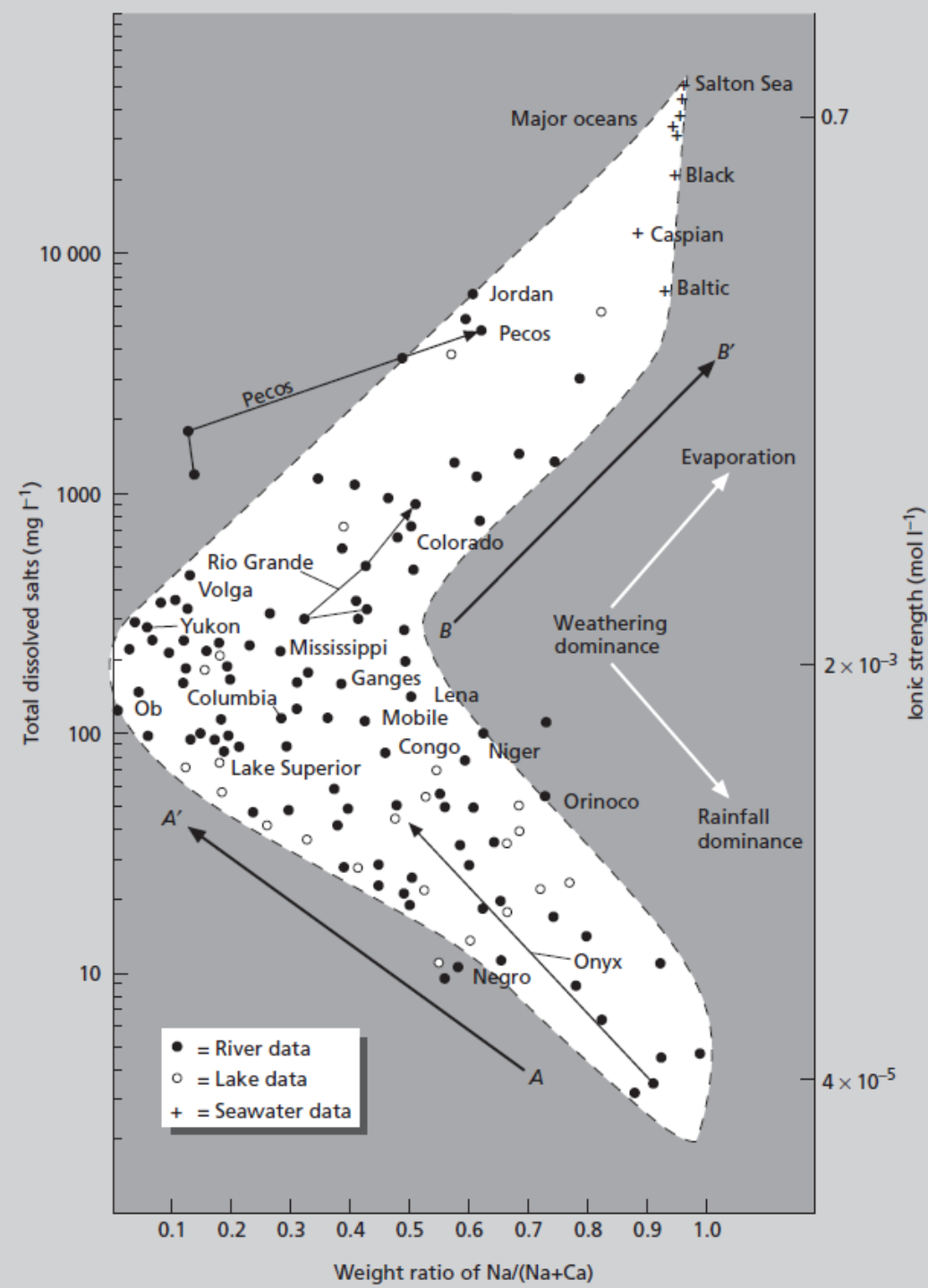
Wasserchemie und Verwitterungsregime

Table 5.2 Dissolved major ion composition (mmol l^{-1}) of some major rivers. Data from Meybeck (1979); except Rio Grande from Livingston (1963).

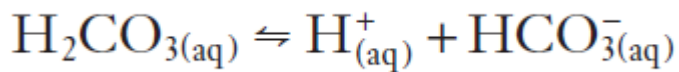
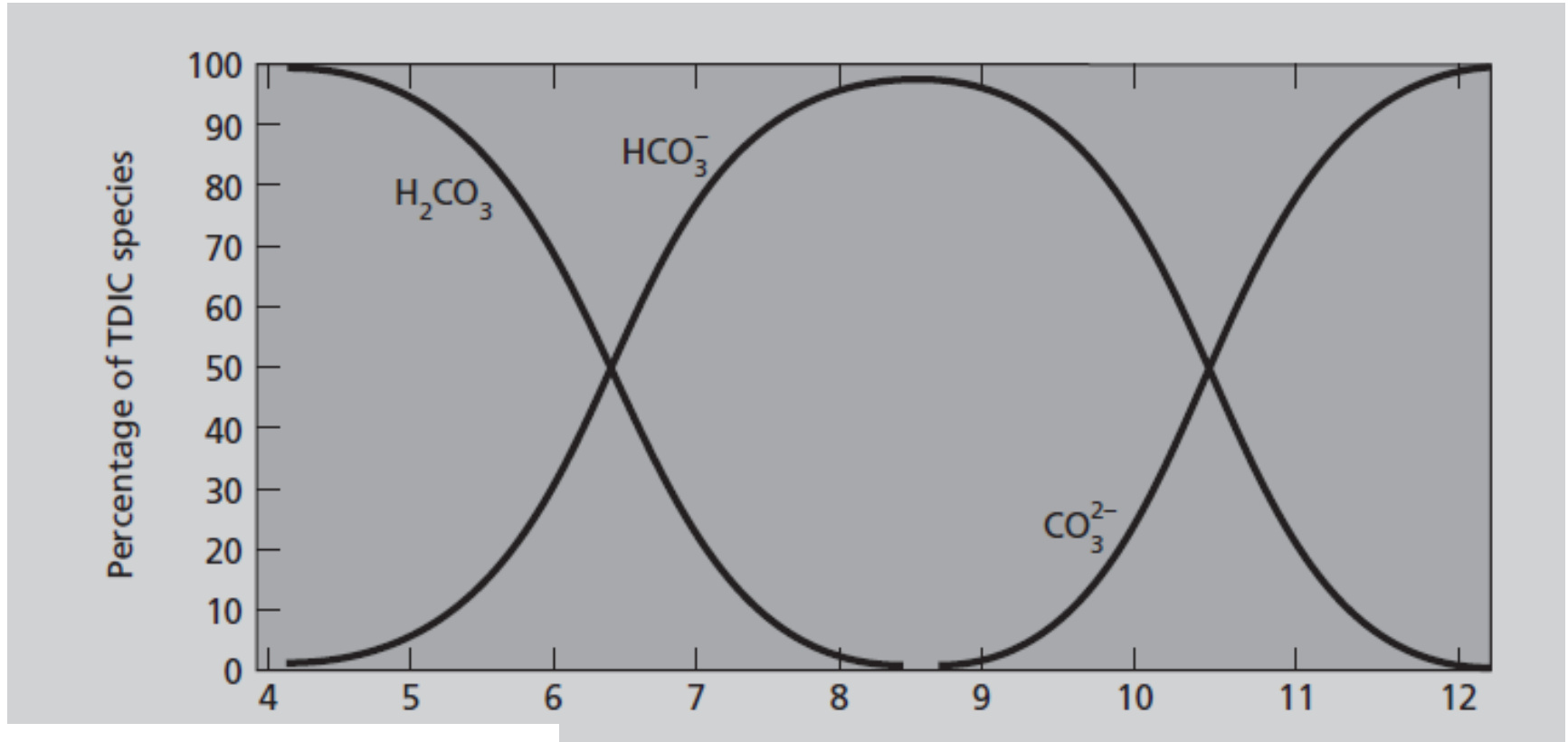
	Mackenzie (1)	Orinoco (2)	Ganges (3)	Rio Grande (4)
Ca^{2+}	0.82	0.08	0.61	2.72
Mg^{2+}	0.43	0.04	0.20	0.99
Na^+	0.30	0.06	0.21	5.10
K^+	0.02	0.02	0.08	0.17
Cl^-	0.25	0.08	0.09	4.82
SO_4^{2-}	0.38	0.03	0.09	2.48
HCO_3^-	1.82	0.18	1.72	3.00
SiO_2	0.05	0.19	0.21	0.50

Drainage basin characteristics: (1) northern arctic Canada; (2) tropical northern South America; (3) southern Himalayas; (4) arid southwestern North America.

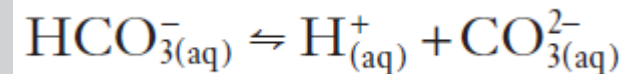
Lösungsfracht Von Flüssen



Alkalinität



pH



$$K_1 = \frac{a\text{H}^+ \cdot a\text{HCO}_3^-}{a\text{H}_2\text{CO}_3} = 10^{-6.4}$$

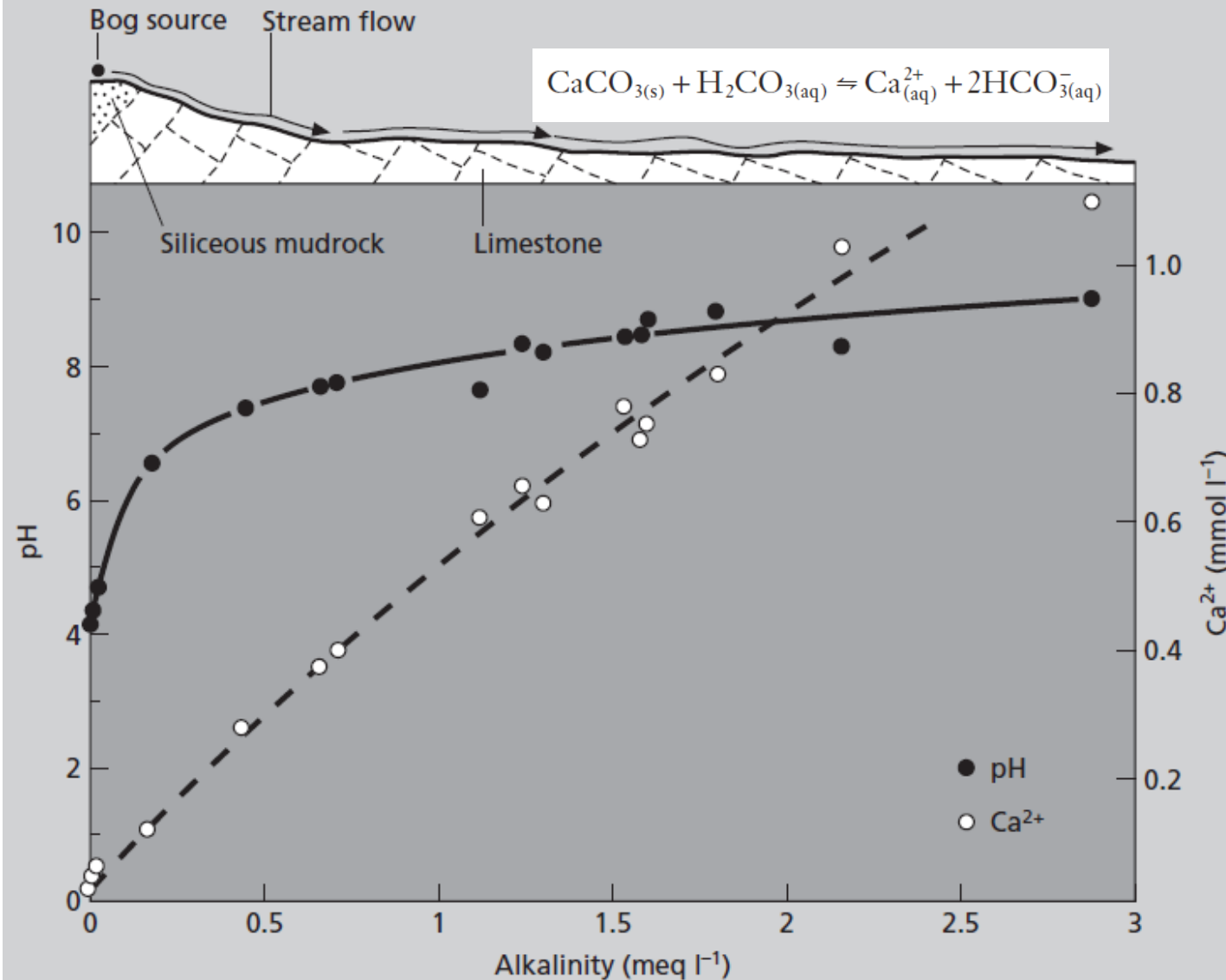
$$K_2 = \frac{a\text{H}^+ \cdot a\text{CO}_3^{2-}}{a\text{HCO}_3^-} = 10^{-10.3}$$

für pH 8 ($\text{pH} = -\log_{10} a\text{H}^+$) gilt:

$$a\text{HCO}_3^- = \frac{10^{-8} \cdot a\text{CO}_3^{2-}}{10^{-10.3}} = \frac{1 \times 10^{-8} \cdot a\text{CO}_3^{2-}}{5 \times 10^{-11}} = 200 a\text{CO}_3^{2-}$$

Alkalinität und pH Puffer

bog = Moor



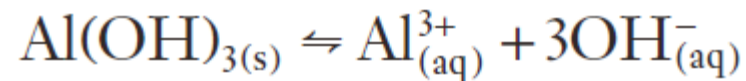
Aluminiumlöslichkeit und Säuregrad

Al gelöst

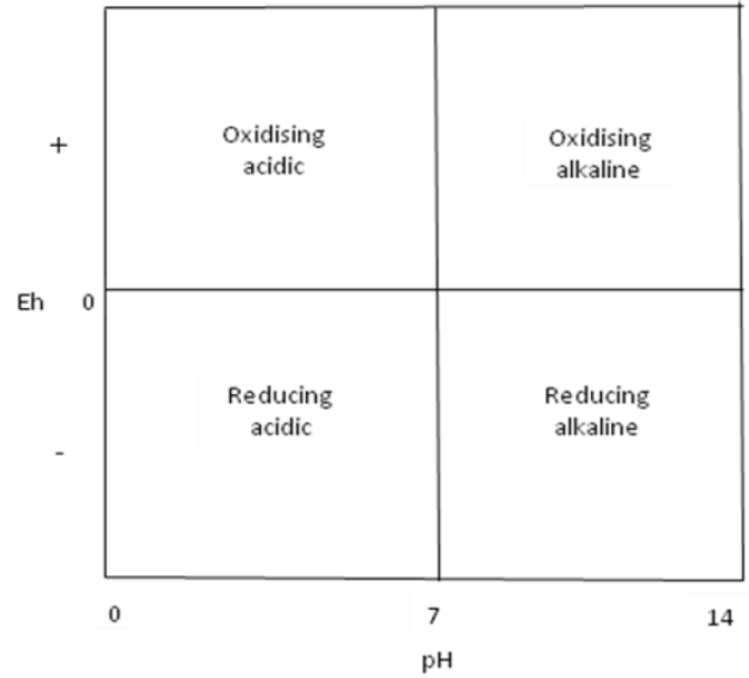
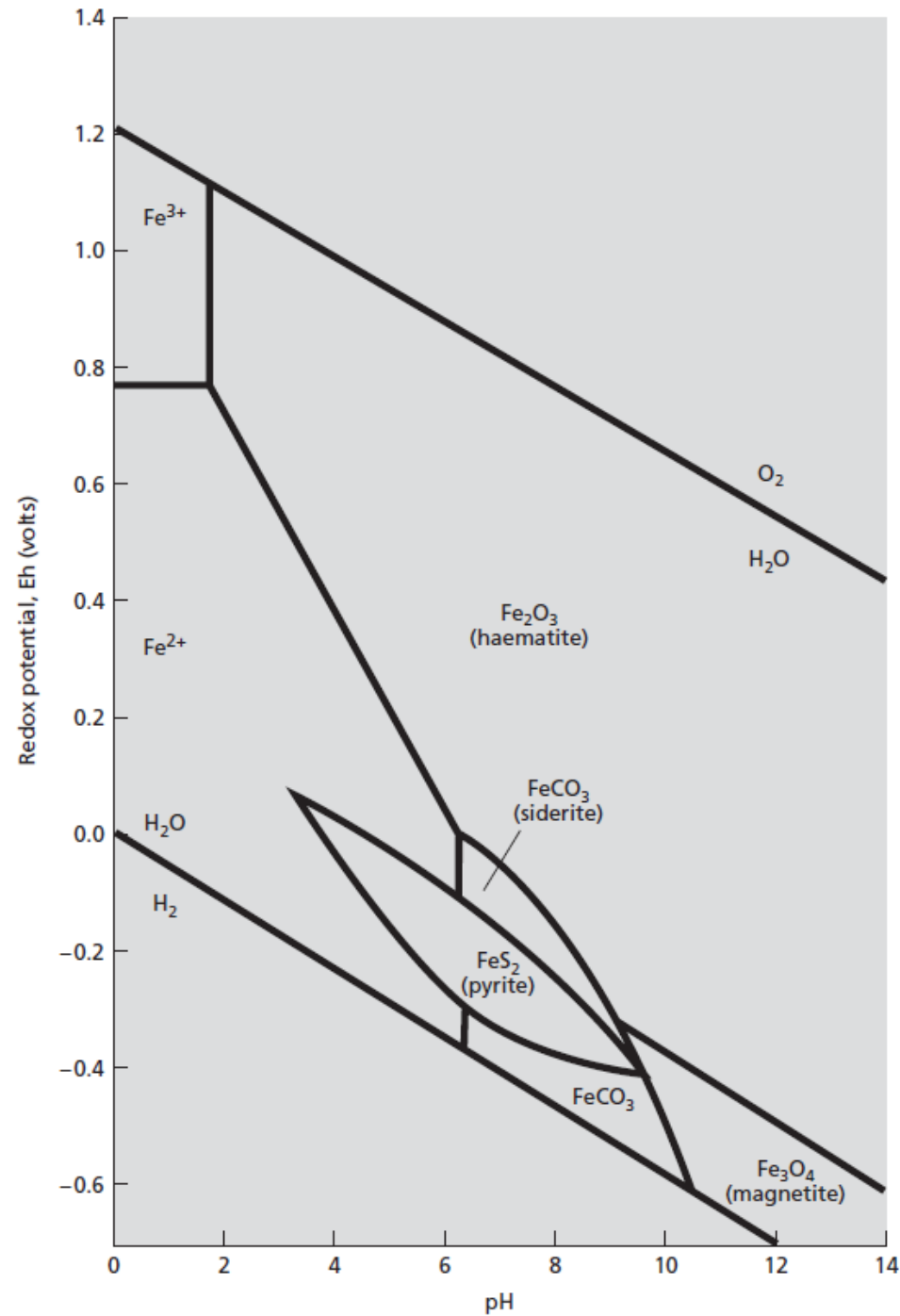
unter sauren
Bedingungen als $\text{Al}^{3+}(\text{aq})$



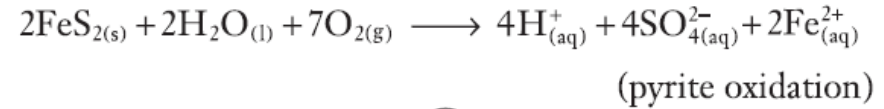
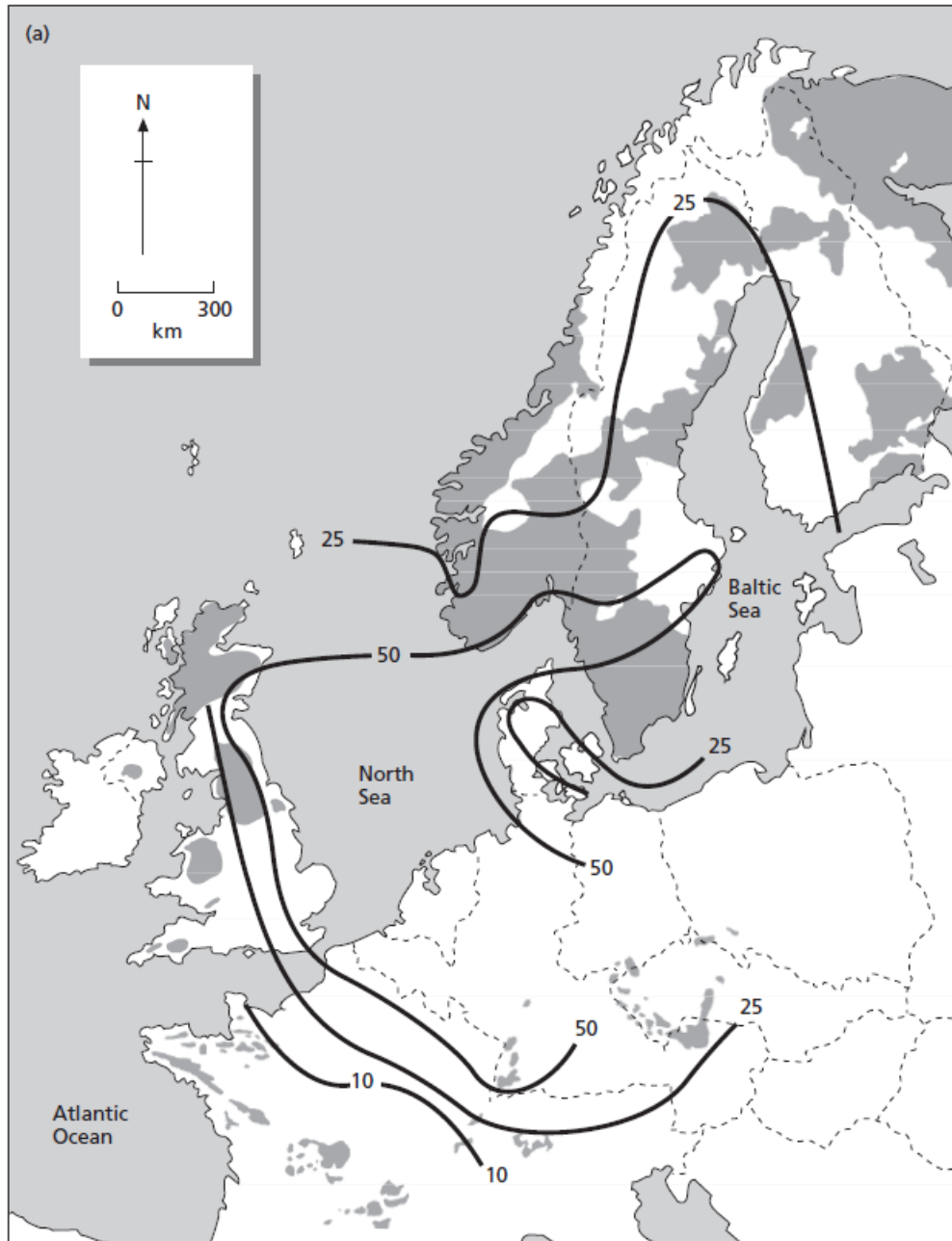
unter neutralen oder
alkalischen Bedingungen
als $\text{Al}(\text{OH})_4^- (\text{aq})$



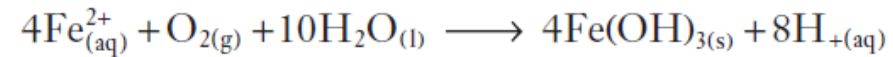
Eh-pH Diagram



Acid mine drainage / saure Grubenwässer



Bei pH 3.5 – 4.5 Oxidation von Eisen
katalysiert durch Bakterien Metallogenium,
Thiobacillus thiooxidans)



(Fe(II))



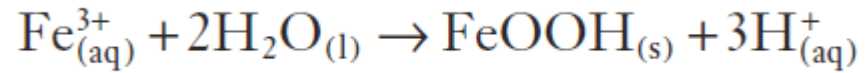
(Fe(III))

Rio Tinto

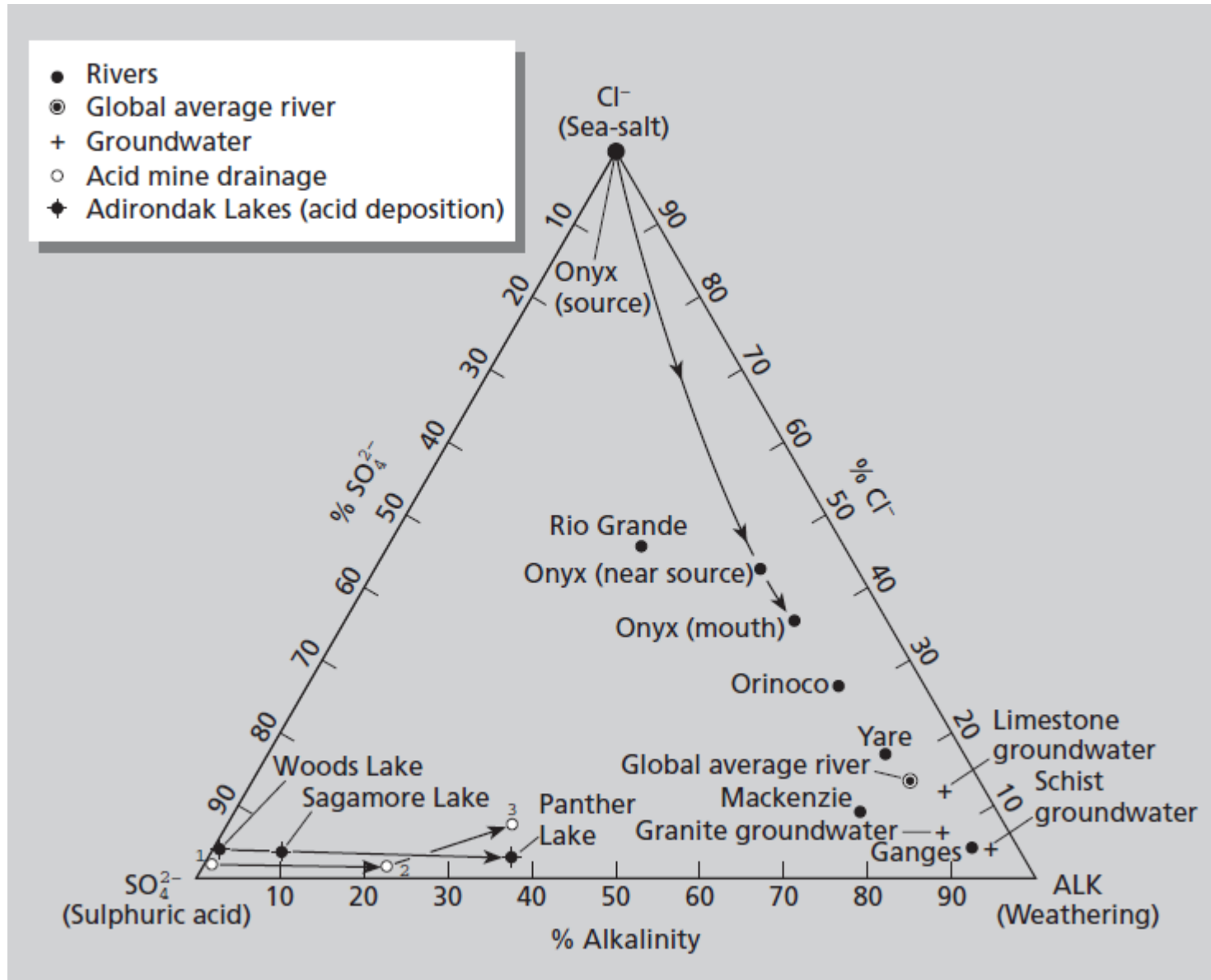


Acid mine drainage / saure Grubenwässer

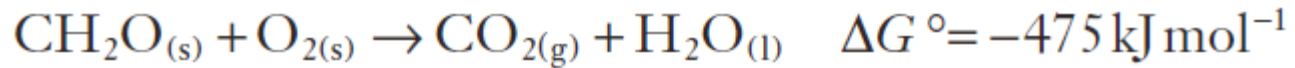
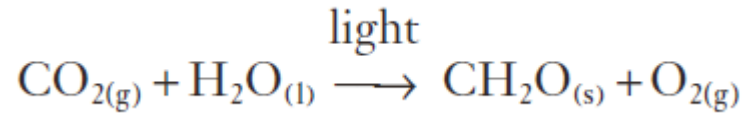
ab pH > 3-4:



Alkalinität - Cl^- - SO_4^{2-}

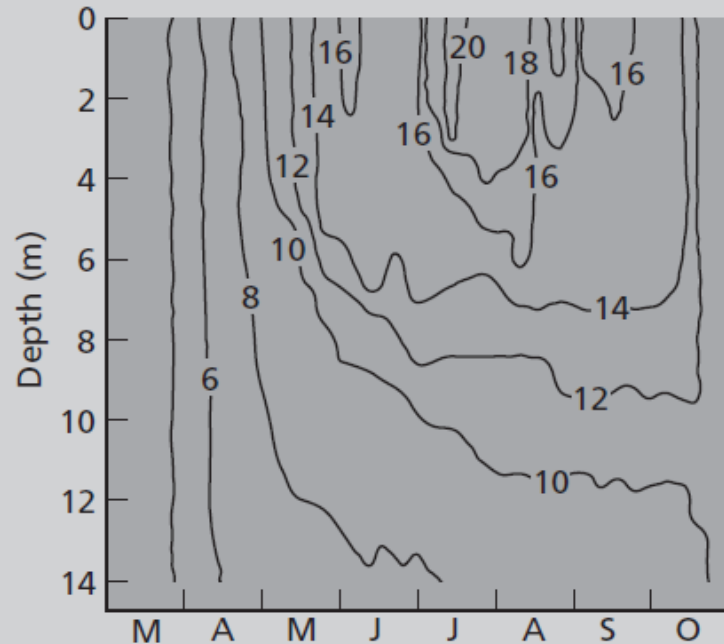


Biologische Prozesse

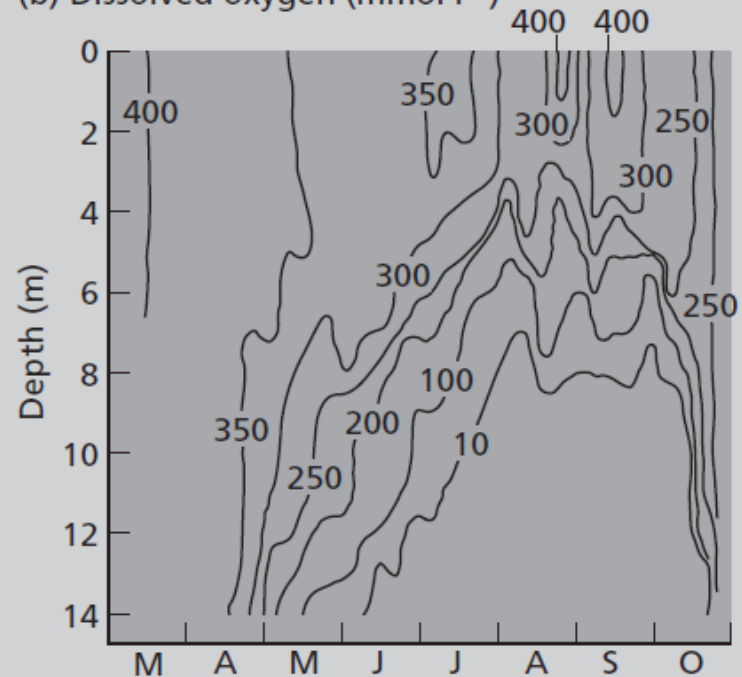


Seewasser: Lake Esthwaite, NW England

(a) Temperature (°C)



(b) Dissolved oxygen (mmol l⁻¹)

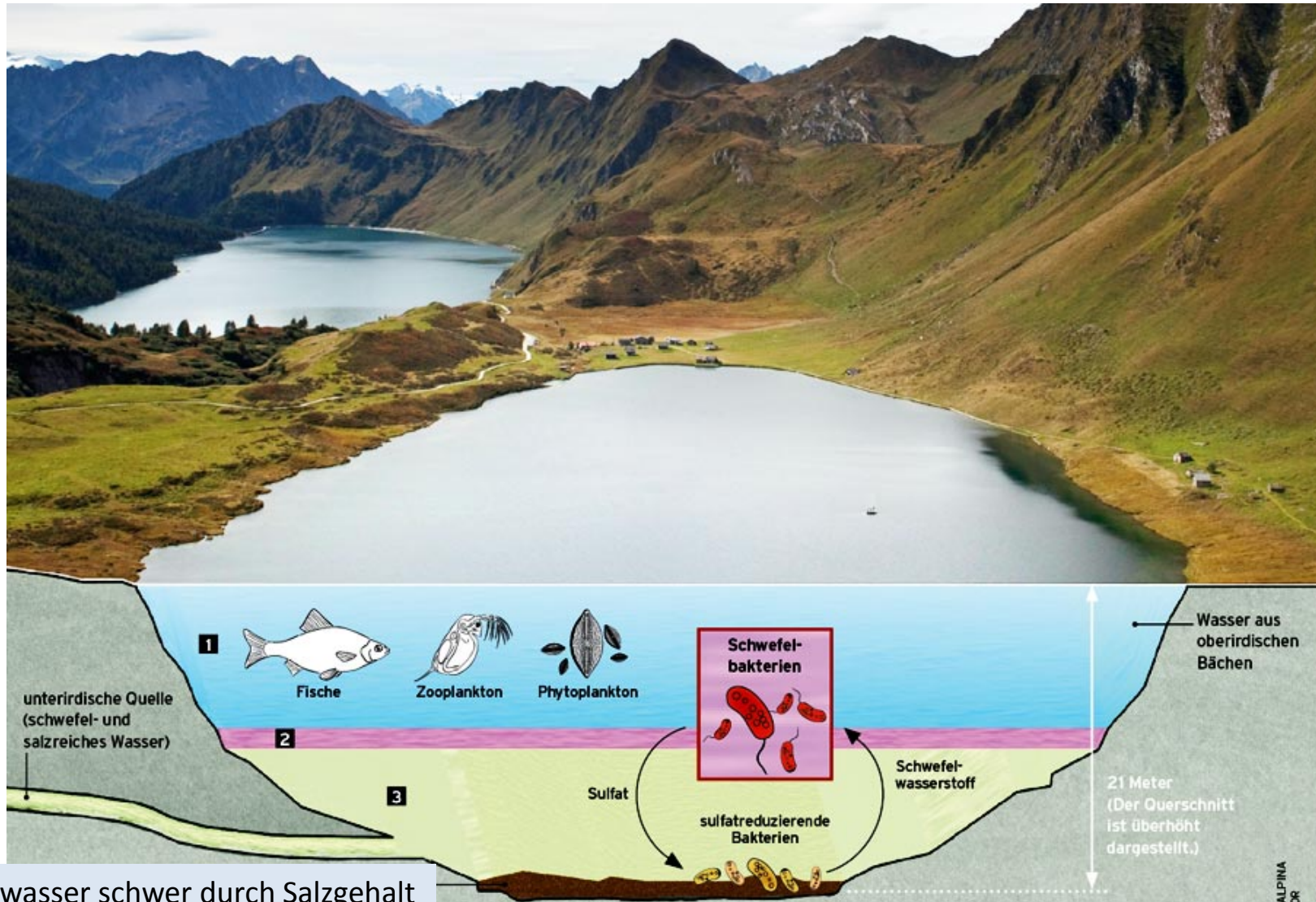


Alatsee – meromiktischer See

keine Wasserzirkulation
ab 15 m Tiefe fast sauerstofffrei
Schwefelhaltiges Tiefenwasser
Herkunft des Schwefels?



Lago di Cadagno - geogene Meromixis



Tiefenwasser schwer durch Salzgehalt

Die drei Zonen des Lago di Cadagno

1 Sauerstoffreiches Oberwasser: Diese Zone wird von Bächen gespeist, die über kristallines Gestein fließen. Das Wasser ist klar, reich an Sauerstoff und bietet zahlreichen Organismen wie Plankton oder Fischen einen Lebensraum.

2 Zwischenschicht mit Schwefelbakterien: Das Wasser dieser eineinhalb Meter tiefen Zone ist stark rosa gefärbt. Die Farbe stammt von Schwefelbakterien, die das toxische Unterwasser filtern und so das Leben in der obersten Zone erst ermöglichen.

3 Toxisches, sauerstofffreies Unterwasser: Hier reichern sich Schwefel und Salze an, die von unterirdischen Quellen in den See gespült werden. Nur einige archaische Bakterien können in dieser Schicht wachsen; sie ernähren sich vom Sulfat.

Lago di Cadagno - geogene Meromixis

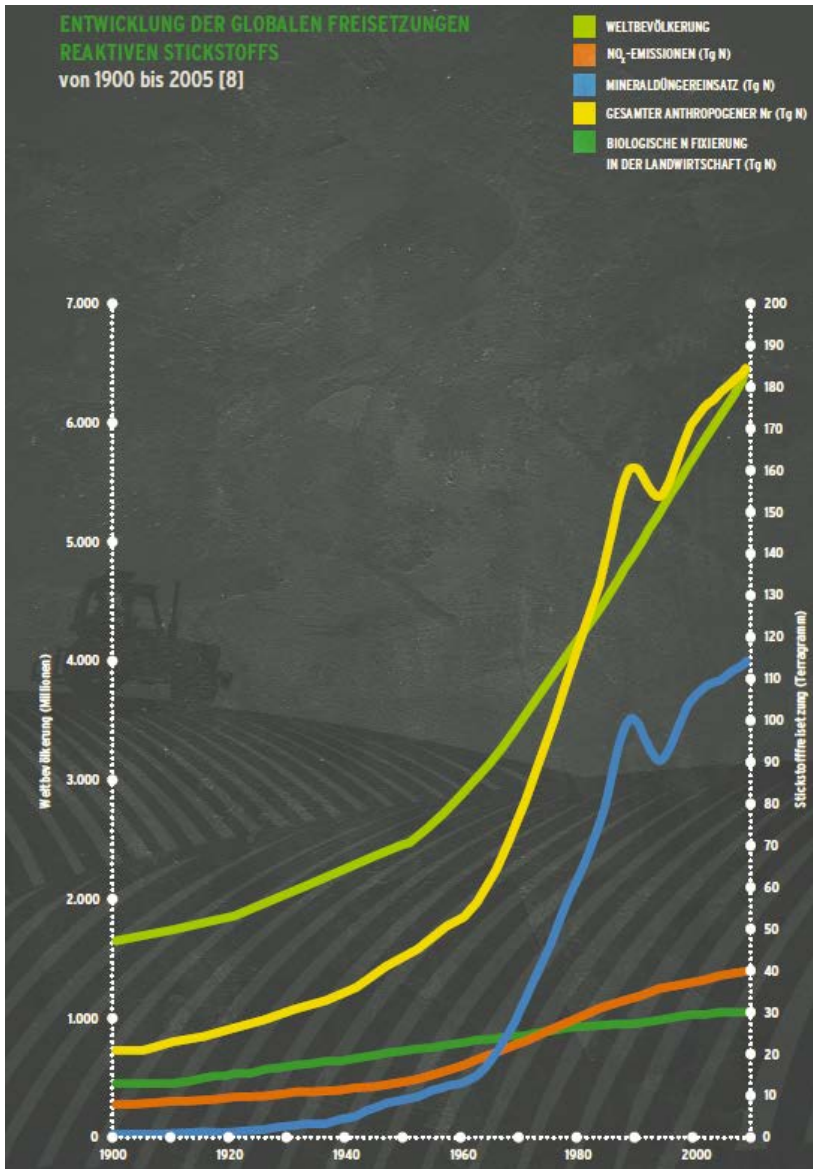
BESCHAFFENHEIT DES CADAGNO-SEES

Der Cadagno-See ist ein «meromiktischer» See, das heisst er besteht aus drei Schichten, die sich nicht vermischen:

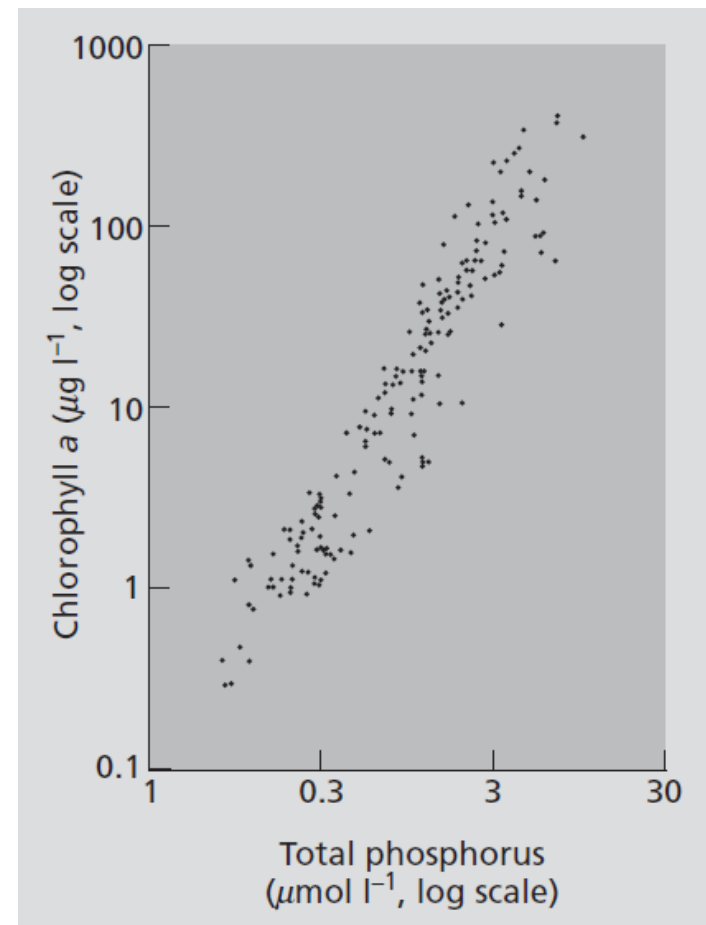


Nährstoffe und Eutropisierung

Mg²⁺ häufig vorhanden; aber: P, N - biokritisch, wachstumslimitierend

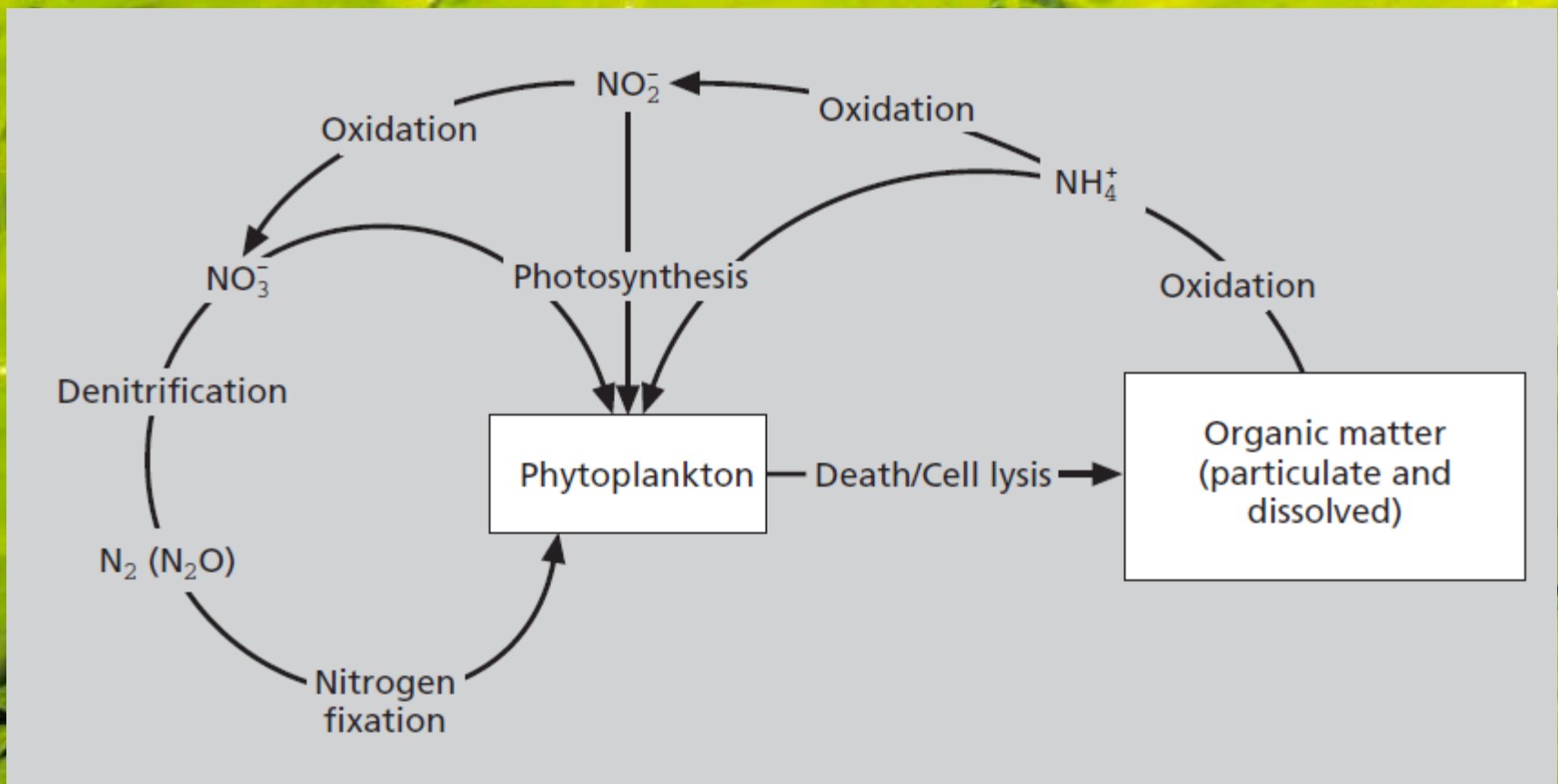


Bioverfügbarkeit
N/P-Verhältnis

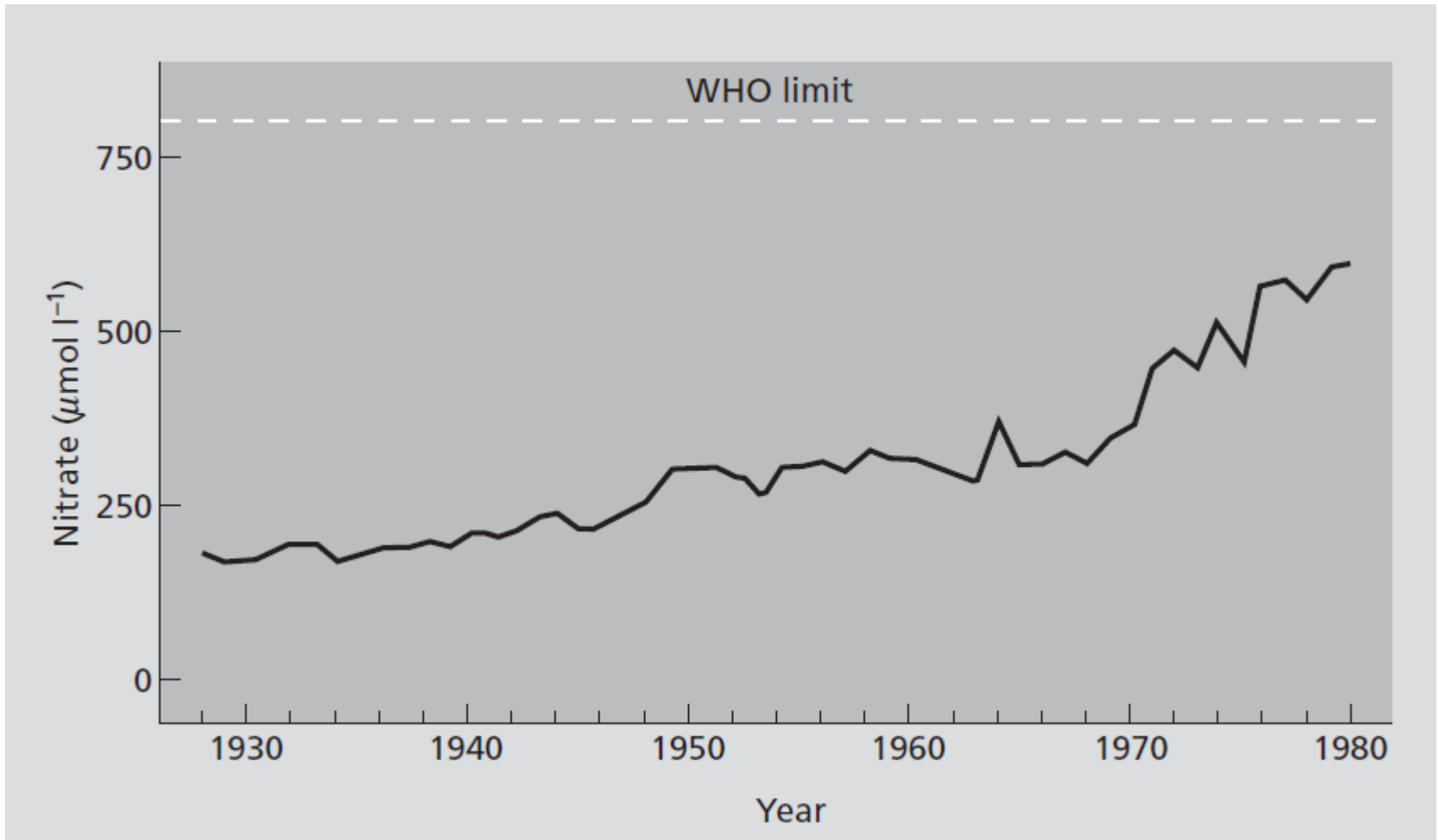


Nährstoffe und Eutropisierung

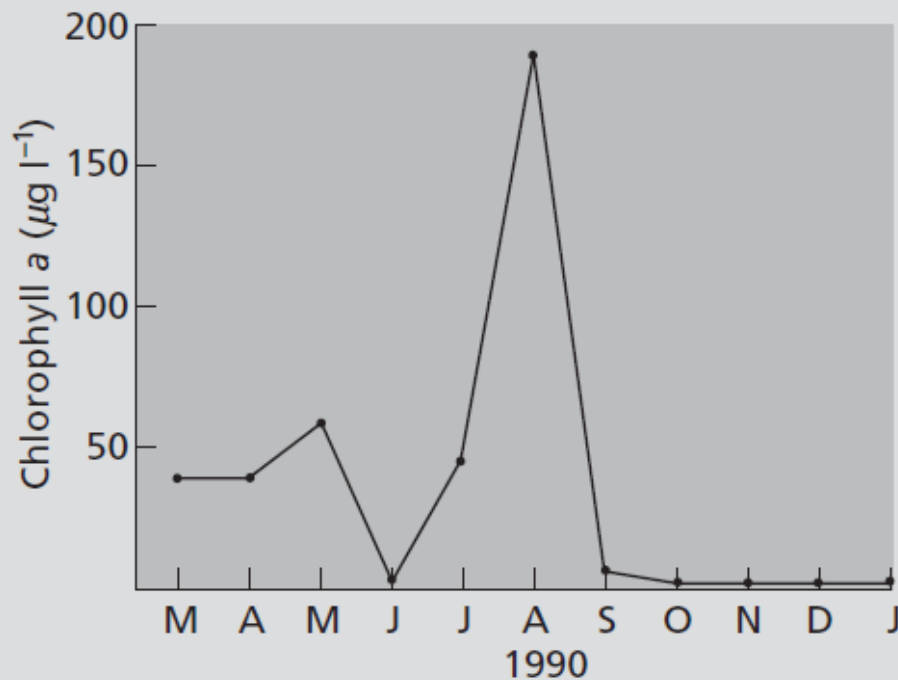
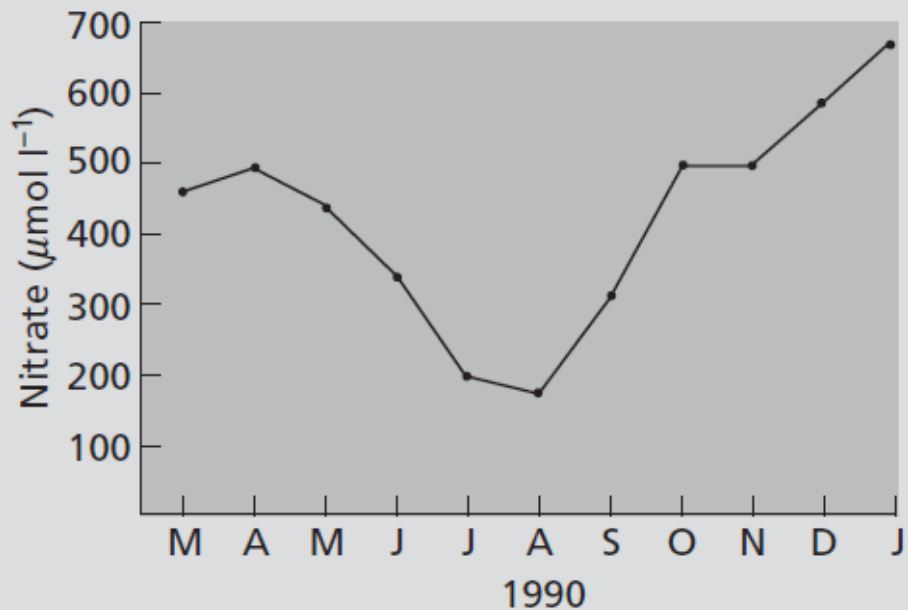
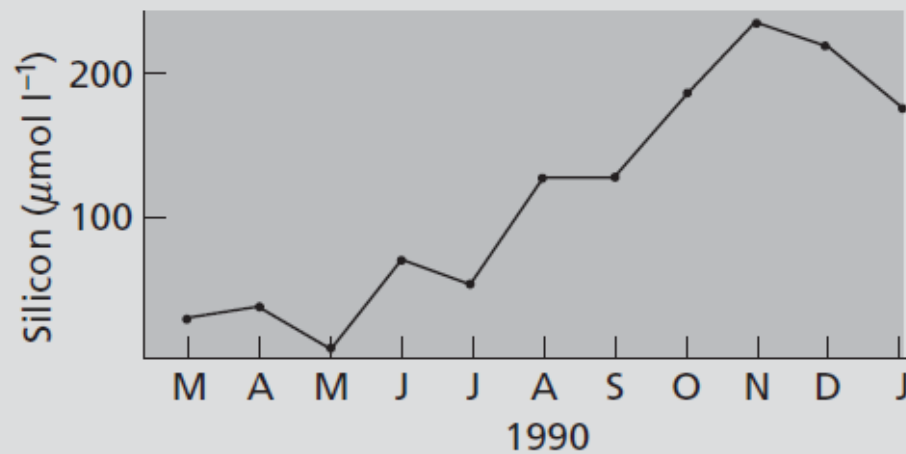
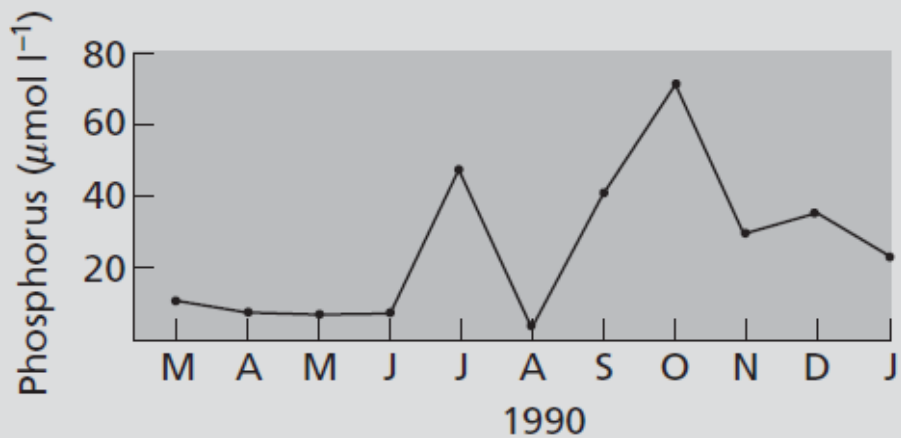
Stickstoffkreislauf im Wasser



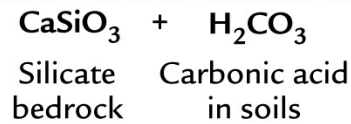
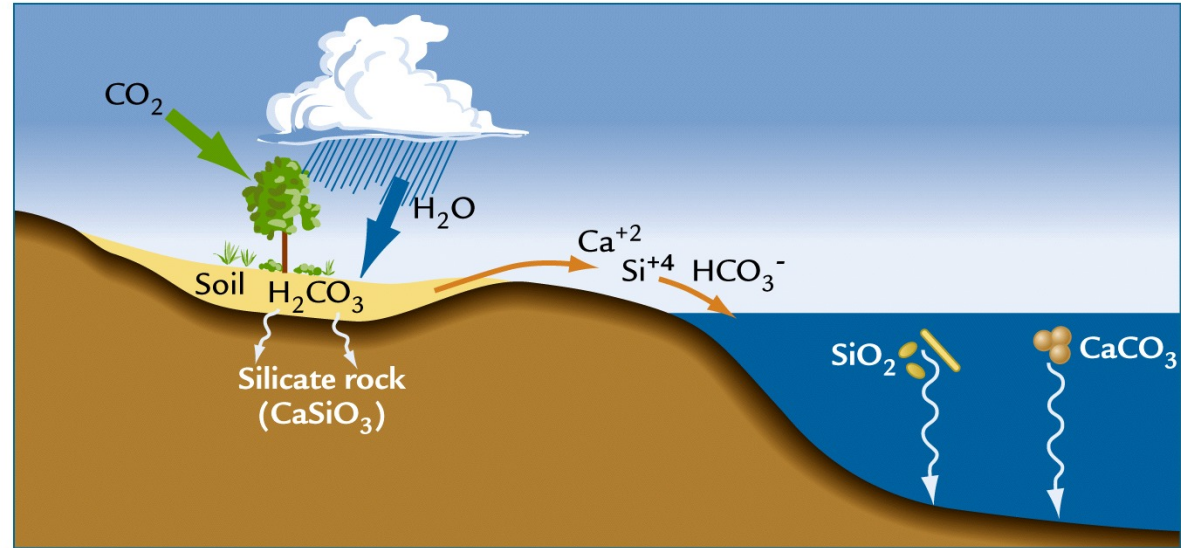
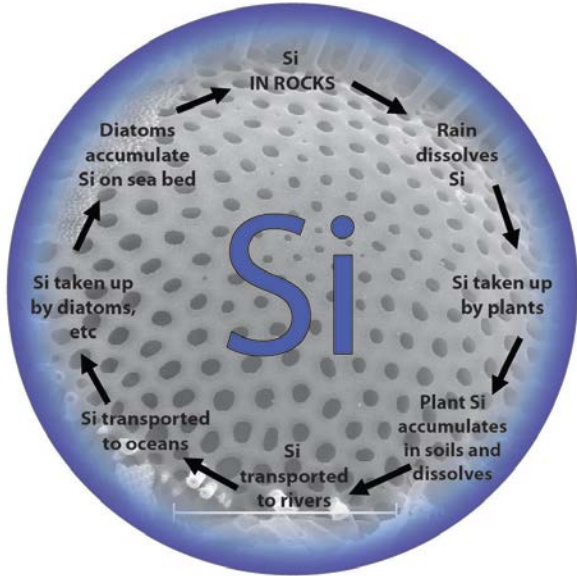
Nitratbelastung in Flüssen



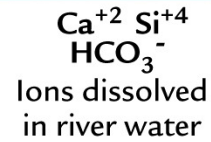
Nitratbelastung in Flüssen



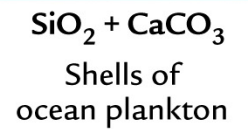
Silizium



Weathering on land



Transport in rivers

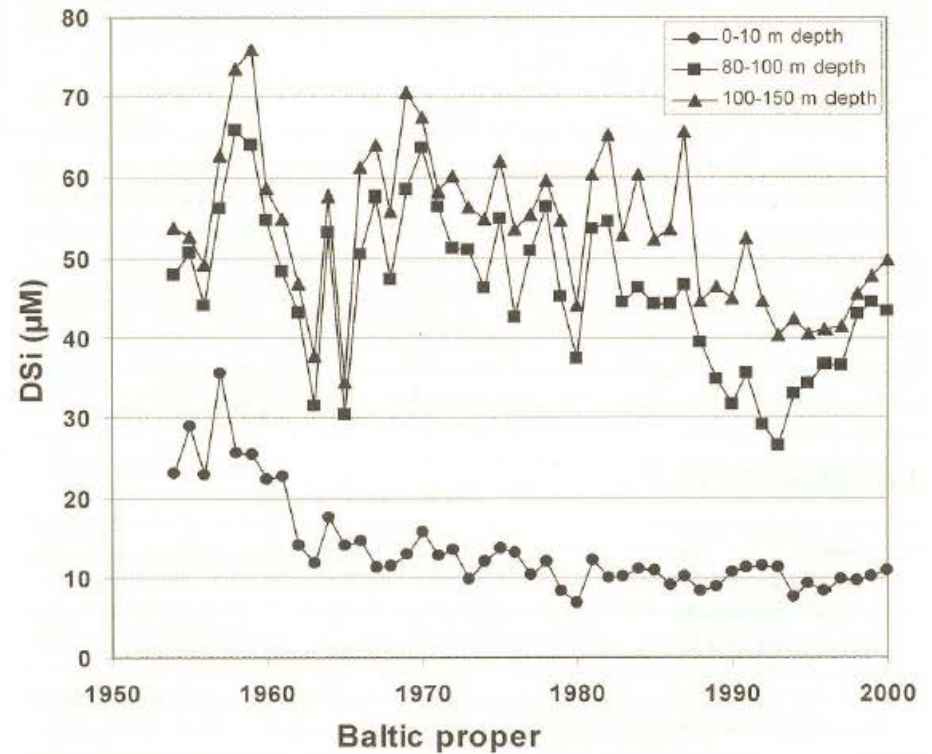


Deposition in ocean

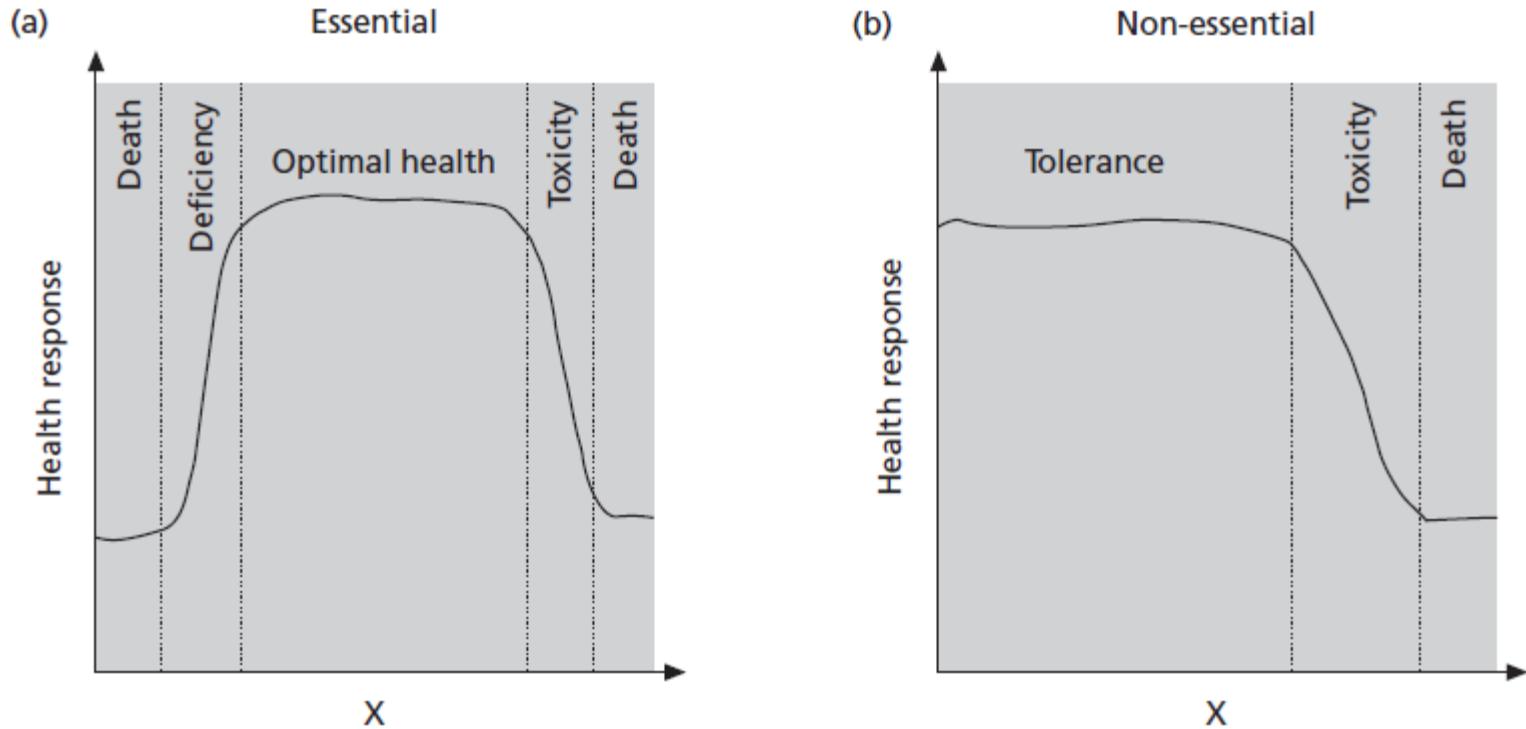
River damming



Dams:
artificial lake effect
Si retention



Schwermetalle



Paracelsus (1493-1541): „Allein die Dosis macht das Gift“

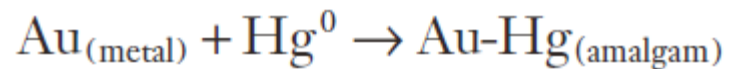
Schwermetallbelastungen

Garimpos, Amazonasgebiet

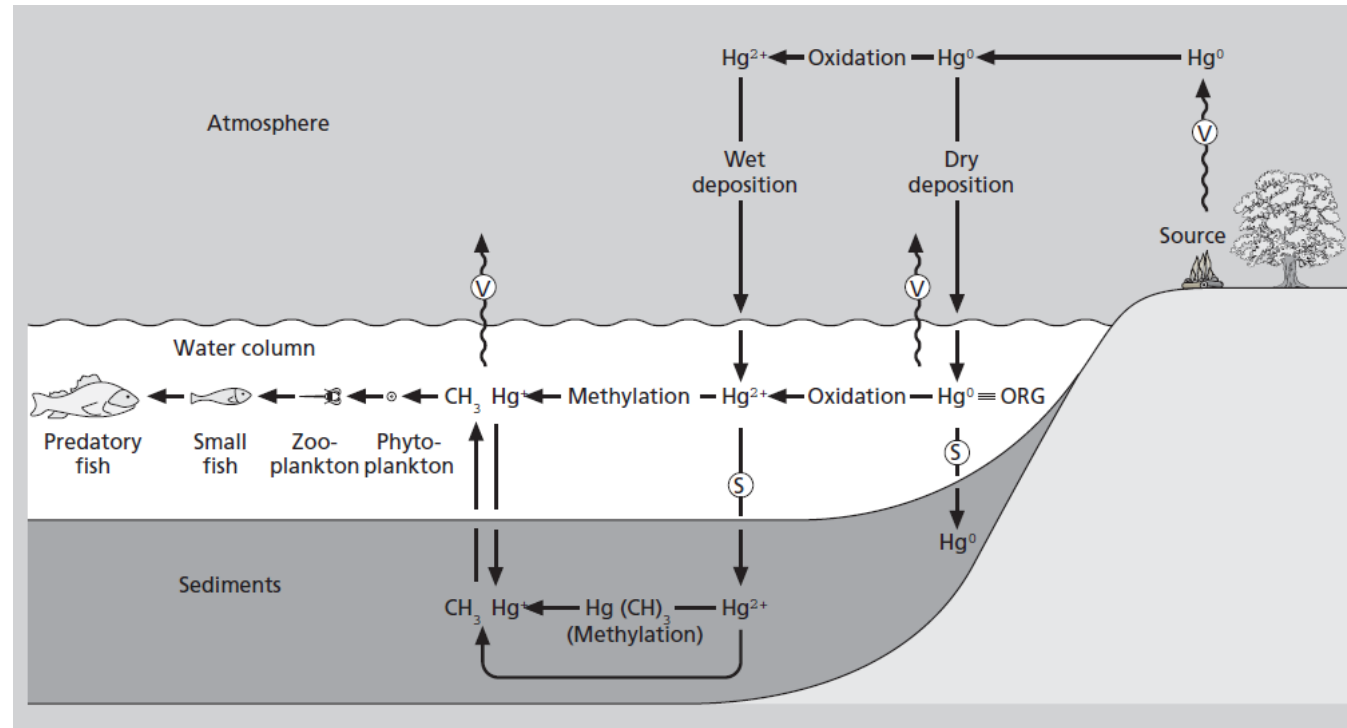
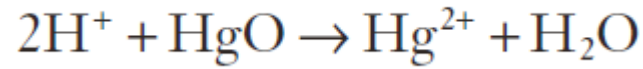
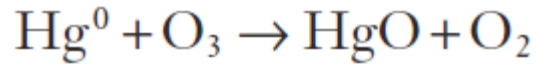
Einsatz von
Quecksilber zur
Bindung des Goldes



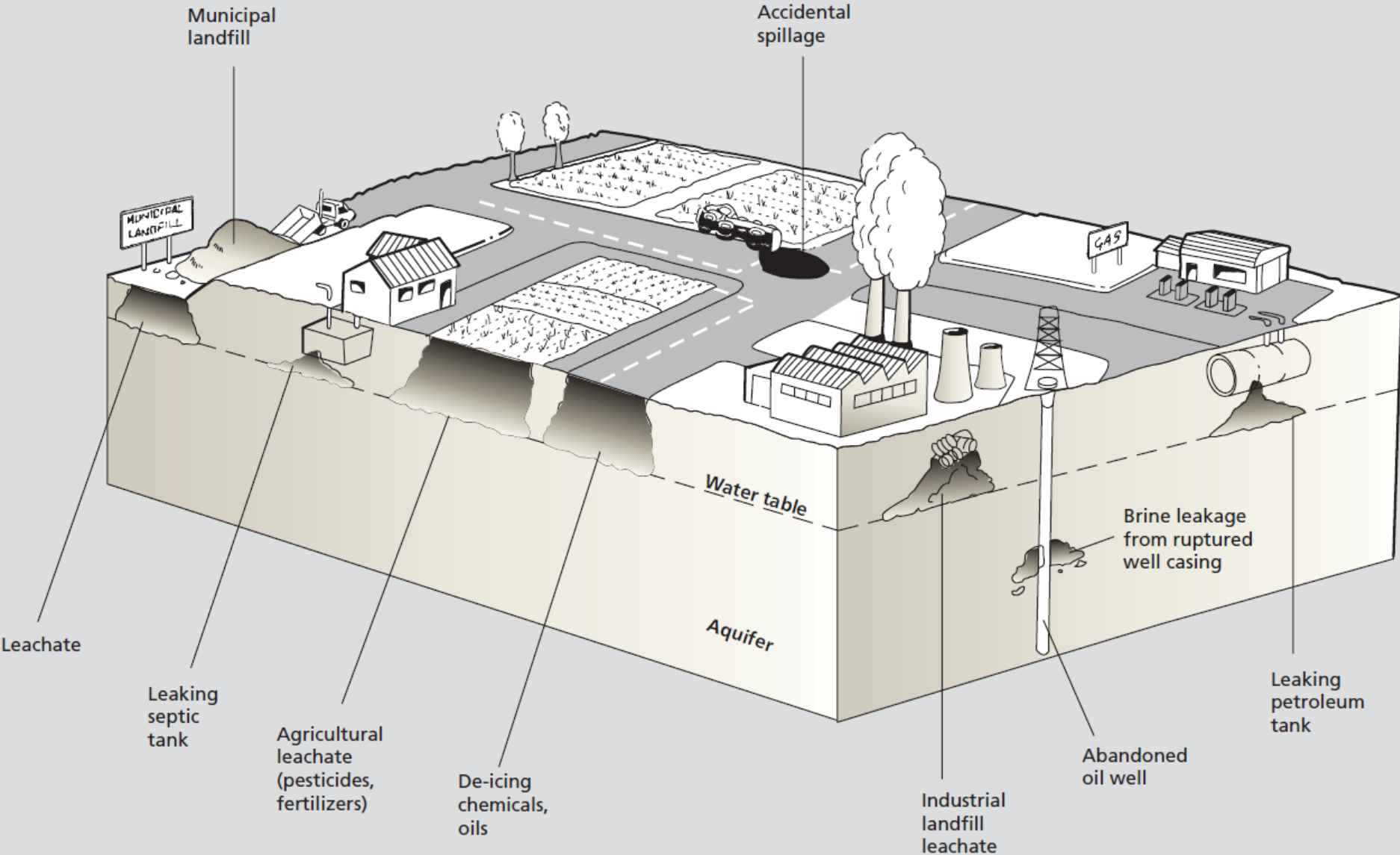
Amalgamverfahren:



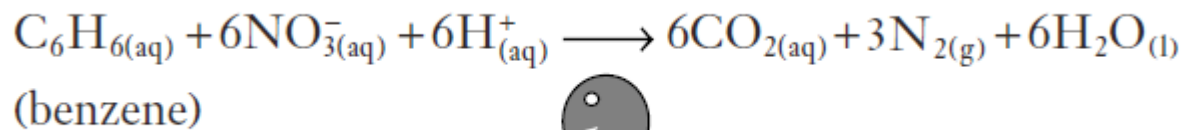
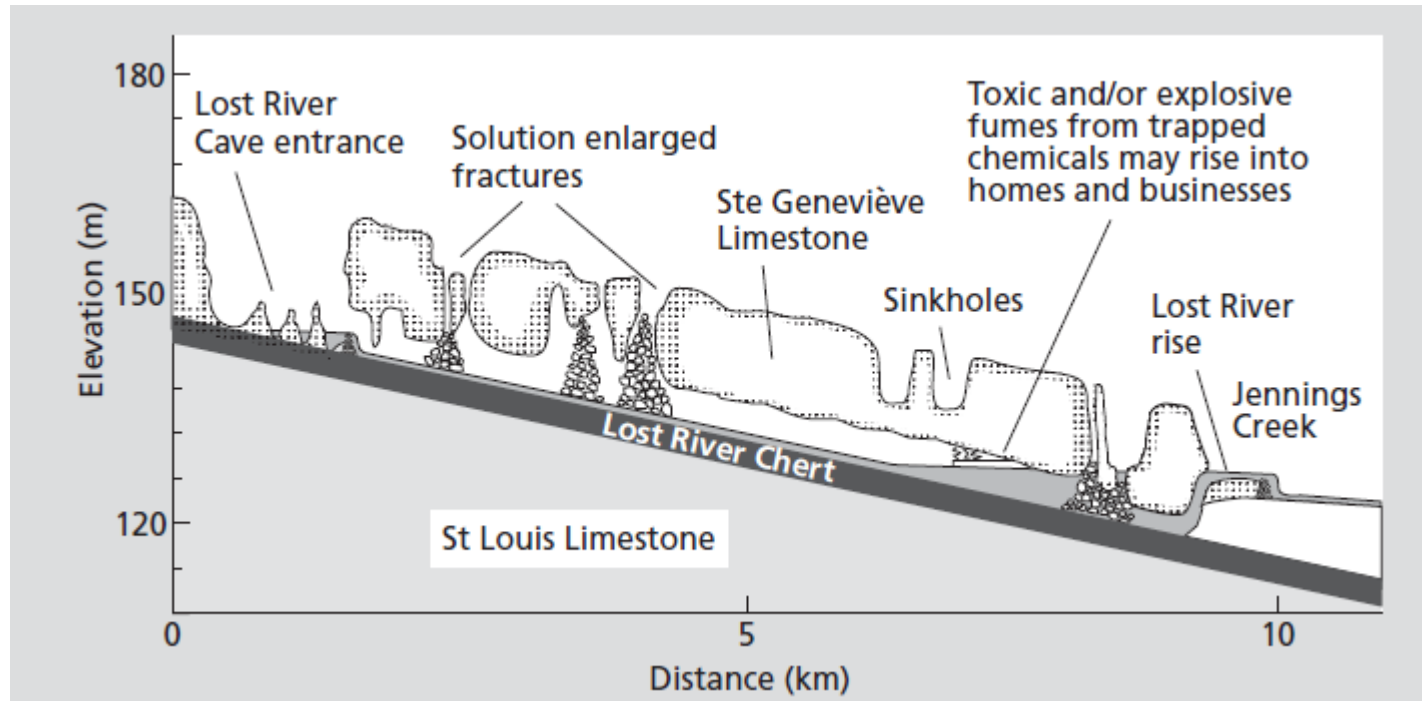
Schwermetallbelastungen



Grundwasserkontamination

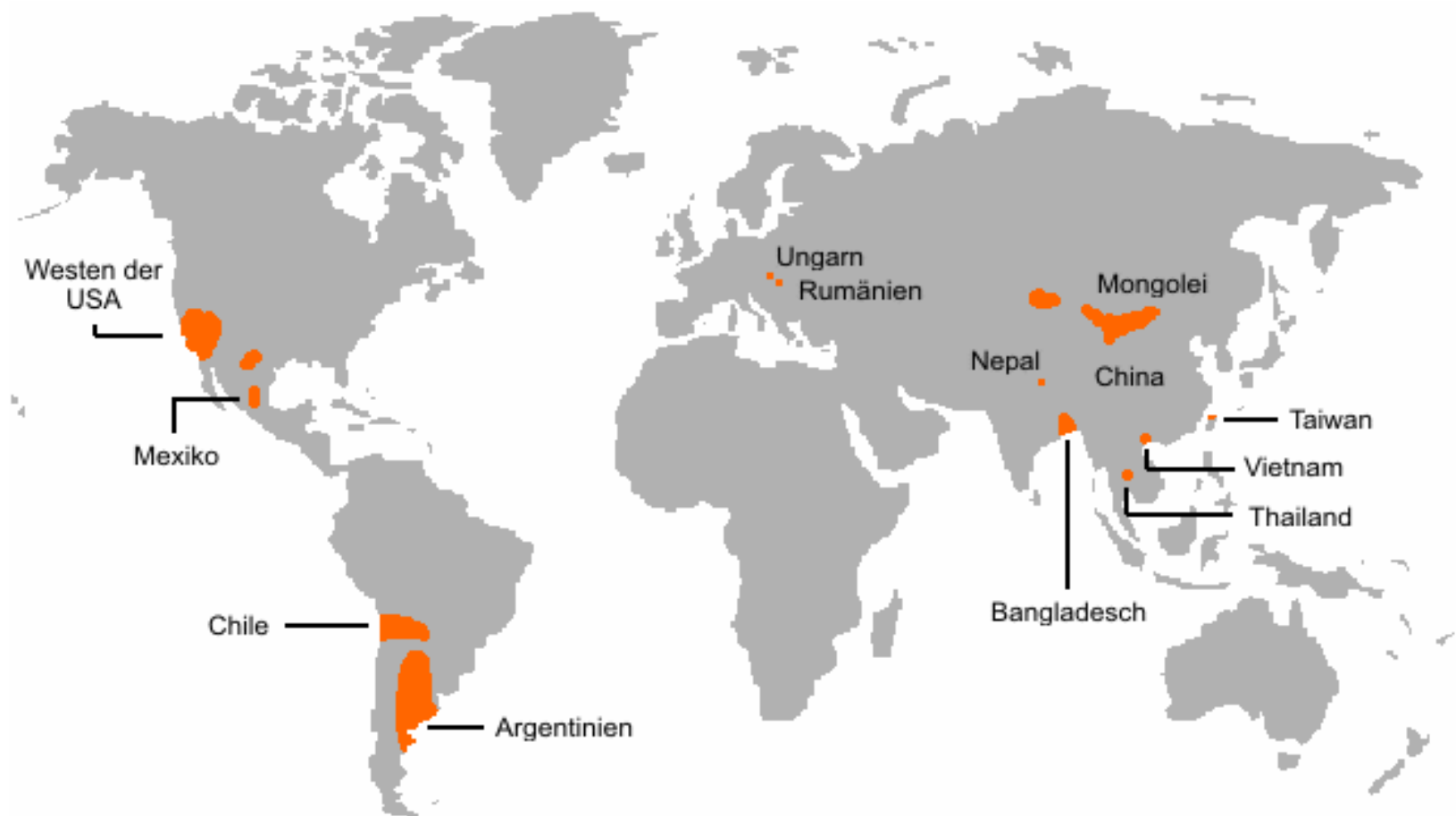


Grundwasserkontamination



Dechloromonas aromatica

Arsen im Grundwasser



Beispiel Bangladesh

primäre Arsenquellen: Sedimente, As-führende Kohle, Sulfiderze aus Himalaya

Arsen im Grundwasser

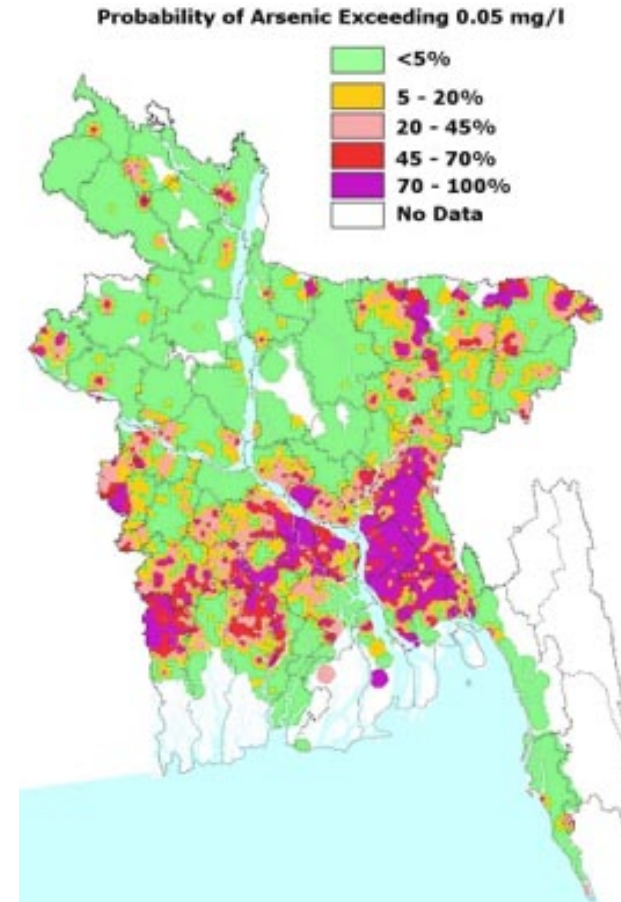
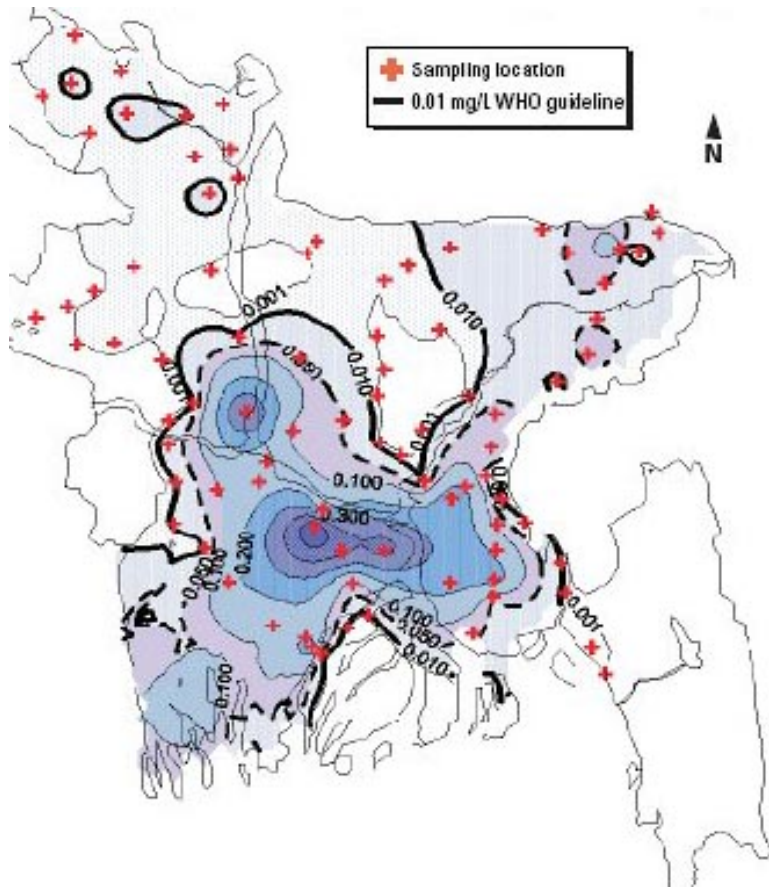
Oberflächenwasser mit
Krankheitserregern
kontaminiert

Bau von Röhrenbrunnen

Steigende Arsenbelastung



As im Grundwasser, Bangladesh



Röhrenbrunnen in Bangladesh
Ganges, Brahmaputra und Meghna Delta

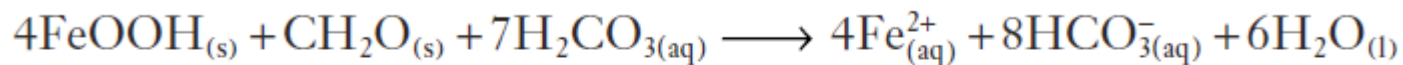
Freisetzung von As durch:

Änderungen in den Redox-Bedingungen

Übermäßige Grundwassernutzung (Bewässerung), senkt den Grundwasserspiegel ab und gestattet dem Luftsauerstoff, das im Ton befindliche Arsen freizusetzen.

Starkes Redox-Gefälle zwischen belüftetem (Oxidationszone) und wassergesättigtem Sediment führt zur Bildung von Eisen(III)-oxidhydrat, das bis zu 800 ppm Arsenat enthalten kann

mikrobielle Reduktion As-führender Eisenoxide setzt As frei:



eqn. 5.26